

**IDENTIFIKASI STRUKTUR BATUAN DAERAH RAWAN
LONGSOR DI KECAMATAN CAMBA KABUPATEN MAROS
BERDASARKAN METODE GEOLISTRIK KONFIGURASI
WENNER**



Diajukan untuk memenuhi salah satu syarat meraih gelar
Sarjana Sains Jurusan Fisika
Pada Fakultas Sains dan Teknologi
UIN Alauddin Makassar

UNIVERSITAS ISLAM NEGERI
ALAUDDIN
M A K A S S A R

Oleh:
NUR JANNA

NIM. 60400113025

FAKULTAS SAINS DAN TEKNOLOGI
UIN ALAUDDIN MAKASSAR

2017

DAFTAR ISI

HALAMAN SAMPUL	i
LEMBAR PERNYATAAN KEASLIAN SKRIPSI	ii
LEMBAR PENGESAHAN	iii
KATA PENGANTAR	iv
DAFTAR ISI	viii
DAFTAR GAMBAR	xi
DAFTAR TABEL	xiii
DAFTAR LAMPIRAN	xiv
DAFTAR SIMBOL	xv
ABSTRAK	xvi
ABSTRACT	xvii
BAB I PENDAHULUAN	1
1.1 Latar Belakang.....	1
1.2 Rumusan Masalah.....	3
1.3 Tujuan Penelitian.....	4
1.4 Ruang Lingkup Penelitian	4
1.5 Manfaat Penelitian	5
BAB II TINJAUAN TEORITIS	7
2.1 Tanah Dalam Perspektif Al-Qur'an.....	7
2.2 Tanah	14

2.3 Gerakan Tanah.....	15
2.4 Jenis-jenis Gerakan Tanah.....	18
2.5 Penyebab Terjadinya Gerakan Tanah.....	22
2.6 Zona Kerentanan Gerakan Tanah	25
2.7 Resistivitas Batuan.....	26
2.8 Potensial di Sekitar Titik Arus Permukaan Bumi.....	28
2.9 Perhitungan Nilai Resistivitas.....	29
2.10 Geolistrik Metode Tahanan Jenis	31
2.11 Konfigurasi Wenner	34
2.12 Res2Dinv	36
2.13 Topografi dan Kemiringan Tanah Daerah Penelitian	37
2.14 Kondisi Geomorfologi dan Geologi Daerah Penelitian	38
BAB III METODE PENELITIAN	42
3.1 Waktu dan Tempat Penelitian.....	42
3.2 Alat dan Bahan Penelitian.....	43
3.3 Prosedur Penelitian.....	43
3.4 Bagan Alir Penelitian.....	47
BAB IV HASIL PENELITIAN DAN PEMBAHASAN.....	49
4.1 Hasil Penelitian	49
4.2 Pembahasan	53
BAB V PENUTUP.....	61
5.1 Kesimpulan	61

5.2 Saran	61
DAFTAR PUSTAKA	62
RIWAYAT HIDUP	66
LAMPIRAN	L1



PERNYATAAN KEASLIAN SKRIPSI

Dengan penuh kesadaran, penyusun yang bertanda tangan di bawah ini menyatakan bahwa skripsi ini benar adalah hasil karya penyusun sendiri. Jika kemudian hari terbukti bahwa ia merupakan duplikat, tiruan, plagiat atau dibuat oleh orang lain, sebagian dan seluruhnya, maka skripsi dan gelar yang diperoleh dinyatakan batal karena hukum.



Gowa, 25 Agustus 2017

Penyusun

A handwritten signature in black ink, appearing to read 'Nur Janna', is written over the printed name.

UNIVERSITAS ISLAM NEGERI
ALAUDDIN
M A K A S S A R
Nur Janna
NIM: 60400113025

PENGESAHAN SKRIPSI

Skripsi yang berjudul “Identifikasi Struktur Batuan Daerah Rawan Longsor di Kecamatan Camba Kabupaten Maros Berdasarkan Metode Geolistrik Konfigurasi Wenner” yang disusun oleh Nur Janna, Nim: 60400113025 Mahasiswa jurusan Fisika Fakultas Sains dan Teknologi UIN Alauddin Makassar, telah diuji dan dipertahankan dalam *Munaqasyah* yang diselenggarakan pada hari 28 Agustus 2017 M, bertepatan dengan 6 Dzulhijjah 1438 H dinyatakan telah dapat diterima sebagai salah satu syarat untuk meraih gelar sarjana dalam Ilmu Sains, Jurusan Fisika

Gowa, 28 Agustus 2017 M
6 Dzulhijjah 1438 H

DEWAN PENGUJI

Ketua	: Dr. Wasilah, S.T., M.T	(.....)
Sekretaris	: Ihsan, S.Pd., M.Si	(.....)
Munaqisy I	: Muh. Said L, S.Si., M.Pd	(.....)
Munaqisy II	: Dr. M. Thahir Maloko, M.Th.I	(.....)
Pembimbing I	: Rahmaniah, S.Si., M.Si	(.....)
Pembimbing II	: Ayusari Wahyuni, S.Si., M.Sc	(.....)

Diketahui Oleh:
Dekan Fakultas Sains dan Teknologi
UIN Alauddin Makassar



Prof. Dr. H. Arifuddin, M.Ag.
NIP. 19694205 199303 1 001

KATA PENGANTAR



Puji syukur kepada Allah swt berkat Rahmat, Hidayah dan Karunia-Nya kepada kita semua sehingga kami dapat menyelesaikan skripsi dengan judul **“Identifikasi Struktur Batuan Daerah Rawan Longsor di Kecamatan Camba Kabupaten Maros Berdasarkan Metode Geolistrik Konfigurasi Wenner”**. Laporan proposal skripsi ini disusun sebagai salah satu syarat untuk mengerjakan skripsi pada program strata-1 di Jurusan Fisika, Fakultas Sains dan Teknologi Universitas Islam Negeri Alauddin Makassar.

Pada kesempatan kali ini, penulis ingin menghaturkan rasa terima kasih dan rasa hormat yang tiada hentinya kepada dua orang terkasih dalam hidup penulis yaitu Ayahanda **Poko** dan Ibunda tercinta **Nur Lina**. Terima kasih atas segala doa, motivasi dan materi yang telah diberikan untuk keberhasilan penulis hingga sekarang.

Selama penyusunan skripsi ini banyak hambatan yang penulis hadapi, namun semuanya dapat dilalui berkat pertolongan Allah swt serta bantuan berbagai pihak, baik secara langsung maupun tak langsung yang selalu memberikan doa, semangat dan motivasi bagi penulis dengan rasa penuh keikhlasan dan terima kasih yang setinggi-tingginya kepada:

1. Bapak **Prof. Dr. Musafir Pabbari, M.Si** selaku Rektor Universitas Islam Negeri (UIN) Alauddin Makassar.

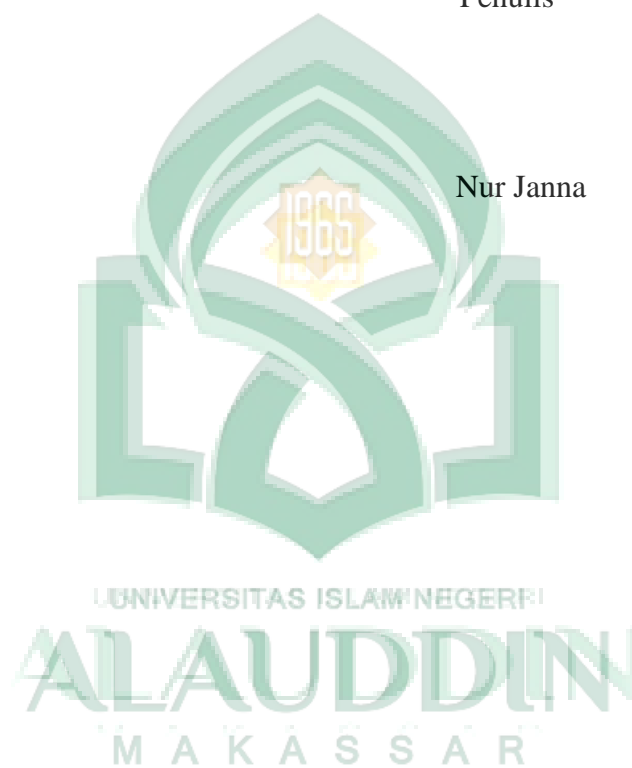
2. Bapak **Prof. Dr. Arifuddin., M.Ag** selaku Dekan Fakultas Sains dan Teknologi.
3. Ibu **Sahara, S.Si., M.Sc., Ph.D** selaku ketua jurusan Fisika yang banyak memberikan saran, masukan dan motivasi dalam penyusunan skripsi ini.
4. Bapak **Ihsan, S.Pd., M.Si** selaku sekretaris jurusan Fisika Fakultas Sains dan Teknologi.
5. Ibunda **Rahmaniah, S.Si., M.Si**, ibunda **Ayusari Wahyuni S.Si., M.Sc** selaku pembimbing I dan II, yang telah mencurahkan ilmu dan waktu untuk membimbing penulis dengan kesabaran, sehingga penulis dapat menyelesaikan skripsi ini.
6. Bapak **Muh. Said L., S.Si., M.Pd**, bapak **Dr. M. Thahir Maloko., M.Th.i**, selaku penguji I dan II yang telah memberikan kritikan dan saran yang membangun untuk perbaikan skripsi ini.
7. Segenap ibu dan bapak dosen pengajar serta staf laboran jurusan fisika yang telah membimbing dan memberikan banyak ilmu kepada penulis hingga sekarang ini.
8. Sahabat-sahabat tercinta, **Asas 13lack**, yang telah menjadi sahabat selama 4 tahun terakhir yang telah setia mendengar semua keluh kesah penulis selama menjadi mahasiswa, semoga persahabatan kita kekal dunia dan akhirat aamiin.
9. Kepada para kakak, rekan-rekan dan adik-adik diorganisasi **Himpunan Mahasiswa Jurusan (HMJ) Fisika** dan **Lembaga Dakwah (LD) Ulil Al-Baab** Fakultas Sains dan Teknologi, teman-teman **Lembaga Penelitian dan**

Penalaran (LPPM) Al-Kindi yang memberikan semangat dan motivasi hingga terselesainya skripsi ini.

10. Kepada kakak-kakak dan rekan rekan **Himpunan Mahasiswa Geofisika Indonesia (HMGI) Wilayah V**, yang telah membimbing dan memberikan ilmunya serta motivasi sehingga dapat terselesainya skripsi ini.
11. Kepada **Ibrahim Mangguali, S.T**, saudara satu satunya yang selalu memberikan semangat dan batuan dalam proses pendidikan penulis.
12. Tim TA *Landslide* tercinta, **Nirmayanti, Eki Wijaya, Irma Suryani, Fadli, Astriana Sari, Wahyuni Dilatanti, Sabriani Amir, Arif Rahman, Muh. Ilyas** yang telah membantu dalam kegiatan penelitian penulis.
13. Kepada **Sudarmadi Alimin**, selaku pendamping di lapangan yang telah membantu memberikan ilmunya dan memberikan semangat hingga terselesainya penelitian ini.
14. Teman **Pondok Nur Abdi, Nirmayanti, Tri Suciningsari dan Irma Suriani, Feby Eka Saputry**, semoga keakraban kita tetap terjalin dan tidak akan pernah terlupakan terima kasih untuk waktu, semangat dan motivasi kalian.
15. Kepada para **kakak dan adik-adik** jurusan Fisika Fakultas Sains dan Teknologi.
16. Kepada para teman-teman KKN angkatan 55 Kecamatan Tompobulu, Kelurahan Cikoro yang super duper gokil dan asik, terima kasih telah bersama-sama dalam membangun di daerah dan telah menjadi teman hidup selama 2 Bulan penulis melakukan kuliah kerja nyata.

Semoga Allah swt memberikan balasan yang berlipat ganda kepada semuanya. Demi perbaikan selanjutnya saran dan kritik yang membangun akan penulis terima dengan senang hati. Akhirnya, hanya kepada Allah swt penulis serahkan segalanya, mudah-mudahan dapat bermanfaat khususnya bagi penulis umumnya bagi semua.

Makassar, 16 Agustus 2017
Penulis



DAFTAR GAMBAR

Gambar	Keterangan	Halaman
Gambar 2.1	: Longsor Translasi	19
Gambar 2.2	: Longsor Rotasi	19
Gambar 2.3	: Pergerakan Blok	20
Gambar 2.4	: Runtuhan Batu	20
Gambar 2.5	: Rayapan Tanah	21
Gambar 2.6	: Aliran Bahan Rombakan	21
Gambar 2.7	: Titik Sumber Arus Pada Permukaan Medium Homogeny	28
Gambar 2.8	: Bentuk Susunan Elektroda Pada Survei Geolistrik Resistivitas	29
Gambar 2.9	: Konfigurasi Geolistrik	33
Gambar 2.10	: Konfigurasi Wenner	35
Gambar 2.11	: Peta Geologi Kecamatan Camba	40
Gambar 3.1	: Lokasi Daerah Penelitian	42
Gambar 3.2	: Rangkaian Pengukuran Metode Geolistrik Konfigurasi Wenner	44
Gambar 4.1	: Lokasi Lintasan Pengukuran Geolistrik Daerah Penelitian	50
Gambar 4.2	: Penampang Lintasan 1	51
Gambar 4.3	: Penampang Lintasan 2	51
Gambar 4.4	: Penampang Lintasan 3	52
Gambar 4.5	: Penampang Lintasan 4	52
Gambar 4.6	: Lintasan 1 Hasil Inversi Res2Dinv dengan Topografi	54

Gambar 4.7 : Lintasan 2 Hasil Inversi Res2Dinv dengan Topografi..... 55

Gambar 4.8 : Lintasan 3 Hasil Inversi Res2Dinv dengan Topografi..... 57

Gambar 4.9 : Lintasan 4 Hasil Inversi Res2Dinv dengan Topografi..... 58



DAFTAR TABEL

Tabel	Keterangan	Halaman
Tabel 2.1	: Porositas dan Permeabilitas Bahan	17
Tabel 2.2	: Resistivitas Material-Material Bumi.....	26
Tabel 2.3	: Kemiringan Lahan di Kabupaten Maros.....	38



DAFTAR LAMPIRAN

Lampiran	Keterangan	Halaman
Lampiran 1	: Hasil Penelitian.....	L1
Lampiran 2	: Analisis Data	L7
	Hasil Pengolahan Data di Excel.....	L8
	Elevasi Lintasan	L12
	Pengelolaan Data Notepad.....	L14
	Hasil Res2dinv	L16
Lampiran 3	: Peta Lokasi Kecamatan Camba.....	L19
	Peta Geologi Kecamatan Camba	L20
	Peta Lokasi Penelitian.....	L21
Lampiran 4	: Tabel Nilai Resistivitas Batuan (Telfoard, 1990).....	L22
Lampiran 5	: Dokumentasi Penelitian.....	L25
	Alat dan Bahan Penelitian.....	L26
	Survei Lokasi Penelitian	L28
	Pengambilan Data	L28
Lampiran 6	: Persuratan Izin	L31
Lampiran 7	: Persuratan Keputusan (SK)	L32
Lampiran 8	: Jadwal Kegiatan Penelitian.....	L33

DAFTAR SIMBOL

Simbol	Keterangan	Satuan
ρ	Tahanan Jenis Batuan	Ωm
K	Faktor Geometri	m
ΔV	Beda Potensial Listrik	V
I	Arus Listrik	A
L	Panjang Penampang	m
R	Resistansi Batuan	Ω
A	Luas Penampang	m^2
a	Spasi Elektroda	m
r	Jarak Elektroda	m



ABSTRAK

Nama : NUR JANNA
Nim : 60400113025
Judul Skripsi : **IDENTIFIKASI STRUKTUR BATUAN DAERAH RAWAN LONGSOR DI KECAMATAN CAMBA KABUPATEN MAROS BERDASARKAN METODE GEOLISTRIK KONFIGURASI WENNER**

Penelitian ini dilaksanakan di jalan poros Maros-Bone di Desa Sawaru, kecamatan Camba, kabupaten Maros, Sulawesi Selatan. Penelitian ini bertujuan untuk mengetahui struktur batuan pada daerah rawan longsor kecamatan Camba kabupaten Maros berdasarkan metode geolistrik konfigurasi wenner, untuk mengetahui kedalaman dan bentuk bidang gelincir dalam pemodelan res2Dinv pada daerah rawan longsor kecamatan Camba kabupaten Maros. Desa Sawaru merupakan salah satu daerah yang rawan terjadi gerakan tanah. Hal ini disebabkan karena daerah ini memiliki kondisi geografis yang berbukit dan berlembah. Untuk mengetahui kondisi bawah permukaan, maka dilakukan penelitian menggunakan metode geolistrik tahanan jenis 2 dimensi dengan konfigurasi wenner. Hasil analisis dan interpretasi dari penampang 2 dimensi menunjukkan bahwa struktur batuan kecamatan Camba yaitu terdiri dari batuan lempung, lanau, kerikil, batuan aluvium, tufa vulkanik, endapan lava dan terdapat air tanah di bawah permukaan dan titik longsor berada pada kedalaman 4 meter - 8 meter pada lintasan satu. Pada lintasan kedua titik longsor berada pada kedalaman 5 meter. Dan pada lintasan tiga dan empat, titik longsor berada pada kedalaman 5 meter – 8 meter. Lapisan yang diindikasikan sebagai bidang gelincir yaitu memiliki antara nilai resistivitas 2,71 Ωm -5,78 Ωm yang ditandai dengan batuan lempung yang jenuh air dan sewaktu-waktu dapat menyebabkan longsor sebab tekanan dari atas batuan yang nilai resistivitasnya bernilai besar. Bidang gelincir ditandai dengan batuan lempung dan lanau. Tipe longsor ini yaitu longsor rotasi.

Kata Kunci : *Resistivitas, geolistrik, wenner, bidang gelincir, longsor*

ABSTRACT

Name : NUR JANNA
Nim : 60400113025
Thesis Title : **Identification Rock Structure of Areas Prone to Landslides in Camba District Kab. Maros Based on Geophysical Methods of Wenner Configuration.**

This research was conducted at Sawaru Village, areas Camba, district Maros, South Sulawesi. This study aims to determine the structure of rocks in landslide areas Camba district Maros based on geoelectrical configuration method wenner, knowing the depth and shape of the slip in the res2Dinv modeling in landslide areas Camba district Maros. Area Sawaru Village is one of the areas which is often occurs the mass-movement. It is because the area has hilly and heavily geographical condition. To know the subsurface condition, the research has been done by using the geoelectrical method of 2 dimension resistivity with wenner configuration. The results of the analysis and interpretation of the 2 dimension show the structure stone in Camba are clay, silt, volcanic tuff, aluvium, gravel, sludge lava, ground water and the landslide located at the depth between 4 meters -8 meters on track one, 5 meters on track two, 5 meters – 8 meters on track tree and four. The resistivity between 2,71 Ω m-5,78 Ω m which is characterized by clay and can cause landslide because heavy pressure from above rocks that has a value of resistivity is of great value. And the slip surface located are clay and silt. This type of landslide is rotation.

Keywords : *Resistivity, geoelectrical, wenner, landslide, slip-surface*

ALAUDDIN
M A K A S S A R

BAB 1

PENDAHULUAN

1.1 Latar Belakang

Gerakan tanah (longsor) adalah perpindahan material pembentuk lereng, berupa batuan, tanah, bergerak ke arah bawah dan keluar dari lereng. Angka kejadian tanah longsor di Indonesia dari tahun 2002 sampai 2008 adalah 2221 kejadian (Sumber: BPNP, Januari 2009). Dari angka tersebut tanah longsor mengakibatkan korban jiwa sangat tinggi di dunia dan sudah seharusnya dianggap sebagai bencana alam besar di dunia.

Tanah longsor sering menyebabkan kerusakan pada bangunan dan hilangnya nyawa manusia. Indikasi kelongsoran ditunjukkan dengan retakan-retakan pada dinding atau lereng. Retakan tanah atau batuan tersebut disebabkan oleh kondisi tanah atau batuan bersifat lempung (*clay*). Sebagai langkah antisipasi untuk terjadinya longsor tersebut, maka perlu dilakukan pemetaan geologi bawah permukaan kawasan yang direncanakan untuk diamati.

Menurut catatan Badan Penanggulangan Bencana Daerah (BPBD) kabupaten Maros pada tahun 2013 terdapat 15 kk yang menjadi korban bencana longsor di Maros. Menurut BPBD terdapat beberapa desa di kabupaten Maros kecamatan Camba yang rawan akan bencana longsor yaitu salah satunya Desa Sawaru. Informasi terakhir yang kami dapatkan dari salah satu warga pada tanggal 08 Februari 2017, pada lokasi penelitian yaitu jalan raya yang menghubungkan

kabupaten Maros dan kabupaten Bone yang terdapat pada desa Sawaru telah terjadi longsor.

Kabupaten Maros terletak pada daerah yang mempunyai topografi perbukitan hingga pegunungan. Berdasarkan posisi dan letak geografis wilayah, lokasi penelitian secara administratif berada di kecamatan Camba Desa Sawaru dengan titik koordinat $04^{\circ}54'38,4''$ LS dan $119^{\circ}51'20,4''$ BT, yang merupakan ruas jalan raya yang menghubungkan antara kabupaten Maros dan kabupaten Bone yang merupakan jalur kegiatan perekonomian dan jasa yang aktif dilalui.

Pengetahuan tentang struktur lapisan bawah permukaan sangat diperlukan untuk memperkirakan tingkat kerawanan suatu daerah terhadap kemungkinan terjadinya tanah longsor. Salah satu faktor penyebab longsor yang sangat berpengaruh adalah bidang gelincir (*slip surface*) atau bidang geser (*shear surface*) yang dipengaruhi oleh struktur batuan di bawah permukaan. Pada umumnya tanah/bidang yang mengalami longsor akan bergerak di atas bidang gelincir tersebut (Dona, 2015).

Penentuan titik bidang gelincir dapat diketahui dari resistivitas batuan. Bidang gelincir di daerah longsor ditandai dengan adanya dua lapisan tanah/batuan yang nilai tahanan jenisnya sangat kontras. Salah satu metode yang dapat digunakan untuk mengidentifikasi bidang gelincir adalah metode geofisika resistivitas konfigurasi Wenner. Metode ini bersifat tidak merusak lingkungan, biaya relatif murah dan mampu mendeteksi perlapisan tanah sampai kedalaman beberapa meter di bawah permukaan tanah. Metode geolistrik konfigurasi Wenner memiliki beberapa kelebihan yaitu memiliki resonansi vertikal yang bagus,

sensitivitas terhadap perubahan lateral yang tinggi sehingga sangat baik digunakan dalam penentuan sebaran struktur batuan daerah rawan longsor dan pemodelan bidang gelincir. Selain itu, metode geolistrik konfigurasi wenner baik digunakan dalam pengukuran *mapping* dan *sounding*. Oleh karena itu, metode ini dapat dimanfaatkan untuk survei daerah rawan longsor, khususnya untuk menentukan ketebalan lapisan yang berpotensi longsor, kedalaman bidang gelincir serta litologi perlapisan batuan bawah permukaan (Darsono, 2012).

Berdasarkan pemaparan di atas maka dilakukan identifikasi struktur batuan daerah rawan longsor kecamatan Camba kabupaten Maros menggunakan metode geolistrik konfigurasi wenner. Penentuan struktur batuan daerah rawan longsor dapat diketahui melalui nilai resistivitas batuan. Material longsor dicirikan dengan nilai-nilai resistivitas rendah karena batuan dengan nilai resistivitas rendah mengidentifikasi batuan tersebut adalah batuan yang cenderung menyimpan air dan bidang longsor dengan material yang memiliki resistivitas tinggi (Dona, 2015).

1.2 Rumusan Masalah

Rumusan masalah pada penelitian ini yaitu:

- a. Bagaimana struktur batuan daerah rawan longsor kecamatan Camba, kabupaten Maros berdasarkan metode geolistrik konfigurasi wenner?
- b. Berapa kedalaman dan bentuk bidang gelincir dalam pemodelan Res2dinv pada daerah rawan longsor kecamatan Camba kabupaten Maros?

1.3 Tujuan Penelitian

Tujuan pada penelitian ini yaitu:

- a. Mengetahui struktur batuan pada daerah rawan longsor kecamatan Camba, kabupaten Maros berdasarkan metode geolistrik wenner.
- b. Menentukan kedalaman dan bentuk bidang gelincir dalam pemodelan Res2dinv pada daerah rawan longsor kecamatan Camba, kabupaten Maros.

1.4 Ruang Lingkup Penelitian

Ruang lingkup pada penelitian ini yaitu:

- a. Penelitian ini berlokasi di daerah rawan longsor Dewa Sawaru Kecamatan Camba Kabupaten Maros.
- b. Penelitian ini menggunakan jumlah lintasan dan jarak antar grid diambil sebanyak 4 lintasan dengan titik koordinat lintasan 1 yaitu $4^{\circ}54'39''$ LS dan $119^{\circ}51'22''$ BT. Lintasan 2 yaitu $4^{\circ}54'39''$ LS dan $119^{\circ}51'21''$ BT dan lintasan 3 yaitu $4^{\circ}54'39''$ LS dan $119^{\circ}51'21''$ BT dan lintasan 4 yaitu $4^{\circ}54'38''$ LS dan $119^{\circ}51'21''$ BT yang merupakan ruas jalan raya yang menghubungkan antara kabupaten Maros dan kabupaten Bone.
- c. Penelitian ini terbatas pada pengukuran nilai resistivitas arus dan tegangan berdasarkan metode geolistrik konfigurasi wenner dengan penampang 2 dimensi.
- d. Alat yang digunakan adalah jenis resistiviti *multichannel* sebanyak satu unit.
- e. Variabel yang terukur di lapangan adalah beda potensial (V) dan nilai kuat arus (I).

- f. Variabel terhitung yaitu nilai resistivitas (ρ), resistansi (R), faktor geometri (K).
- g. Variabel kontrol yaitu jarak/spasi antar elektroda (a), titik koordinat.

1.5 Manfaat Penelitian

Penelitian yang dilakukan untuk memberikan data struktur permukaan yang dapat digunakan dalam rencana pembangunan dan pengembangan wilayah. Penelitian ini diharapkan dapat bermanfaat bagi semua pihak.

1.5.1 Manfaat Bagi Keilmuan

Manfaat yang diperoleh mahasiswa pada penelitian ini adalah:

- a. Mengetahui hubungan kondisi geologi dan lahan wilayah tempat terjadinya gerakan tanah.
- b. Memperbanyak khasanah pengetahuan yang berkaitan dengan kestabilan lereng dalam hal hubungan teori dengan aplikasi dilapangan.

1.5.2 Manfaat Bagi Masyarakat

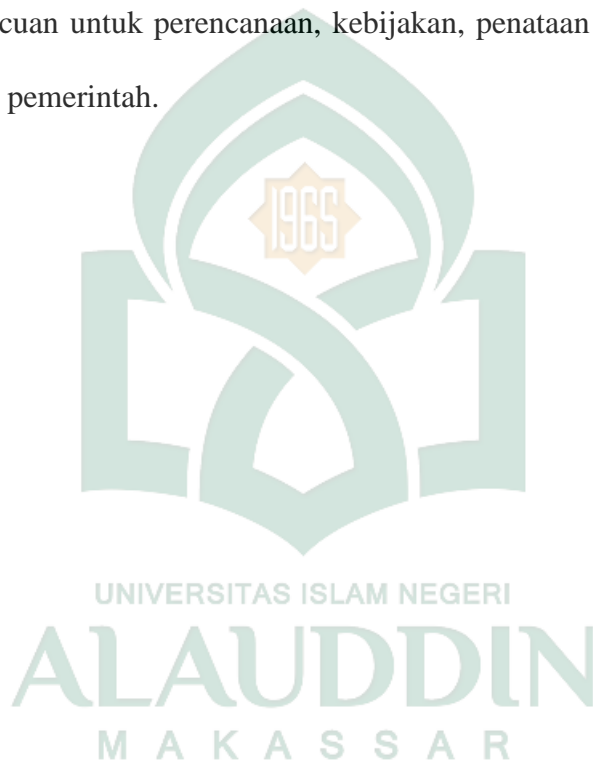
Manfaat yang diperoleh masyarakat sesuai dengan hasil penelitian adalah:

- a. Memberikan informasi kepada masyarakat mengenai struktur batuan daerah rawan gerakan tanah, sehingga masyarakat dapat melakukan antisipasi secara dini.
- b. Mengetahui lokasi rawan gerakan tanah yang berada di sekitar lingkungan masyarakat setempat.
- c. Mengetahui tingkat kerentanan wilayah untuk terjadi gerakan tanah.

1.5.3 Manfaat Bagi Pemerintah

Manfaat yang diperoleh pemerintah melalui penelitian ini adalah dapat digunakan sebagai:

- a. Sebagai bahan acuan membangun sistem informasi bencana gerakan tanah, yaitu sebagai pusat data dan informasi bagi masyarakat yang ingin mengembangkan pembangunan fisik yang berada di daerah Camba.
- b. Memberikan acuan untuk perencanaan, kebijakan, penataan daerah yang akan dilakukan oleh pemerintah.



BAB II

TINJAUAN TEORITIS

2.1 Tanah Dalam Perspektif Al-Qur'an

Menurut Yusuf Qardhawi, lingkungan adalah sebuah lingkup dimana manusia hidup, baik ketika bepergian maupun ketika mengisolasi diri, dan dijadikan sebagai tempat ia kembali, baik dalam keadaan rela maupun terpaksa. Beliau membagi lingkungan terdiri dari yang hidup (dinamis) dan yang statis (mati). Lingkungan yang dinamis artinya lingkungan yang meliputi wilayah manusia, hewan dan tumbuhan. Lingkungan statis meliputi alam (thabi'ah) yang diciptakan Allah dan industri yang diciptakan manusia (Yusuf Qardawi, 1999). Sebagaimana penciptaan alam semesta telah dijelaskan dalam QS. An-Nazariyat/ 70: 30-33 yaitu:

وَالْأَرْضَ بَعْدَ ذَلِكَ دَحَاهَا ﴿٣٠﴾ أَخْرَجَ مِنْهَا مَاءَهَا وَمَرْعَاهَا ﴿٣١﴾ وَالْجِبَالَ أَرْسَاهَا ﴿٣٢﴾ مَتَاعًا
لَكُمْ ﴿٣٣﴾ وَلَا تَنعَمُوا بِهَا
UNIVERSITAS ISLAM NEGERI
ALA UDDIN
M A K A S S A R

Terjemah-Nya:

“Dan bumi sesudah itu dihamparkan-Nya. Ia memancarkan daripadanya mata airnya dan menumbuhkan tumbuh-tumbuhannya. Dan gunung-gunung dipancarkannya dengan teguh, semua itu untuk kesenangan dan untuk binatang-binatang ternakmu” (Kementerian Agama, RI : 2016).

Menurut Tafsir Al-Misbah (2002), وَالْأَرْضَ بَعْدَ ذَلِكَ دَحَاهَا Dan bumi dihamparkan Nya setelah itu. Yakni, setelah pengaturan langit dan penampakan sinar-sinar,

sebagaimana disebutkan sebelum ini, maka bumi mendapat giliran dipersiapkan untuk dijadikan tempat hunian. Yaitu *أُخْرِجَ* *Dikeluarkan-Nya airnya*. Dengan memancarkan mata air-mata air dan sungai-sungainya. Kata *وَمَرَعْنَهَا* dan *tanam-tanamannya*, untuk makanan manusia maupun hewan.

Ayat *وَالْجِبَالِ أَرْسَنَهَا* *Dan gunung-gunung pun dipancarkan-Nya*. Yaitu untuk mencegah bumi bergoyang-goyang, sebagai kelanjutan dari upaya menyiapkan bumi untuk dapat dihuni oleh makhluk hidup. Hal itu terlaksana kemudian, setelah persiapan pertama untuk mendapatkan tanaman-tanaman, meskipun munculnya gunung-gunung itu sendiri telah berlangsung sebelum itu (yakni sebelum itu dijadikan pasak-pasak yang mencegah bumi bergoyang).

Ayat *مَتَاعًا لَكُمْ وَلِأَنْعَمِكُمْ* *(Semua itu) demi kenikmatan kamu serta hewan ternakmu*. Tidakkah Sang Pencipta yang menjadikan itu semua adalah Pencipta kalian juga!. Karenanya, tidakkah pencipta serta pemberi kalian apa saja yang menjadi sumber kehidupan kalian dan yang meninggikan langit diatas kalian, lalu meretakkan bumi di bawah kaki kalian; tidakkah ia kuasa pula untuk menghidupkan kembali (setelah kematian kalian di alam dunia)!. Dan apakah layak bagi-Nya untuk membiarkan kalian tersia-sia, setelah semua pentadbiran dan pengaturan ini, serta pelimpahan pelimpahan kebaikan yang amat banyak ini!.

Penjelasan ayat tersebut sebagaimana bahwa bumi diciptakan untuk manusia sebagai tempat tinggal. Hal itu merupakan suatu kenikmatan untuk manusia. Semua itu dapat diperoleh apabila manusia melaksanakan tugasnya sebagaimana mestinya. Manusia dituntut untuk menjaga bumi sebagai bentuk

kesyukuran kepada sang pencipta. Namun dijelaskan pula mengenai kerusakan lingkungan di muka bumi dalam QS. ar-Rum/30: 41.

ظَهَرَ الْفَسَادُ فِي الْبَرِّ وَالْبَحْرِ بِمَا كَسَبَتْ أَيْدِي النَّاسِ لِيُذِيقَهُمْ بَعْضَ الَّذِي عَمِلُوا لَعَلَّهُمْ
يَرْجِعُونَ ﴿٤١﴾

Terjemah-Nya:

“Telah Nampak kerusakan di darat dan di laut disebabkan karena perbuatan tangan manusia. Allah menghendaki agar mereka merasakan sebagian dari (Akibat) perbuatan mereka, agar mereka kembali (ke jalan yang benar)” (Kementerian Agama, RI : 2016).

Berdasarkan surah ar-Rum ayat 41 menurut tafsir Al-Misbah. Kata *Zhahara* pada mulanya berarti *terjadinya sesuatu dipermukaan bumi*. Sehingga, karena dia dipermukaan, maka menjadi nampak dan terang serta diketahui dengan jelas. Kata *zhahara* pada ayat di atas dalam arti *banyak dan tersebar*. Sedangkan kata *al-fasad* menurut al-ashfahami adalah *keluarnya sesuatu dari keseimbangan, baik sedikit maupun banyak*. Kata ini digunakan menunjuk apa saja, baik jasmani, jiwa, maupun hal-hal lain. Ayat di atas menyebutkan darat dan laut sebagai tempat terjadinya *fasad* itu. Ini dapat berarti daratan dan lautan menjadi arena kerusakan, ketidakseimbangan, serta kekurangan manfaat. Laut telah tercemar sehingga ikan mati dan hasil laut berkurang. Daratan semakin panas sehingga terjadi kemarau panjang yang hasilnya keseimbangan lingkungan menjadi kacau. Inilah yang mengantar sementara ulama kontemporer memahami ayat ini sebagai isyarat tentang kerusakan lingkungan (Quraish shihab, 2002).

Berdasarkan ayat Al-Qur'an surah ar-Rum ayat 41, kerusakan alam di muka bumi ini disebabkan oleh ulang manusia. Antara manusia dengan lingkungan hidupnya terdapat hubungan timbal balik, dimana manusia mempengaruhi lingkungan hidupnya dan sebaliknya, manusia dipengaruhi oleh lingkungan hidupnya. Sebagaimana dalam penelitian ini mengenai tanah longsor dimana terjadi karena tidak adanya keseimbangan antara tanah dan batuan akibat oleh tata lingkungan yang salah.

Pemikiran Yusuf Al-Qordhawi dalam skripsi Abidin (2004) tentang pemeliharaan lingkungan hidup yakni pemahaman tentang konsep lingkungan. Allah menciptakan alam ini pada dasarnya adalah penuh dengan perhitungan dan tidak satupun yang muspara, yang tidak berguna sedikitpun, sehingga apa-apa yang diciptakan Allah sebagai hasil kreasi-Nya manusia sebagai khalifah di muka bumi ini wajib untuk mempertahankan serta memelihara alam ini. Oleh karena itulah, manusia diperintahkan untuk berbuat mashlahat atau kebaikan di atas bumi ini serta menghindari segala perbuatan yang dapat merugikan atau merusak hasil pencitraan Allah. Dengan membuat rusak alam ini, maka pada dasarnya telah membuat sakit Tuhan sebagai *creator* alam raya ini. Dalam rangkamuang bagaimana berbuat baik kepada alam ini di mana manusia berpijak, maka salah satu tokoh muslim yang berkompeten di dalam usaha pemeliharaan lingkungan, yaitu Yusuf Al-Qardhawi berusaha menawarkan konsep pemeliharaan lingkungan secara qur'ani. Dalam menilik lingkungan, ia menggunakan istilah *al-bi'ah*, sedangkan istilah pemeliharaan ia lebih sepekat menggunakan istilah *ri'ayah*, sehingga pemeliharaan lingkungan dikenal dengan

ri'ayat al-bi'at, yang mempunyai makna terminologis sebagai upaya untuk menjaga dari sisi keberadaan dan ketiadaannya atau dari sisi positif dan negatif sehingga mengharuskan adanya pemeliharaan lingkungan kearah usaha-usaha yang bisa mengembangkan, memperbaiki dan melestarikannya. Dengan demikian pemeliharaan dari sikap dan perilaku yang negatif, mempunyai implikasi bahwa pemeliharaan lingkungan dari kerusakan, pencemaran dan sesuatu yang dapat membahayakannya.

Lebih lanjut Al-Qur'an dalam skripsi Abidin (2004) menyatakan bahwa lingkungan adalah sebuah lingkup hidup dimana manusia hidup, ia tinggal di dalamnya, baik etika bepergian ataupun mengasingkan diri sebagai tempat ia kembali, baik dalam keadaan rela ataupun terpaksa. Lingkungan tersebut terbagi atas lingkungan dinamis (hidup) dan statis (mati). Lingkungan mati meliputi alam yang diciptakan Allah dan industri (hasil kreasi teknologi) yang diciptakan manusia. Sedangkan lingkungan yang dinamis meliputi wilayah manusia, hewan dan tumbuhan. Lingkungan statis dapat dibedakan dalam dua kategori pokok, yaitu pertama seluruh alam ini diciptakan untuk kemashlahatan manusia, membantu dan memenuhi semua kebutuhan manusia secara umum, kedua: lingkungan dengan seisinya, satu sama lain akan saling mendukung, saling menyempurnahkan, saling menolong, sesuai dengan sunnah-sunnah Allah yang berlaku di jagad raya. Dengan demikian baik lingkungan statis maupun dinamis sudah selayaknya saling mendukung dan mengisi, sehingga tidak terjadi sikap superioritas diantara lain, karena yang dibutuhkan adalah keseimbangan antara keduanya. Apalagi manusia yang mempunyai fungsi sebagai pengelola alam ini

tidak dengan sewenang-wenang mengeksploitir hasil alam demi kepentingan sesaat.

Landasan berpikir konseptual Yusuf Al-Qardhawi tentang pemeliharaan lingkungan hidup. Dalam rangka mencapai konsep sistematis qur'anis dari yurispondensi Islam, Yusuf Al-Qardhawi berpijak pada lima konsep *mashlahat*, yaitu menjaga lingkungan sama dengan menjaga agama (*Ri'ayat alBai'at Saawaun bi Hifdhi al-Din*), menjaga lingkungan sama dengan menjaga jiwa, menjaga lingkungan sama dengan menjaga keturunan, menjaga lingkungan sama dengan menjaga akal dan menjaga lingkungan sama dengan menjaga harta.

Salah satu penyebab kerusakan di muka bumi ini adalah tanah longsor. Tanah longsor di pengaruhi oleh dua faktor yaitu faktor alam dan faktor manusia. Dalam QS. al-Hijr/15:74 telah dijelaskan tentang tanah longsor.

فَجَعَلْنَا عَلَيْهَا سَافِلَهَا وَأَمْطَرْنَا عَلَيْهِمْ حِجَارَةً مِّن سِجِّيلٍ

Terjemah-Nya:

“Maka kami jadikan bahagian atas kota itu terbalik ke bawah dan kami hujani mereka dengan batu dari tanah yang keras” (Kementerian Agama, RI : 2016).

Menurut Tafsir Al-Misbah (154-156) firman-Nya: *faja'alna 'alaiha safilaha / kami jadikan yang di atasnya ke bawahnya*, di samping memberikan gambaran tentang kehancuran total, juga mengesankan persamaan sanksi itu dengan kedurhakaan mereka, bukanka mereka juga memutar balikkan fitrah. Kata *sijjil* menurut al-Biq'a'i mengandung makna ketinggian. Atas dasar itu, ulama ini

memahami batu-batu tersebut dilemparkan dari tempat yang tinggi (M. Quraish, 2002).

Penjelasan ayat tersebut dapat dikaitkan bahwa dalam ayat mengatakan “*dan kami hujani mereka dengan batu dari tanah yang keras*” menjelaskan bagaimana kejadian tanah longsor itu merupakan pergerakan tanah yang bergerak kebawah atau keluar lereng seperti jatuhnya bebatuan atau gumpalan besar tanah. Dimana apapun yang terjadi di muka bumi ini segala sesuatunya kehendak Allah swt.

Penjelasan ayat tersebut dapat disimpulkan bahwa dalam ayat mengatakan “*dan kami hujani mereka dengan batuan dari tanah yang keras*” dalam hal ini dijelaskan bahwa batuan dan tanah bersifat keras. Tanah dalam ilmu fisika berasal dari batuan yang sudah mengalami pelapukan. Ayat tersebut menjelaskan kejadian tanah longsor itu merupakan pergerakan tanah/batuan yang bergerak kebawah atau keluar lereng seperti jatuhnya bebatuan atau gumpalan besar tanah. Apapun yang terjadi di muka bumi ini segala sesuatunya atas kehendak Allah swt. Lingkungan merupakan satu sistem yang sangat kompleks yang patut dijaga sebagai salah satu bentuk kesyukuran kepada sang pencipta.

Menurut Qadir (2015), fikih lingkungan perlu dikembangkan disebabkan oleh tiga hal. *Pertama*, terjadinya krisis lingkungan dalam tiga dasawarsa terakhir, dan terus mengalami peningkatan. Jika krisis tersebut tidak ada upaya penanganan, dapat diduga kehidupan di bumi ini akan mengalami kerusakan dan kehancuran, karena sumber daya yang tersedia tidak mampu lagi mendukung keberlangsungan kehidupan. *Kedua*, upaya-upaya pengendalian yang telah

dilakukan selama ini seperti pembentukan institusi-institusi yang khusus menangani masalah lingkungan serta regulasi melalui produk perundang-undangan tentang lingkungan hidup ternyata tidak mampu menahan laju degradasi lingkungan. Ketiga, banyak ayat dan hadis yang berkaitan dengan lingkungan hidup, tetapi belum dihimpun dan diorganisir untuk menghasilkan aturan-aturan moral, etika dan hukum yang bersifat syari untuk dijadikan sebagai acuan bagi umat Islam dan penduduk dunia lainnya dalam berperilaku terhadap lingkungan (Qadir Gassing, 2005).

2.2 Tanah

Istilah tanah dalam bidang mekanika tanah dimaksudkan untuk mencakup semua bahan dari tanah lempung (*clay*) sampai berangkal (batuan-batuan yang besar) (Wesley, 1977). Tanah terbentuk karena adanya proses pelapukan batuan dan proses-proses geologi lainnya yang terjadi di permukaan bumi.

Pembentukan tanah dari proses pelapukan batuan itu sendiri dapat berupa proses fisik maupun kimia. Proses pembentukan tanah secara fisik mengubah batuan menjadi partikel-partikel lebih kecil yang terjadi akibat adanya pengaruh iklim, erosi, angin, es, manusia dan akibat adanya perubahan suhu atau cuaca. Proses pembentukan tanah secara kimia adalah proses hancurnya batuan karena perubahan kimia dari mineral-mineralnya yang dapat terjadi karena pengaruh oksigen, karbondioksida, air terutama yang mengandung asam dan alkali serta proses kimia lainnya misalnya dikarenakan kegiatan organisme (Budiman, 2011).

Pada tanah yang mengalami gangguan kestabilan akibat pori-pori tanah terisi oleh air, secara kelistrikan akan berakibat pada harga resistivitas tanah (Park

et al. 2005). Penambahan air yang menyisip ke dalam pori tanah atau batuan, terutama pada saat musim hujan, akan mengakibatkan perubahan harga resistivitas tanah. Perubahan harga resistivitas ini dapat diidentifikasi dengan cara mengalirkan arus listrik baik searah maupun bolak-balik ke dalam tanah. Dengan mengukur selisih potensial antara dua titik yang dipengaruhinya, selanjutnya dapat ditentukan (Supeno, 2008).

2.3 Gerakan Tanah

Gerakan tanah menurut Varnes (1978), ialah perpindahan massa tanah, batuan, atau regolith pada arah tegak, mendatar, atau miring dari kedudukan semula. Secara umum terjadinya longsor pada suatu lereng diakibatkan oleh ketidak seimbangan antara beban dan tahanan kuat geser dari material penyusun lereng tersebut. Tanah longsor merupakan proses alamiah biasa, akan tetapi dengan masuknya unsur manusia dengan segala aktivitasnya maka nilainya dapat berubah menjadi bencana.

Pada gerakan tanah bertindak sebagai energi dalam menggerakkan tumpukan tanah/material akibat pelapukan. Beberapa pendapat mengenai faktor penyebab gerakan tanah seringkali hanya berlaku untuk suatu daerah tertentu saja dan tidak dijumpai di daerah lain, membedakan faktor penyebab yang datang dari luar dan yang datang dari dalam yang berhubungan dengan sifat fisik tanah/batuan. Disamping penyebab tersebut dipengaruhi juga oleh pembebanan yang berlebih, getaran dan guncangan, perubahan muka air tanah dan tumbuhan penutup pada lereng tersebut (Budiman, 2011).

Meskipun penyebab utama kejadian gerakan tanah ini adalah gravitasi (gaya tarik bumi) yang mempengaruhi suatu lereng yang curam, namun ada pula faktor-faktor lainnya yang turut berpengaruh, yakni: erosi, lemahnya batuan dan tanah, gempa bumi dan gunung api, getaran dan beban tambahan, tata guna lahan, pengundulan hutan, bekas longsor lama, dan daerah pembuangan sampah (Syamsuddin, 2009).

Salah satu penyebab terjadinya longsor adalah terdapatnya batuan pelapukan. Batuan pelapukan ini bergerak melalui sebuah bidang yang disebut bidang gelincir. Batuan yang berperan sebagai bidang gelincir memiliki tahanan jenis yang berbeda dengan batuan lainnya. Bidang gelincir di daerah longsor ditandai dengan adanya dua lapisan tanah/batuan yang nilai tahanan jenisnya sangat kontras (Sri, 2017). Secara teoritis lapisan yang kedap air memiliki nilai tahanan jenis yang cukup besar. Tahanan jenis suatu bahan tergantung pada porositas batuan serta jenis fluida pengisi pori-pori batuan tersebut. Batuan yang bersifat *porous* yang berisi air lebih konduktif dan memiliki nilai tahanan jenis yang rendah (Dona, 2015).

Bidang gelincir biasanya terdiri dari lapisan yang keras dengan lapisan yang lunak. Apabila terjadi hujan, lapisan yang keras (kedap air) akan menjadi licin. Lapisan yang lunak akan bergerak melalui lapisan kedap. Lapisan kedap berperan sebagai bidang gelincir. Lapisan lunak berperan sebagai material longsor. Material longsor dicirikan dengan nilai-nilai resistivitas rendah dan bidang longsor ditandai dengan material yang memiliki resistivitas tinggi (Perrone, 2012).

Bidang gelincir merupakan bidang yang bersifat menahan air (permeabilitas rendah), bersifat padat yang menyebabkan tanah pelapukan bergerak di atasnya. Longsor sering terjadi pada lereng-lereng yang mempunyai lapisan batuan kedap air. Batuan kedap air ini biasanya memiliki pori-pori relatif kecil dan memiliki nilai tahanan jenis yang besar. Tabel 2.1 memperlihatkan perkiraan rata-rata porositas dan permeabilitas bahan (Done, 2015).

Tabel 2.1 Porositas dan permeabilitas bahan

Nama Bahan	Porositas %	Permeabilitas
Lempung	45	0,0005
Pasir	35	50
Kerikil	25	5.000
Kerikil & Pasir	20	500
Batu Pasir	15	5
Batu	5	0,05
Kapur, Serpih	1	0,0005

Sumber : Linsley, 1989

Ciri-ciri bidang gelincir menunjukkan bahwa longsor akan sering terjadi bila air masuk melalui batuan yang retak-retak dan batuan yang melewatkan air. Bidang gelincir merupakan bidang yang bersifat menahan air (permeabilitas rendah), bersifat padat yang memungkinkan tanah pelapukan bergerak di atasnya. Longsor sering terjadi pada lereng-lereng yang mempunyai lapisan batuan kedap air. Batuan kedap air ini biasanya memiliki pori-pori relatif kecil dan memiliki nilai tahanan jenis yang besar (Dona, 2015).

Kedalaman bidang gelincir dari permukaan tanah sangat penting bagi deskripsi longsor. Kedalaman bidang gelincir diukur dari permukaan. Terdapat empat kelas kedalaman bidang gelincir, yaitu sangat dangkal ($< 1,5$ meter), dangkal (1,5 meter - 5 meter), dalam (5 meter - 20 meter) dan sangat dalam (> 20 meter) (Zulfiadi, 2011). Kedalaman bidang gelincir penting untuk diketahui karena dapat mengetahui seberapa besar resiko longsor yang terjadi. Semakin dalam bidang gelincir, tingkat bahaya longsor akan semakin besar. Sebaliknya semakin dangkal bidang gelincir, tingkat bahaya semakin kecil (Dona, 2015).

Lapisan yang terdiri dari batuan yang dapat melewatkan air dan batuan kedap air pada musim hujan akan berpotensi longsor. Air yang masuk ke dalam tanah sampai pada lapisan kedap air. Air akan terakumulasi pada lapisan kedap air. Lapisan yang berada di atas lapisan kedap air menjadi lapuk. Permukaan lapisan kedap air menjadi licin, sehingga lapisan yang lapuk tadi akan bergerak di atas lapisan licin yang berperan sebagai bidang gelincir.

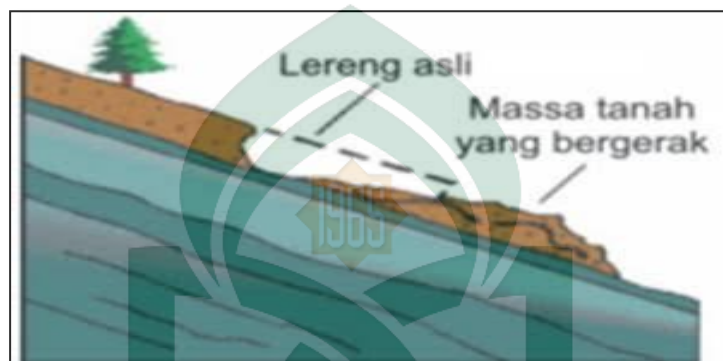
Bidang gelincir diperoleh dari kontras resistivitas antar dua batuan yang saling berdekatan, didukung oleh curah hujan yang tinggi dan bidang yang cukup terjal (Mimin, 2011). Terdapat 7 klasifikasi kemiringan lereng, yaitu 0° - 2° kemiringan lereng datar, 2° - 4° kemiringan lereng landai, 4° - 8° kemiringan lereng miring, 8° - 16° kemiringan lereng agak curam, 16° - 35° kemiringan lereng curam, 35° - 55° kemiringan lereng sangat curam, dan $> 55^\circ$ kemiringan lereng terjal (Ibnu, 2013).

2.4 Jenis-Jenis Gerakan Tanah

Berdasarkan jenisnya, gerakan tanah dibagi menjadi 6 (ESDM, 2007) yaitu sebagai berikut:

a. Longsoran Translasi

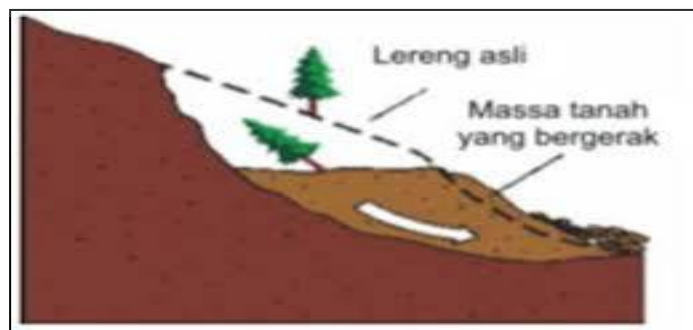
Longsoran translasi adalah Bergeraknya massa tanah dan batuan pada bidang gelincir berbentuk rata atau menggelombang landai. Longsoran Translasi dapat dilihat pada gambar 2.1 sebagai berikut:



Gambar 2.1. Longsoran Translasi (ESDM, 2007)

b. Longsoran Rotasi

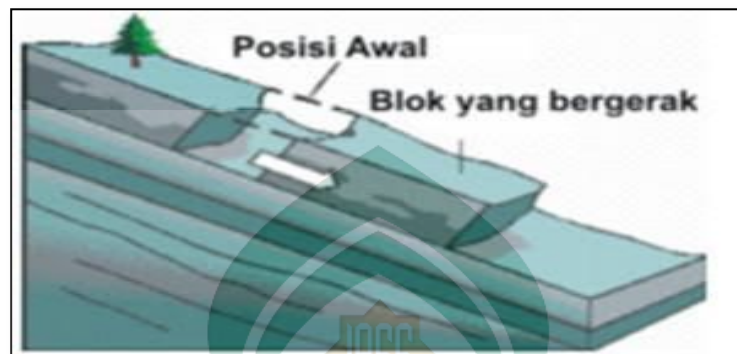
Longsoran rotasi adalah Bergeraknya massa tanah dan batuan pada bidang gelincir berbentuk cekung. Longsoran rotasi dapat dilihat pada gambar 2.2 sebagai berikut:



Gambar 2.2 Longsoran Rotasi (ESDM, 2007)

c. Pergerakan Blok

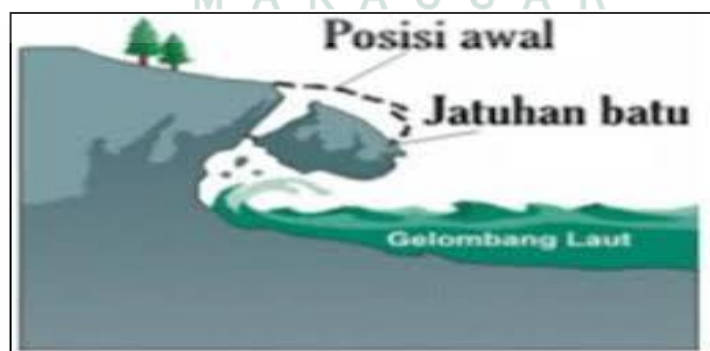
Pergerakan blok adalah perpindahan batuan yang bergerak pada bidang gelincir berbentuk rata. Longsoran ini disebut juga longsoran translasi blok batu. Pergerakan blok dapat dilihat pada gambar 2.3 sebagai berikut:



Gambar 2.3 Pergerakan Blok (ESDM, 2007)

d. Runtuhan Batu

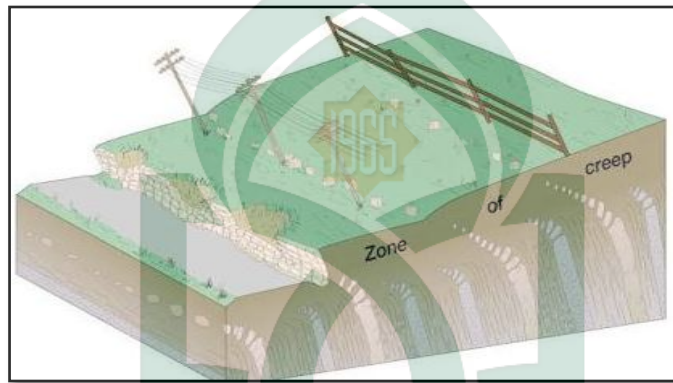
Runtuhan batu terjadi ketika sejumlah besar batuan atau material lain bergerak ke bawah dengan cara jatuh bebas. Umumnya terjadi pada lereng yang terjal hingga menggantung terutama di daerah pantai. Batu-batu besar yang jatuh dapat menyebabkan kerusakan parah. Runtuhan batu dapat dilihat pada gambar 2.4 sebagai berikut:



Gambar 2.4 Runtuhan Batu (ESDM, 2007)

e. Rayapan Tanah

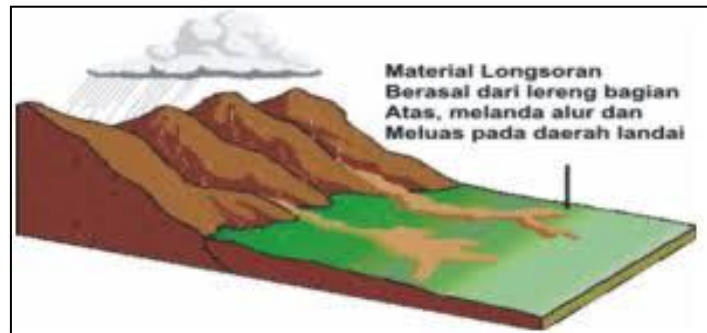
Rayapan tanah adalah jenis tanah longsor yang bergerak lambat. Jenis tanahnya berupa butiran kasar dan halus. Daya lekat antar butir tanah (kohesi) merupakan faktor internal yang menjadi penyebab longsor. Semakin besar nilai kohesi maka kekuatan geser batuan akan semakin besar juga. Jenis tanah longsor ini hampir tidak dapat dikenali. Setelah waktu yang cukup lama longsor jenis rayapan ini biasa menyebabkan tiang-tiang telepon, pohon, atau rumah miring ke bawah seperti pada gambar 2.5 sebagai berikut:



Gambar 2.5 Rayapan Tanah (ESDM, 2007)

f. Aliran Bahan Rombakan

Jenis tanah longsor ini terjadi ketika massa tanah bergerak didorong oleh air. Kecepatan aliran tergantung pada kemiringan lereng, volume dan tekanan air, dan jenis materialnya. Gerakanya terjadi di sepanjang lembah dan mampu mencapai ratusan meter jauhnya. Dibeberapa tempat bisa sampai ribuan meter seperti di daerah aliran sungai di sekitar gunung api. Aliran tanah ini dapat menelan korban cukup banyak. Aliran bahan rombakan dapat dilihat pada gambar 2.6 sebagai berikut:



Gambar 2.6. Aliran Bahan Rombakan (ESDM, 2007)

2.5 Penyebab Terjadinya Gerakan Tanah

Menurut Arif (2015), gejala umum tanah longsor ditandai dengan munculnya retakan-retakan di lereng yang sejajar dengan arah tebing, biasanya terjadi setelah hujan, munculnya mata air baru secara tiba-tiba dan tebing rapuh serta kerikil mulai berjatuhan. Faktor-faktor penyebab terjadinya gerakan tanah adalah sebagai berikut:

a. Hujan

Musim kering yang panjang akan menyebabkan terjadinya penguapan air di permukaan tanah dalam jumlah besar. Hal ini mengakibatkan munculnya pori-pori tanah hingga terjadi retakan dan merekahnya tanah ke permukaan. Ketika hujan, air akan menyusup kebagian yang retak sehingga tanah dengan cepat mengembang kembali.

Pada awal musim hujan, intensitas hujan yang tinggi biasanya sering terjadi, sehingga kandungan air pada tanah menjadi jenuh dalam waktu yang singkat. Hujan lebat pada awal musim dapat menimbulkan longsor karena melalui tanah yang merekah air akan masuk dan terakumulasi dibagian dasar lereng, sehingga menimbulkan gerakan lateral.

b. Lereng Terjal

Lereng atau tebing yang terjal akan memperbesar gaya pendorong. Lereng yang terjal terbentuk karena pengikisan air sungai, mata air, air laut dan angin. Kebanyakan sudut lereng yang menyebabkan longsor adalah 180° apabila ujung lerengnya terjal dan bidang longsoranya datar.

c. Tanah yang Kurang Padat dan Tebal

Jenis tanah yang kurang padat adalah tanah lempung atau tanah liat dengan ketebalan lebih dari 2,5 meter dari sudut lereng lebih dari 220 meter. Tanah jenis ini memiliki potensi untuk terjadinya tanah longsor terutama bila terjadi hujan. Selain itu, tanah ini sangat rentan terhadap pergerakan tanah karena menjadi lembek terkena air dan pecah ketika hawa terlalu panas.

d. Batuan yang Kurang Kuat

Batuan endapan gunung api dan sedimen berukuran pasir dan campuran antara kerikil, pasir dan lempung umumnya kurang kuat. Batuan tersebut akan mudah menjadi tanah apabila mengalami proses pelakukan dan umumnya rentan terhadap tanah longsor bila terdapat pada lereng yang terjal.

e. Jenis Tata Lahan

Tanah longsor banyak terjadi di daerah lahan persawahan, perladangan dan adanya genangan air di lereng yang terjal. Pada lahan persawahan akarnya kurang kuat untuk mengikat butir tanah yang membuat tanah menjadi lembek dan jenuh dengan air sehingga mudah longsor. Sedangkan untuk daerah perladangan penyebabnya adalah karena akar pohonnya tidak dapat menembus bidang longsor yang dalam dan umumnya terjadi di daerah longsor lama.

f. Getaran

Getaran yang terjadi biasanya diakibatkan oleh gempa bumi, ledakan, getaran mesin dan getaran lalu lintas kendaraan. Akibatnya yang ditimbulkan adalah tanah, badan jalan, lantai dan dinding rumah menjadi retak. Menurut Yusuf (2008), secara garis besar 2 (dua) penyebab terjadinya gerakan lereng yaitu faktor alami dan faktor manusia. Faktor alami yang menjadi penyebab utama terjadinya longsor antara lain:

1. Kondisi geologi: batuan lapuk, kemiringan lapisan, sisipan lapisan batu lempung, struktur sesar dan kekar, gempa bumi, stratigrafi dan gunung api.
2. Iklim: curah hujan yang tinggi.
3. Keadaan topografi: lereng yang curam
4. Keadaan tata air: kondisi drainase yang tersumbat, akumulasi massa air, erosi dalam, pelarutan dan tekanan hidrostatika.
5. Tutupan lahan yang mengurangi tanah geser.

Sedangkan faktor manusia yang menjadi penyebab terjadinya longsor adalah:

1. Pemotongan tebing pada penambangan batu dilembar yang terjal
2. Penimbunan tanah urugan di daerah lereng.
3. Kegagalan struktur dinding penahan tanah.
4. Penggundulan hutan.
5. Budidaya kolam ikan di atas lereng.
6. Sistem pertanian yang tidak memperhatikan irigasi yang aman

7. Pengembangan wilayah yang tidak diimbangi dengan kesadaran masyarakat. Sehingga Rencana Umum Tata Ruang (RUTR) tidak ditaati yang akhirnya merugikan sendiri.
8. Sistem drainase daerah lereng yang tidak baik.

2.6 Zona Kerentanan Gerakan Tanah

Zona kerentanan gerakan tanah berdasarkan keputusan Meteri Energi dan Sumber Daya Mineral No. 1452 k/10/MEM/2000 yaitu sebagai berikut:

- a. Zona kerentanan gerakan tanah tinggi merupakan daerah yang secara umum mempunyai kerentanan tinggi untuk terjadi gerakan tanah. Gerakan tanah berukuran besar sampai sangat kecil telah sering terjadi dan akan cenderung sering terjadi
- b. Zona kerentanan gerakan tanah menengah merupakan daerah yang secara umum mempunyai kerentanan menengah untuk terjadi gerakan tanah. Gerakan tanah besar maupun kecil dapat terjadi terutama di daerah yang berbatasan dengan lembah, sungai, gawir, tebing pemotong jalan, dan pada lereng yang mengalami gangguan. Gerakan tanah masih mungkin dapat aktif kembali terutama oleh curah hujan yang tinggi.
- c. Zona kerentanan gerakan tanah menengah merupakan daerah yang secara umum mempunyai kerentanan menengah untuk terjadi gerakan tanah. Gerakan tanah besar maupun kecil dapat terjadi terutama di daerah yang berbatasan dengan lembah sungai, gawir, tebing pemotongan jalan, dan pada lereng yang mengalami gangguan. Gerakan tanah masih mungkin dapat aktif kembali terutama oleh curah hujan yang tinggi.

- d. Zona kerentanan gerakan tanah rendah merupakan daerah yang secara umum terjadi gerakan tanah. Pada zona ini gerakan tanah umumnya jarang terjadi kecuali jika mengalami gangguan pada lerengnya.
- e. Zona kerentanan gerakan tanah sangat rendah, merupakan daerah yang mempunyai kerentanan sangat rendah untuk terjadi gerakan tanah. Pada zona ini sangat jarang atau hampir tidak pernah terjadi gerakan tanah. Tidak ditemukan adanya gejala-gejala gerakan tanah lama atau baru kecuali pada daerah sekitar tebing sungai.

2.7 Resistivitas Batuan

Resistivitas menyatakan sifat khas dari suatu bahan, yaitu derajat kemampuan bahan menghantarkan arus listrik dengan satuan Ωm . Satu Ωm menyatakan besarnya hambatan pada suatu bahan yang memiliki panjang 1 m dan luas penampang 1 m^2 . Hal ini berarti bahwa untuk bahan tertentu, harga resistivitas juga bernilai tertentu. Akibatnya suatu bahan dengan mineral penyusun sama tetapi perbandingannya berbeda, maka resistivitasnya akan berbeda pula. Nilai resistivitas hanya bergantung pada jenis mineral penyusun dan tidak bergantung pada faktor geometri (Yuristina, 2015). Variasi nilai tahanan jenis material-material bumi seperti pada tabel 2.2 berikut ini.

Tabel 2.2 Resistivitas material-material bumi.

Material Resistivitas	Resistivitas (Ωm)
Pirit (<i>Pyrite</i>)	0,01 – 100
Kwarsa (<i>Quartz</i>)	500 – 800.000

Kalsit (<i>Calcite</i>)	$1 \times 10^{12} - 1 \times 10^{13}$
Garam Batu (<i>Rock Salt</i>)	$30 - 1 \times 10^{13}$
Granit (<i>Granite</i>)	200 – 100.000
Andesit (<i>Andesite</i>)	$1,7 \times 10^2 - 45 \times 10^4$
Basal (<i>Basalt</i>)	200 – 100.000
Gamping (<i>Limestones</i>)	500 – 10.000
Batu Pasir (<i>Sandstones</i>)	200 – 8.000
Batu Tulis (<i>Shales</i>)	20 – 2.000
Pasir (<i>Sand</i>)	1 – 1.000
Lempung (<i>Clay</i>)	1 – 100
Air Tanah (<i>Ground Water</i>)	0.5 – 300
Air Asin (<i>Sea Water</i>)	0.2
Magnetit (<i>Magnetite</i>)	0.01 – 1.000
Kerikil Kering (<i>Dry Gravel</i>)	600 – 10.000
Aluvium (<i>Alluvium</i>)	10 – 800
Kerikil (<i>Gravel</i>)	100 – 600
Breksi	75 – 200
Batu Lumpur (<i>Marls</i>)	3 – 70
Konglomerat	$2 \times 10^3 - 10^4$
Lanau (<i>Silt</i>)	10-200
Tufa Vulkanik	20-100
Lava	$100 - 500 \times 10^4$

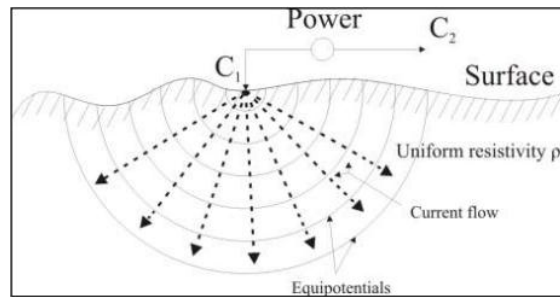
Sumber: Telford, 1990.

Beberapa hal yang mempengaruhi nilai resistivitas semu adalah sebagai berikut:

- a. Ukuran butir penyusun batuan, semakin kecil besar butir maka kelolosan arus akan semakin baik, sehingga mereduksi nilai tahanan jenis.
- b. Komposisi mineral dari batuan, semakin meningkat kandungan mineral *clay* akan mengakibatkan menurunnya nilai resistivitas.
- c. Kandungan air, air tanah atau air permukaan, merupakan media yang mereduksi nilai tahanan jenis.
- d. Kelarutan garam dalam air di dalam batuan mengakibatkan meningkatnya kandungan ion dalam air sehingga berfungsi sebagai konduktor.
- e. Kepadatan, semakin padat batuan akan meningkatkan nilai resistivitas.
- f. Porositas, yaitu perbandingan antara volume rongga (pori) terhadap volume batuan itu sendiri. Porositas dinyatakan dalam persen (%) volume. Volume pori-pori batuan yang besar akan memberikan kandungan cairan yang lebih banyak sehingga harga resistivitasnya akan semakin kecil.

2.8 Potensial di Sekitar Titik Arus di Permukaan Bumi

Jika arus diinjeksikan di suatu titik pada permukaan bumi maka arus akan memancarkan ke segala arah memancarkan ke segala arah membentuk permukaan equipotensial yang berbentuk setengah bola seperti pada Gambar 2.7 dengan luas $2\pi r^2$. Potensial pada jarak r dan titik P , hanya merupakan fungsi r saja. Potensial yang sama pada permukaan setengah bola di dalam tanah dapat ditunjukkan dari gambar dibawah ini:



Gambar 2.7 Titik sumber arus pada permukaan medium homogen (Telford dkk, 1990).

Persamaan Laplace yang berhubungan dengan kondisi ini dalam sistem koordinat bola (Hendrajaya, 1990) adalah:

$$\nabla^2 V = 0$$

$$\frac{1}{r^2} \frac{\partial}{\partial r} \left(r^2 \frac{\partial V}{\partial r} \right) + \frac{1}{r^2 \sin \theta} \frac{\partial}{\partial \theta} \left(\sin \theta \frac{\partial V}{\partial \theta} \right) + \frac{1}{r^2 \sin^2 \theta} \frac{\partial^2 V}{\partial \phi^2} = 0 \quad (2.1)$$

Mengingat arus yang mengalir simetri terhadap arah θ dan ϕ pada arus tunggal, maka persamaan di atas menjadi:

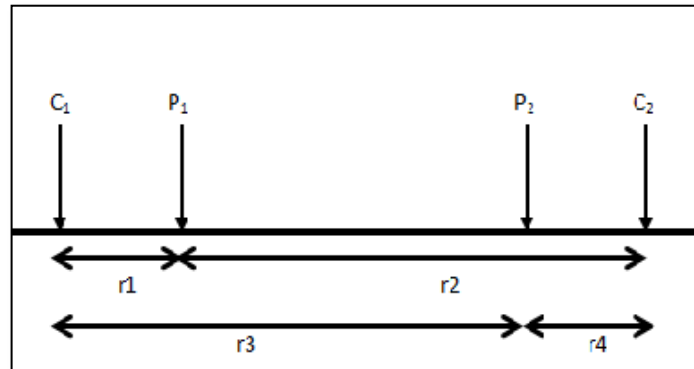
$$\frac{d^2 v}{dr^2} + \frac{2}{r} \frac{dv}{dr} = 0 \quad (2.2)$$

Dengan demikian potensial di setiap titik yang berhubungan dengan sumber arus pada permukaan bumi yang homogeny isotropis adalah:

$$V = \frac{1}{r} \frac{\rho I}{2\pi} \text{ atau } \rho = 2\pi r \frac{V}{I} \quad (2.3)$$

2.9 Perhitungan Nilai Resistivitas

Metode yang biasa digunakan pada pengukuran geolistrik resistivitas secara umum yaitu dengan menginjeksikan arus listrik kedalam bumi dengan menggunakan dua elektroda arus (C_1 dan C_2), dan pengukuran beda potensial dengan menggunakan dua elektroda potensial (P_1 dan P_2) seperti pada Gambar 2.8 (Syamsuddin, 2012).



Gambar 2.8. Bentuk susunan elektroda pada survei geolistrik resistivitas (Santoso, 2002)

Potensial pada titik P_1 yang disebabkan arus dari elektroda C_1 dan C_2 berdasarkan persamaan

$$V = \frac{1}{r} \frac{I\rho}{2\pi} \text{ atau } \rho = 2\pi r \frac{V}{I} \quad (2.4)$$

Maka

$$V_1 = \frac{I\rho}{2\pi r_1} \text{ dan } V_2 = -\frac{I\rho}{2\pi r_2} \quad (2.5)$$

Sehingga diperoleh beda potensial di titik P_1 akibat arus C_1 dan C_2 menjadi:

$$V_1 + V_2 = \frac{I\rho}{2\pi} \left(\frac{1}{r_1} - \frac{1}{r_2} \right) \quad (2.6)$$

Potensial yang timbul di titik P_2 sama halnya dengan potensial di titik P_1 sehingga besarnya beda potensial P_1 dan P_2 akibat injeksi arus C_1 dan C_2 adalah:

$$\Delta V = V_{P1} - V_{P2} \quad (2.7)$$

Sehingga

$$\Delta V = \frac{\rho I}{2\pi} \left\{ \frac{1}{r_1} - \frac{1}{r_2} - \frac{1}{r_3} + \frac{1}{r_4} \right\} \quad (2.8)$$

Atau dapat ditulis:

$$\rho = \frac{2\pi}{\left\{\frac{1}{r_1} - \frac{1}{r_2} - \frac{1}{r_3} + \frac{1}{r_4}\right\}} \frac{\Delta V}{I} \quad (2.9)$$

Dari besarnya arus dan beda potensial yang terukur, maka nilai resistivitas dapat dihitung dengan menggunakan persamaan:

$$\rho = K(\Delta V/I) \quad (2.10)$$

Keterangan:

ρ = Tahanan jenis batuan (Ωm)

K = Faktor geometri

ΔV = Beda potensial listrik (V)

r_1 = Jarak dari C_1 ke P_1 (m)

r_2 = Jarak dari P_1 ke C_2 (m)

r_3 = Jarak dari C_1 ke P_2 (m)

r_4 = Jarak dari P_2 ke C_2 (m)

I = Arus Listrik (A)

Harga resistivitas pada persamaan 2.10 yang diperoleh dari hasil pengukuran merupakan harga resistivitas semu. Harga resistivitas sebenarnya dapat diperoleh dengan melakukan suatu proses perhitungan secara komputerisasi. Cara komputerisasi membutuhkan suatu perangkat lunak berupa software. Software yang digunakan adalah Res2DINV. Setiap batuan/mineral memiliki harga resistivitas yang berbeda-beda seperti pada tabel 2.2.

2.10 Geolistrik Metode Tahanan Jenis

Penggunaan metode geolistrik pertama kali digunakan oleh **Conrad Schlumberger** pada tahun 1912. Geolistrik merupakan salah satu metode

geofisika untuk mengetahui perubahan resistivitas lapisan batuan di bawah permukaan tanah dengan cara mengalirkan arus listrik DC (*Dirrect Current*) yang mempunyai tegangan tinggi ke dalam tanah. Injeksi arus listrik ini menggunakan dua buah elektroda arus A dan B yang ditancapkan ke dalam tanah dengan jarak tertentu. Semakin panjang jarak elektroda AB akan menyebabkan aliran arus listrik bisa menembus lapisan batuan lebih dalam (Dobrin dalam Juandi, 2008).

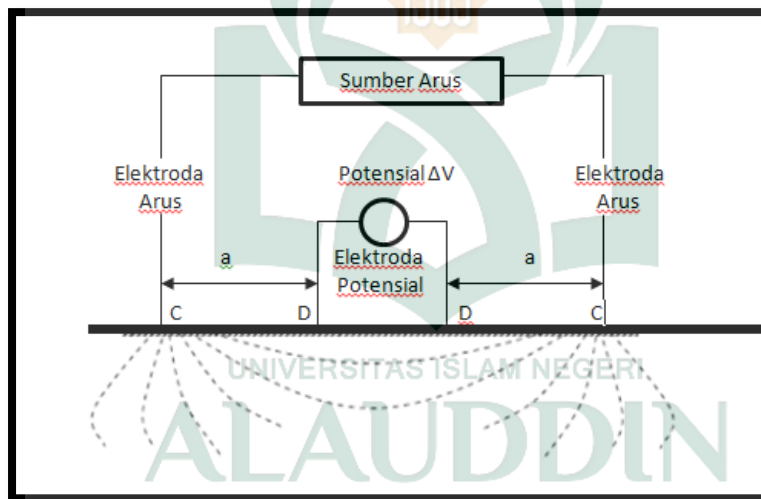
Prinsip kerja metode geolistrik dilakukan dengan cara menginjeksikan arus listrik ke permukaan tanah melalui sepasang elektroda dan mengukur beda potensial dengan sepasang elektroda yang lain. Bila arus listrik diinjeksikan ke dalam suatu medium dan diukur beda potensialnya (tegangan), maka nilai hambatan dari medium tersebut dapat diperkirakan. Berdasarkan pada tujuan penelitian metode yang digunakan yaitu metode *mapping*. Metode resistivitas *mapping* merupakan metode resistivitas yang bertujuan mempelajari variasi resistivitas lapisan bawah permukaan secara horizontal (Wijaya, 2015).

Metode geolistrik resistivitas memiliki beberapa kelebihan yaitu bersifat tidak merusak lingkungan, pengoperasian mudah dan cepat, biayanya murah, dan dapat mengidentifikasi kedalaman sampai beberapa meter sehingga banyak dipakai dalam survei lingkungan seperti diantaranya untuk menentukan stabilitas lereng, survei daerah rawan dan investigasi pergerakan massa (*mass movement*) (Supeno, 2008).

Metode geolistrik resistivitas memiliki beberapa kelebihan yaitu bersifat tidak merusak lingkungan, pengoperasian mudah dan cepat, biayanya murah, dan dapat mengidentifikasi kedalaman sampai beberapa meter (Panissod, et al. 2001),

survei daerah rawan longsor (Prayogo 2003, Wahyono et al. 2003) dan investigasi pergerakan massa (*mass movement*) (Meric et al. 2005).

Metode geolistrik resistivitas atau tahanan jenis adalah salah satu metode yang dimanfaatkan dalam survei bawah permukaan. Metode tersebut umumnya digunakan untuk eksplorasi dangkal, sekitar 300-500 meter. Prinsip metode geolistrik yaitu menginjeksikan arus ke dalam bumi melalui 2 elektroda arus, dan beda potensial yang diukur melalui dua elektroda potensial. Dari hasil pengukuran didapat variasi harga resistivitas listrik pada lapisan di bawah titik ukur (Santoso, 2002). Konfigurasi geolistrik seperti pada Gambar 2.9 sebagai berikut:



Gambar 2.9. Konfigurasi Geolistrik

Harga tahanan jenis suatu bahan dapat dituliskan sebagai (Telford, dkk., 1990)

$$R = \rho \frac{L}{A} = \quad (2.11)$$

Keterangan:

R = Resistansi yang diukur (Ω)

ρ = Tahanan Jenis bahan (Ωm)

L = Panjang penampang (m)

A = Luas penampang (m^2)

K = Faktor Geometri

Berdasarkan letak (konfigurasi) elektroda-elektroda arus dan potensialnya, dikenal beberapa jenis metode geolistrik tahanan jenis, antara lain metode Schlumberger, metode wenner dan metode dipole *Sounding*. Untuk aturan elektroda schlumberger, spasi elektroda arus (elektroda C1 dan C2) jauh lebih lebar dari pada spasi elektroda potensial (elektroda A dan B), selain itu jarak elektroda potensial juga jarang diubah-ubah. Konfigurasi schlumberger menjadi pilihan terbaik dikarenakan jangkauannya yang paling dalam (Rosid. 2008).

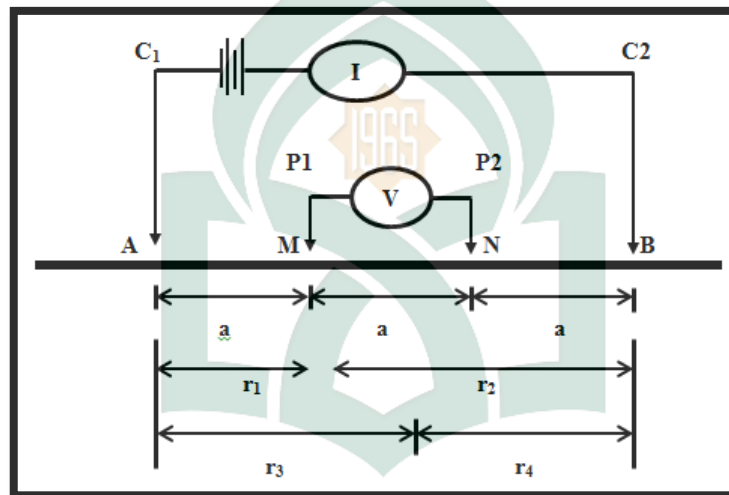
Pengukuran resistivitas adalah pengukuran dengan menempatkan 4 elektroda pada tanah atau batuan. Pada saat elektroda ditancapkan ke bumi, maka arus dari elektroda akan menembus ke elektroda lain. Pengukuran resistivitas menunjukkan secara nyata resistivitas rata-rata volume dari bumi yang ditentukan dari tanah, batuan, dan pori cairan resistivitas, sesuai dengan geometri elektroda dan spasi (Loke, 1999).

2.11 Konfigurasi Wenner

Metode ini diperkenalkan oleh Wenner (1915). Konfigurasi wenner merupakan salah satu konfigurasi yang sering digunakan dalam eksplorasi geolistrik dengan susunan jarak spasi sama panjang ($r_1 = r_4 = a$ dan $r_2 = r_3 = 2a$). Jarak antara elektroda arus adalah tiga kali jarak elektroda potensial, jarak potensial dengan titik *sounding*-nya adalah $2/a$, maka jarak masing elektroda arus

dengan titik *soundingnya* adalah $2/3a$. Target kedalaman yang mampu dicapai pada metode ini adalah $2/a$. Dalam akuisisi data lapangan susunan elektroda arus dan potensial diletakkan simetri dengan titik *sounding* (Wijaya, 2015).

Meskipun letak kedua elektroda potensial dapat diletakkan di sembarang tempat dipermukaan bumi, tapi untuk memudahkan pengolahan data dan interpretasi elektroda tersebut diletakkan menurut aturan tertentu (Syamsuddin, 2009). Konfigurasi wenner dapat dilihat pada Gambar 2.9 berikut ini:



Gambar 2.10 Konfigurasi Wenner

Pada konfigurasi wenner jarak antar elektroda arus dan elektroda potensial adalah sama ($AM = NB = a$ dan jarak $AN = MB = 2a$) seperti yang terlihat pada Gambar 2.10 (Putra, 2011).

Keunggulan dari konfigurasi wenner ini adalah ketelitian pembacaan tegangan pada elektroda MN lebih baik dengan angka yang relatif besar karena elektroda MN yang relatif dekat dengan elektroda AB. Sedangkan kelemahannya yaitu tidak bisa mendeteksi homogenitas batuan di dekat permukaan yang bisa berpengaruh terhadap hasil perhitungan.

K adalah faktor koreksi geometri yang dinyatakan dengan:

$$K = 2 \left[\left(\frac{1}{r_1} - \frac{1}{r_2} \right) - \left(\frac{1}{r_3} - \frac{1}{r_4} \right) \right]^{-1} \quad (2.12)$$

Faktor koreksi dari konfigurasi wenner ini diberikan oleh persamaan

$$K = 2 \pi a \quad (2.13)$$

a adalah jarak (spasi) antar elektroda.

Untuk membuktikan persamaan (2.13) dari persamaan (2.12). Untuk konfigurasi wenner r_1 sampai r_4 mempunyai harga sebagai berikut:

$$r_1 = a, r_2 = 2a, r_3 = a, r_4 = 2a$$

Dengan melakukan operasi pengurangan diperoleh faktor geometri (K) konfigurasi wenner:

$$K = 2 \pi a \quad (2.14)$$

Sehingga untuk konfigurasi wenner berlaku:

$$\rho_a = k \frac{\Delta V}{I} \quad (2.15)$$

Dengan ρ_a disebut resistivitas semu.

Tujuan *mapping* adalah untuk mengetahui informasi variasi resistivitas secara lateral sehingga teknik *mapping* dilakukan dengan menggunakan konfigurasi elektroda tertentu dengan jarak antar elektroda tetap, seluruh susunan elektroda dipindah mengikuti lintasan. Konfigurasi elektroda yang biasa digunakan adalah Wenner dan Dipole. Sedangkan tujuan *sounding* adalah untuk memperkirakan variasi resistivitas sebagai fungsi dari kedalaman pada suatu titik pengukuran. Mengingat jarak antar elektroda menentukan kedalaman titik pengukuran, maka pengukuran dilakukan dengan jarak antar elektroda

bervariasi. Sehingga keuntungan dari konfigurasi wenner yaitu selain dapat digunakan untuk pengukuran *mapping* dan *sounding* (Ambarsari, 2013).

2.12 Res2DinV

Res2Dinv adalah program komputer yang secara otomatis menentukan model resistiviti 2 dimensi (2-D) untuk bawah permukaan dari data hasil survei geolistrik. Model 2-D menggunakan program inversi dengan teknik optimasi *least-square* non linier dan *subroutine* dari permodelan maju digunakan untuk menghitung nilai resistivitas semu. Data hasil survei geolistrik disimpan dalam bentuk file **.dat* dengan data dalam file tersebut tersusun dalam order sebagai berikut:

Line 1 – Nama tempat dari garis survei

Line 2 – Spasi elektroda terpendek

Line 3– Tipe Pengukuran (Wenner = 1, Pole-pole = 2, Dipole-dipole = 3, Pole-dipol = 4, Schlumberger = 7)

Line 4 – Jumlah total datum point

Line 5 – Tipe dari lokasi x datum point. Masukkan 0 bila letak elektroda pertama diketahui. Gunakan 1 jika titik tengahnya diketahui.

Line 6 – Ketik 1 untuk data IP dan 0 untuk data resistivitas.

Line 7 – Posisi x, spasi elektroda, (faktor pemisah elektroda (n) untuk dipole-dipole, pole-pole, dan wenner-schlumberger) dan harga resistivitas semu terukur pada datum point pertama.

Line 8 – Posisi x, spasi elektroda dan resistivitas semu yang terukur untuk datum point kedua. Dan seterusnya untuk datum point berikutnya. Setelah itu diakhiri dengan empat angka 0 (Handayani, 2001).

2.13 Topografi dan Kemiringan Tanah Daerah Penelitian

Kemiringan lereng merupakan bentuk dari variasi perubahan permukaan bumi secara global, regional atau dikhususkan dalam bentuk suatu wilayah tertentu yang digunakan dalam pengidentifikasian kemiringan lereng adalah sudut kemiringan lereng, titik ketinggian di atas muka laut dan bentang alam berupa bentukan akibat gaya satuan geomorfologi yang bekerja. Terdapat 7 klasifikasi kemiringan lereng, yaitu 0°- 2° kemiringan lereng datar, 2°- 4° kemiringan lereng landau, 4°- 8° kemiringan lereng miring, 8°-16° kemiringan lereng agak curam, 16°-35° kemiringan lereng curam, 35°-55° kemiringan lereng sangat curam, dan >55° kemiringan lereng terjal (Ibnu, 2013). Pengelompokan kelas kemiringan lahan dan sebarannya disetiap kecamatan dan disajikan dalam Tabel 2.3 dibawah ini:

Tabel 2.3 Kemiringan Lahan di Kabupaten Maros

No	Sudut lereng (%)	Ketinggian di atas muka laut (M)	Luas (%)	Bentangan dan batuan penyusun	Sebaran (Kecamatan)
1	< 3	0-30	33,33	Pedataran; Dominan Aluvium	Lau, Bontoa, Turikale, Maros Baru, Marusu, Mandai, Bantimurung,

					Camba dan Tanralili
2	3-5	15-300	1,87	Perbukitan, Sedimen dan Vulkanik	Mallawa, Camba, Bantimurung, Bontoa dan Tanralili
3	5-10	25-750	4,31	Perbukitan Kars dan Intrusi serta Pegunungan Vulkanik	Mallawa, Camba, Tanralili, Tompobulu dan Bantimurung
4	10-15	100-1.565	11,48	Perbukitan Intrusi, Vulkanik, Kars dan Sedimen	Mallawa, Camba, Bantimurung, Bontoa, Simbang, Tanralili dan Tompobulu
5	15-30	25-1.540	23,30	Pegunungan Vulkanik, Perbukitan Kars, Intrusi dan Sedimen	Mallawa, Camba, Bantimurung, Bontoa, Tompobulu, Tanralili, Moncongloe dan Simbang
6	30-70	100-1.458	20,09	Pegunungan Vulkanik, Perbukitan Intrusi dan Kars	Mallawa, Camba, Bantimurung, Simbang dan Bontoa
7	>70	35-1.437	5,61	Perbukitan Kars dan Pegunungan Vulkanik	Mallawa, Camba, Bantimurung, Simbang, Tompobulu dan Tanralili

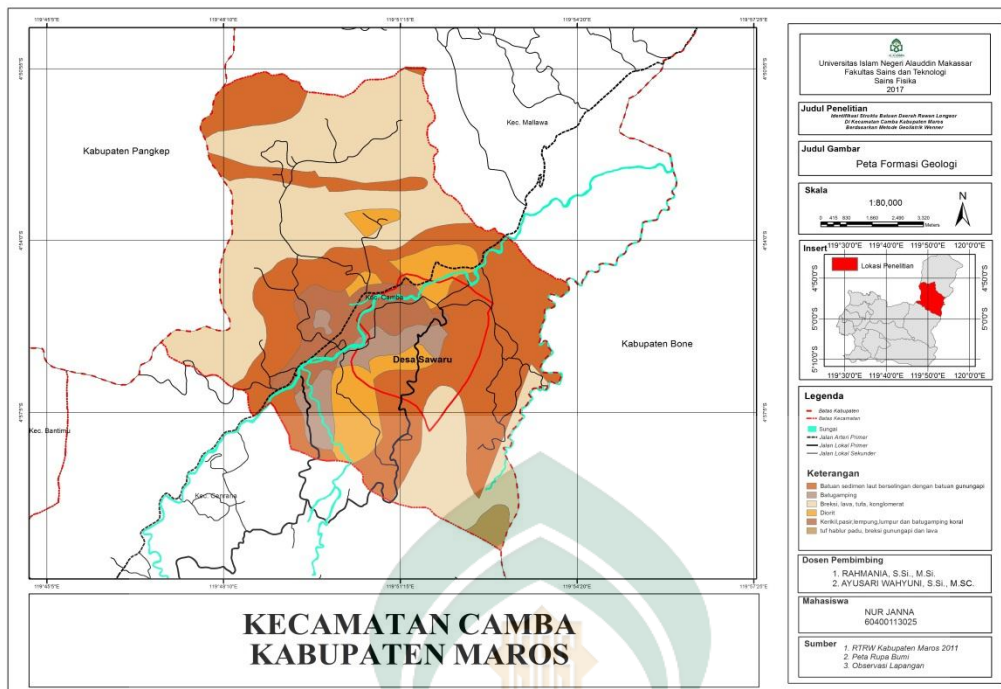
Sumber : Dinas Pertambangan dan Energi Kabupaten Maros, 2010.

2.14 Kondisi Geomorfologi dan Geologi Daerah Penelitian

Secara umum luas wilayah Kabupaten Maros kurang lebih 1.619,12 km² dan secara administrasi pemerintahan terdiri atas 14 wilayah kecamatan dan 103

desa/kelurahan. Kabupaten Maros terbagi dalam 4 (empat) satuan geomorfologi, sebagai berikut :

- 1) Satuan Pegunungan Vulkanik : menempati bagian utara, tengah dan timur puncak tertinggi Bulu Lekke (1.361 m dpl) menempati luas 30% dari luas daerah kabupaten Maros, dinampakkan dengan relief topografi yang tinggi, kemiringan terjal, tekstur topografi yang kasar dan batuan penyusunnya dari batuan gunung api (vulkanik).
- 2) Satuan Perbukitan Vulkanik : Intrusi dan Sedimen : menempati daerah perbukitan yang menyebar secara setempat-setempat sekitar 15% dari luas kabupaten Maros, diperlihatkan dengan kenampakan topografi berbukit dengan batuan penyusun ; batuan vulkanik, batuan intrusi (batuan beku), dan batuan sedimen
- 3) Satuan Perbukitan Karst : Satuan perbukitan ini tersebar cukup luas pada bagian tengah, timurlaut daerah kabupaten Maros yang meliputi kecamatan Bontoa, Bantimurung, Simbang, Tanralili, Mallawa dan Camba, ciri khas pada satuan morfologi ini adalah kenampakan topografi berbukit-bukit karst dengan tekstur sangat kasar dengan batu gamping sebagai batuan penyusunnya.
- 4) Satuan Pedataran Aluvium : Terletak dibagian barat yang tersebar dengan arah utara-selatan, menempati sekitar 25 % dari luas daerah kabupaten Maros. Tercirikan dengan bentuk morfologi topografi datar, relief rendah, tekstur halus dengan batuan dasar endapan aluvium.



Gambar 2.11. Peta Geologi Kecamatan Camba
(Sumber : Dinas Pertambangan dan Energi Kabupaten Maros, 2010)

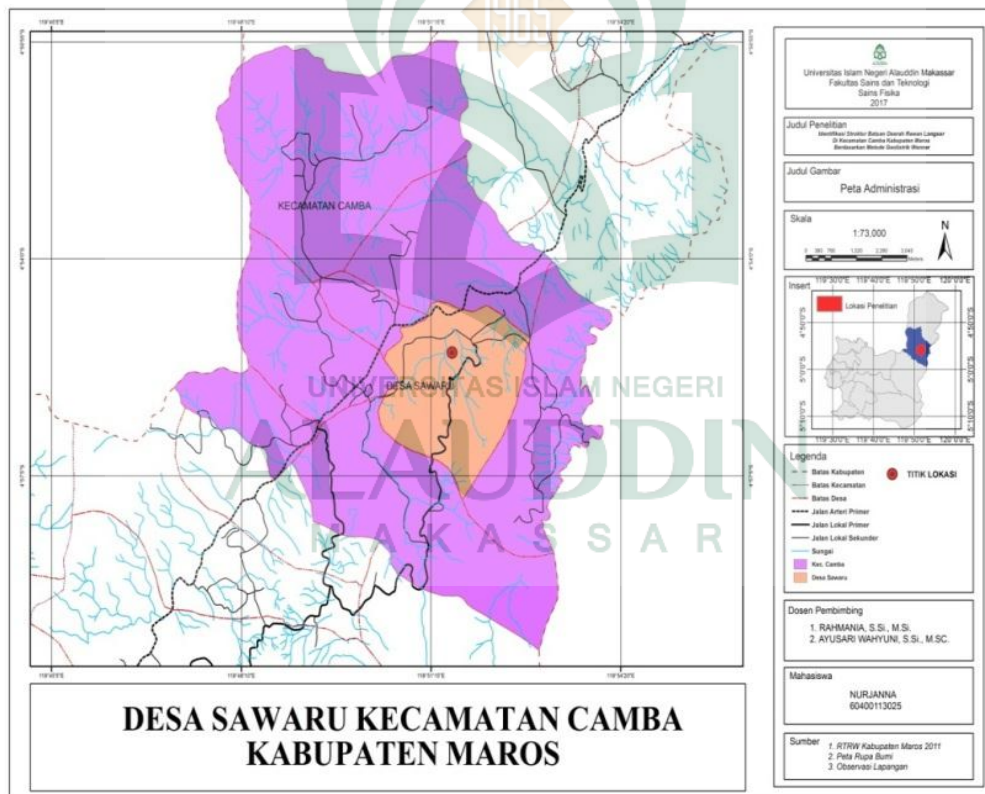
Berdasarkan Gambar 2.11 yaitu Peta Geologi Kecamatan Camba. Kecamatan Camba tersusun dari batuan sedimen, batu gamping, breksi, lava tufa, konglomerat, diorite, kerikil, pasir, lempung, lumpur, batu gamping koral, tuf hablur padu, breksi gunung api dan lava. Desa Sawaru masuk dalam satuan formasi Camba.

BAB III

METODE PENELITIAN

1.1 Waktu dan Tempat Penelitian

Penelitian ini dilaksanakan pada 6 Juli 2017 bertempat di Desa Sawaru, kecamatan Camba, kabupaten Maros, Sulawesi Selatan. Jumlah lintasan yang digunakan sebanyak 4 lintasan dengan panjang tiap lintasan yaitu 75 meter. Sementara untuk proses pengolahan data dilakukan di Laboratorium Fisika Dasar Fakultas Sains dan Teknologi UIN Alauddin Makassar.



Gambar 3.1. Lokasi Daerah Penelitian

1.2 Alat dan Bahan Penelitian

Alat dan bahan yang digunakan dalam penelitian ini adalah:

1. Resistivimeter *Multichannel S-Field*, berguna untuk memberikan harga beda potensial (V) dan kuat arus (I).
2. 16 buah elektroda.
3. Dua gulung kabel arus dan potensial masing-masing 150 meter.
4. Dua buah aki masing-masing 12 volt.
5. Palu geologi digunakan untuk memukul elektroda potensial dan elektroda arus pada permukaan tanah.
6. Meteran digunakan untuk mengukur panjang lintasan yang diteliti.
7. Laptop yang disambungkan pada alat resistivimeter.
8. GPS *Garmin (Global Positioning System)* digunakan untuk mengetahui posisi daerah.
9. Peta lokasi penelitian
10. Peta Geologi.
11. Beberapa software (*Ms. Office Exel 2013, RES2Dinv, Surfer 10, Notepad*).

3.3 Prosedur Penelitian

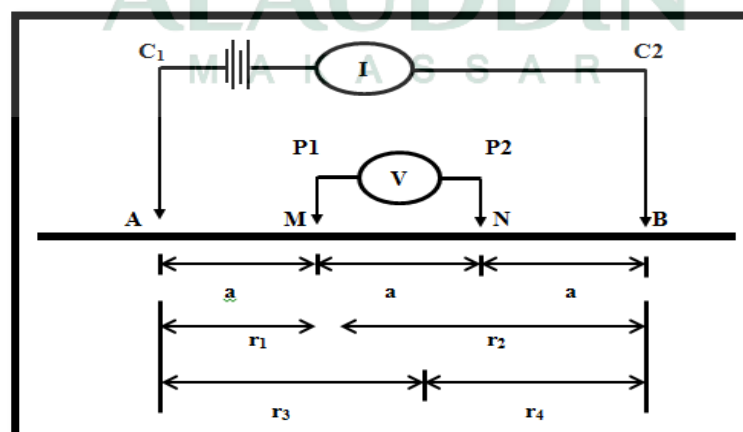
Prosedur penelitian pada penelitian ini adalah sebagai berikut:

3.3.1 Prosedur Penelitian di Lapangan

Pengambilan data geolistrik dilakukan dengan mengukur nilai resistivitas batuan di bawah permukaan.

Langkah dalam pengambilan data geolistrik adalah sebagai berikut:

1. Proses pengambilan data lapangan dimulai dengan menentukan titik lokasi pengukuran geolistrik dimana titik pengukuran dilakukan tepat di tengah – tengah titik longsor.
2. Setelah titik lokasi pengukuran telah ditentukan, dilakukan penentuan lintasan pengukuran dimasing - masing titik pengukuran.
3. Mengukur panjang lintasan sebelum menentukan titik *sounding*. Jarak lintasan yang digunakan sebanyak 75 meter dan jumlah lintasan sebanyak 4 lintasan.
4. Memasang satu elektroda sebagai titik *sounding* dan tempat acuan memasang roll meter.
5. Menentukan jarak spasi elektroda arus sebanyak 5 meter dan jarak spasi elektroda potensial sebanyak 5 meter untuk 1 lintasan hingga pengukuran sampai lintasan 4.
6. Membentangkan kabel dan menghubungkan pada masing-masing elektroda serta alat resistivimeter seperti gambar 3.2 berikut ini:



Gambar 3.2 Rangkaian pengukuran metode geolistrik konfigurasi wenner

7. Memasang kabel penghubung dengan sumber arus dan kabel penghubung alat *resistivity multichannel* dengan USB agar terkoneksi dengan laptop.
8. Membuka *software GeoRes* pada laptop. Memilih *settings* mengubah metode menjadi *wenner*.
9. Memilih *resistivity* kemudian memilih direktori untuk menyimpan data yang dihasilkan dari pengukuran lalu mengklik *start*. Dengan *software* tersebut monitoring di bawah permukaan tanah dapat otomatis terbaca.
10. Data hasil pengukuran disimpan pada direktori yang sudah dipilih sebelum memulai pengukuran.
11. Mengulangi langkah poin 1 sampai 7 untuk 3 lintasan berikutnya.

3.3.2 Teknik Pengolahan Data

3.3.2.1 Dumping Data Lapangan Hasil Penelitian

Setelah melakukan pengukuran di lapangan selanjutnya adalah melakukan *dumping data*, yakni mengambil data mentah dari perangkat geolistrik Multi-Channel. Setelah mengambil data mentah selanjutnya diolah dalam Excel Word 2010, Notepad, Surfer 10 dan Res2dinv. Berikut ini tabel data hasil penelitian di lapangan.

3.3.2.2. Tahap Pengolahan Data

Setelah melakukan proses pengukuran, selanjutnya melakukan perhitungan terhadap koreksi-koreksi dan pengolahan data dengan menggunakan bantuan *software Ms. Office Exel 2013. Surfer 10. Notepad, Res2dinv*. Langkah-langkah dalam pengolahan data adalah sebagai berikut:

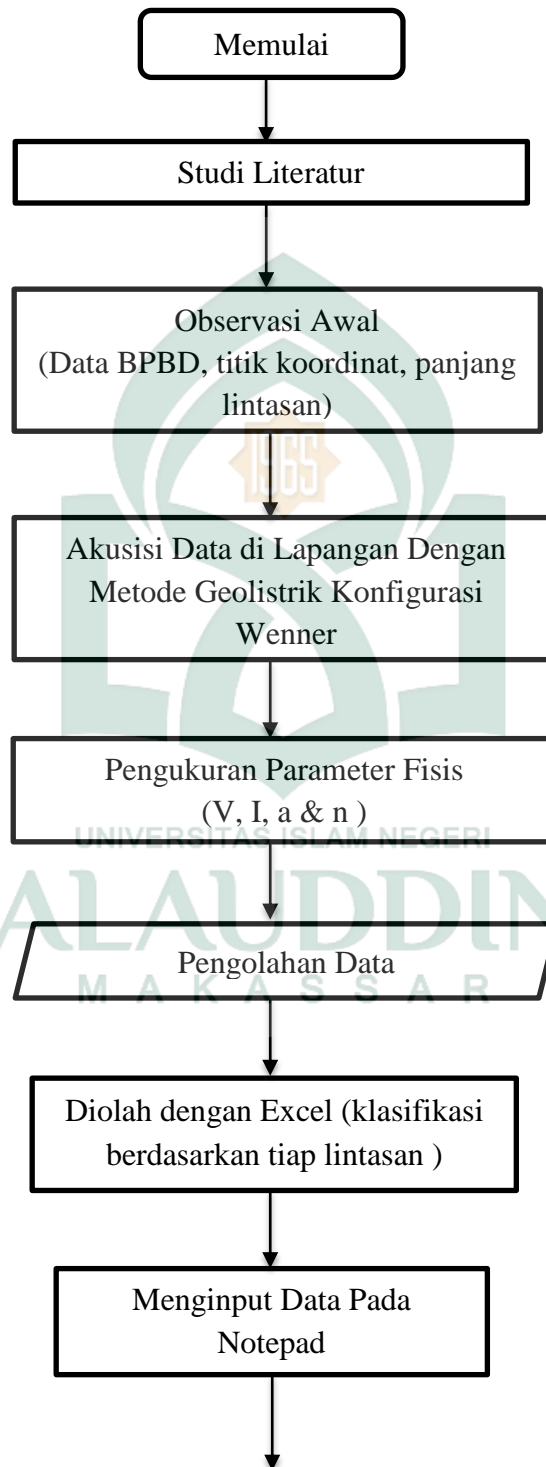
1. Data yang diperoleh dari pengukuran berupa harga besar arus (I) dan beda potensial (V) titik pengukuran.
2. Harga resistivitas semu dihitung dari faktor konfigurasi pengukuran dan perbandingan harga beda potensial (V) dan kuat arus (I) pengukuran.
3. Harga resistivitas semu tersebut dipetakan terhadap kedalaman semu (sepertiga hingga setengah panjang bentangan kabel, $AB/2$), kemudian dilakukan konturing sehingga diperoleh penampang harga resistivitas semu terhadap kedalaman semu untuk setiap lintasan pengukuran.
4. Penampang resistivitas semu di atas digunakan untuk menginterpolasi data resistivitas semu ideal dengan asumsi perlapisan bawah permukaan antar titik pengukuran saling berhubungan.
5. Hasil interpolasi dijadikan input data untuk melakukan pemodelan lapisan resistivitas tanah bawah permukaan dengan program/software pengolah data "Res2dinv" di komputer.

3.3.2.3. Tahap Interpretasi Data

Setelah melakukan pengolahan data menggunakan software *Ms. Office Excel 2013*, Notepad dan Res2dinv, selanjutnya menganalisis penampang 2D yang dihasilkan. Menganalisis nilai resistivitas berdasarkan tabel resistivitas Telford dan menentukan jenis batuan tiap lapisan. Menentukan kedalaman bidang gelincir tiap lintasan berdasarkan nilai resistivitas.

3.4 Bagan Alir Penelitian

Bagan alir pada penelitian ini adalah sebagai berikut:





BAB IV

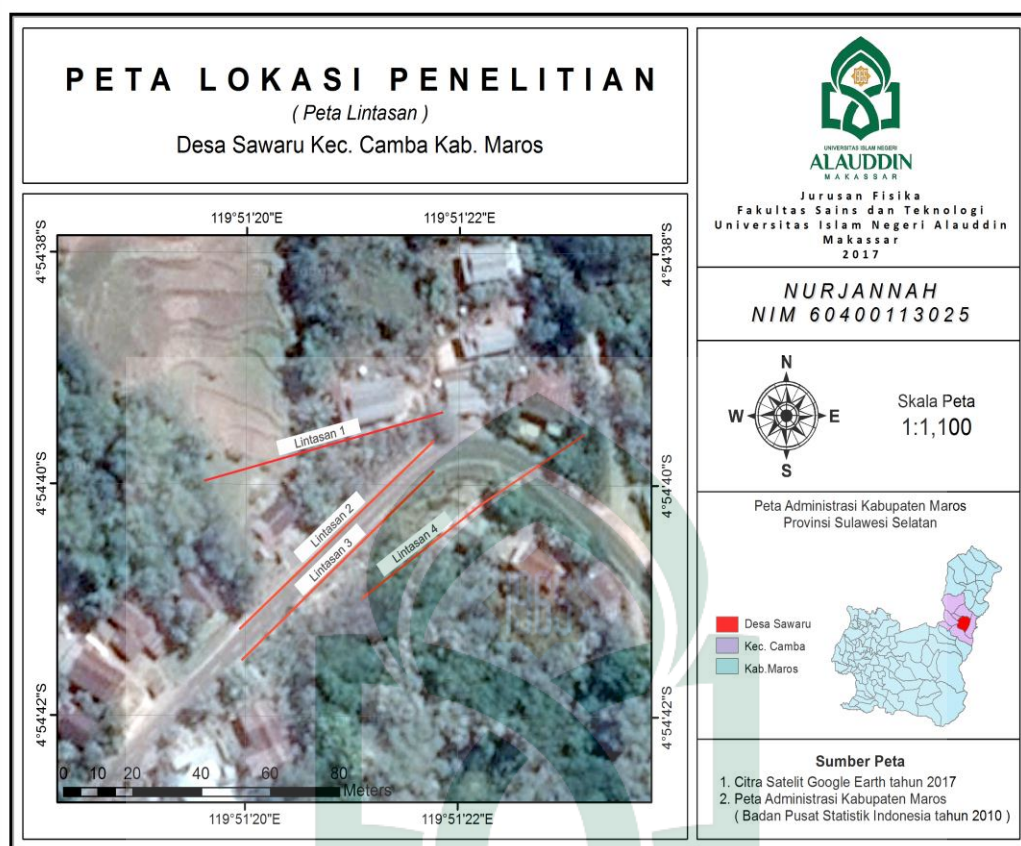
HASIL PENELITIAN DAN PEMBAHASAN

4.1 Hasil Penelitian

Lokasi penelitian terletak di daerah Desa Sawaru, Kecamatan Camba, Kabupaten Maros, dengan kondisi topografi wilayah adalah daerah curam dan berada di jalan poros yang menghubungkan kabupaten Maros dan kabupaten Bone. Penelitian mengenai penentuan bidang gelincir pada daerah rawan longsor ini dilakukan dengan menggunakan metode geolistrik.

Metode geolistrik konfigurasi wenner ini didasarkan pada nilai tahanan jenis batuan di bawah permukaan. Berdasarkan konfigurasi wenner yang digunakan yaitu metode *mapping*. Metode resistivitas *mapping* merupakan metode resistivitas yang bertujuan mempelajari variasi resistivitas lapisan bawah permukaan secara horizontal (Wijaya, 2015).

Kelebihan dari konfigurasi wenner yaitu selain dapat mengukur secara *mapping* juga dapat mengukur secara *sounding* maka digunakan pada penelitian ini untuk identifikasi daerah longsor. Jumlah lintasan yang digunakan pada penelitian ini sebanyak 4 lintasan dengan jumlah elektroda tiap lintasan yaitu 16 elektroda dengan spasi elektroda terkecil 5 meter. Panjang lintasan tiap lintasan yaitu 75 meter. Berikut Peta daerah lintasan yang ditunjukkan pada gambar 4.1.

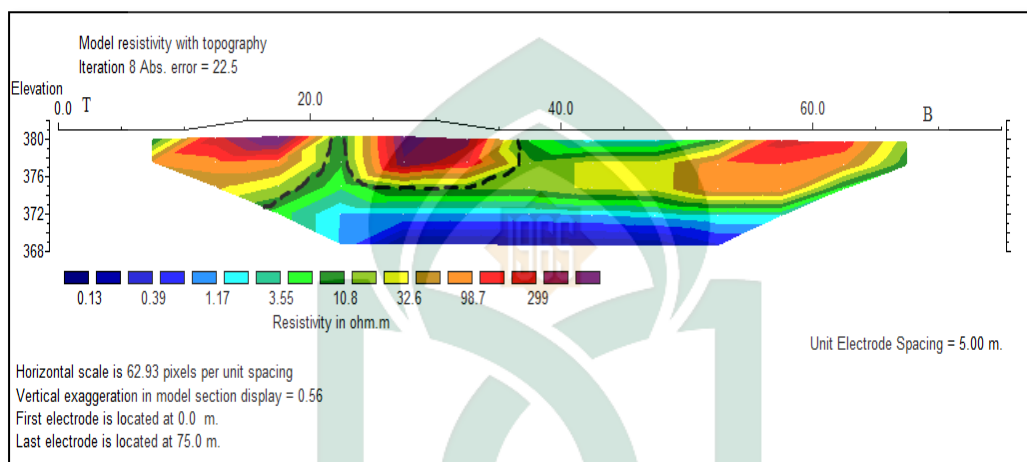


Gambar 4.1 Lokasi Lintasan Pengukuran Geolistrik Daerah Penelitian

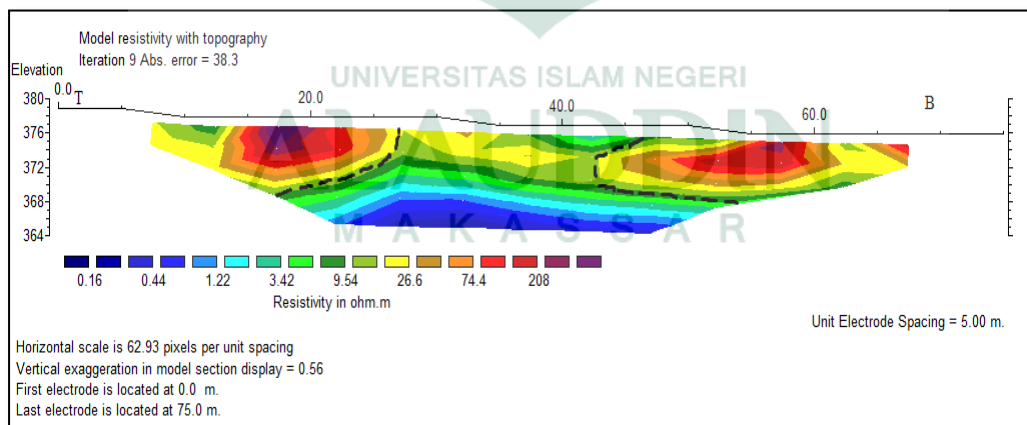
Lintasan 1 merupakan lintasan yang membentang dari arah timur dan barat dengan panjang lintasan 75 meter. Lintasan 1 membentang dari rumah warga sampai dengan persawahan. Lintasan 2 merupakan lintasan yang membentang dari arah timur dan barat dengan panjang lintasan 75 meter. Lintasan 2 membentang di sepanjang jalan begitu pula dengan lintasan 3 yang terbentang sepanjang 75 meter, sedangkan lintasan 4 membentang dari utara dan selatan, membentang sepanjang 75 meter yang berada di bawah badan jalan dan merupakan dataran rendah.

Ditinjau dari topografi, lintasan 1 dan 2 mempunyai topografi perbukitan sedangkan lintasan 3 dan 4 mempunyai topografi curam. Lintasan 1 dan 2 dipilih untuk membandingkan struktur batuan pada lintasan 3 dan 4, dimana lintasan 3 dan 4 merupakan zona longsor.

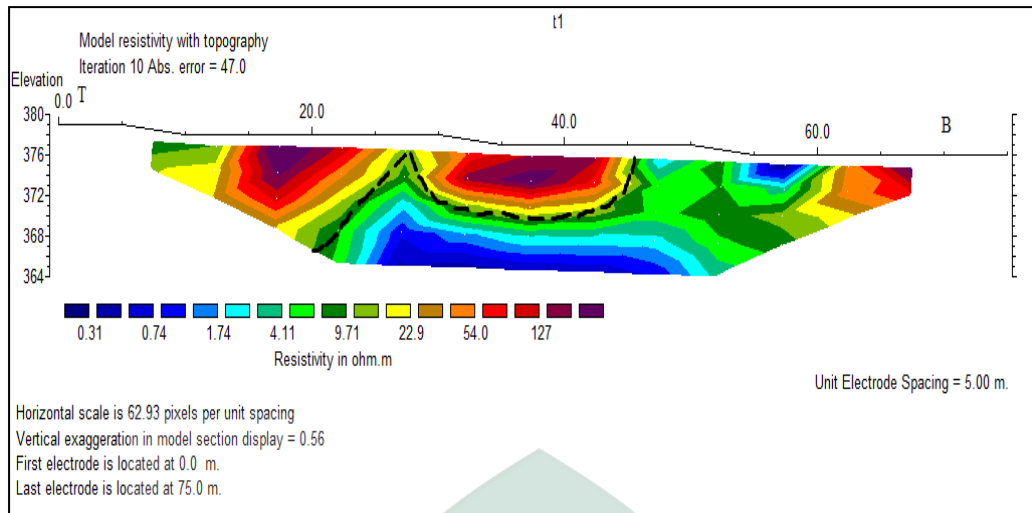
Dari hasil penelitian, maka didapat penampang 2 dimensi seperti pada gambar dibawah ini:



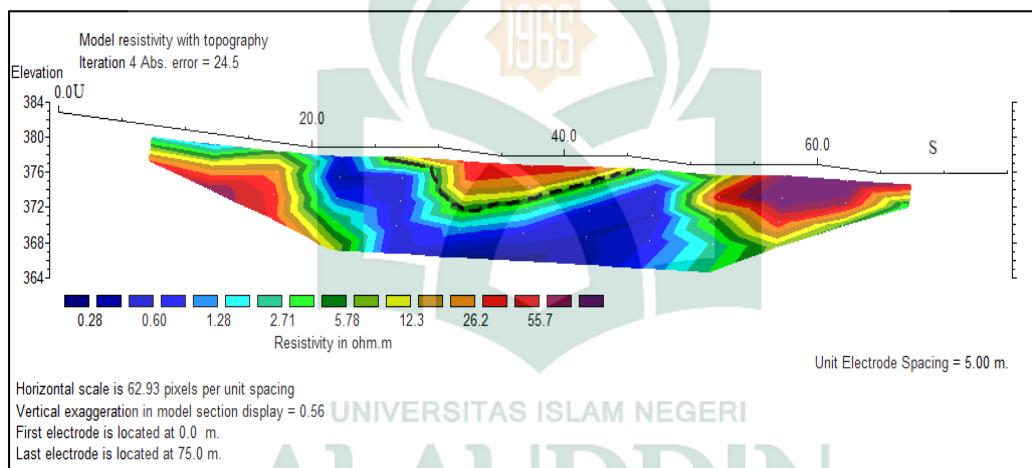
Gambar 4.2. Penampang Lintasan 1



Gambar 4.3. Penampang Lintasan 2



Gambar 4.4. Penampang Lintasan 3



Gambar 4.5. Penampang Lintasan 4

Dari hasil penampang 2 dimensi didapatkan bahwa jenis batuan di bawah permukaan untuk 4 lintasan, memiliki struktur batuan yang hampir sama. Berikut ini tabel nilai resistivitas batuan untuk 4 lintasan.

Tabel 2.4. Tabel nilai resistivitas batuan untuk 4 lintasan.

No	Lintasan	Resistivitas (Ωm)	Lapisan
1	Lintasan 1	0.13 Ωm – 1.17 Ωm	Air tanah

		3.55 Ωm – 10.8 Ωm	Lempung, lanau
		32.6 Ωm – 98.7 Ωm	Aluvium, pasir
		299 Ωm	Endapan lava
2.	Lintasan 2	0.16 Ωm – 1.22 Ωm	Air tanah
		3.42 Ωm – 9.54 Ωm	Lempung
		26.6 Ωm – 74.4 Ωm	Aluvium, pasir
		208 Ωm	Lava, kerikil
3.	Lintasan 3	0.31 Ωm - 1.74 Ωm	Air tanah
		4.11 Ωm – 9.71 Ωm	Lempung, lanau
		22.9 Ωm – 54.0 Ωm	Aluvium, tufa vulkanik
		127 Ωm	Endapan lava
4.	Lintasan 4	0.28 Ωm – 1.28 Ωm	Air tanah
		2.71 Ωm – 5.78 Ωm	Lempung
		12.3 Ωm – 26.2 Ωm	Aluvium, pasir
		55.7 Ωm	Lanau, tufa vulkanik

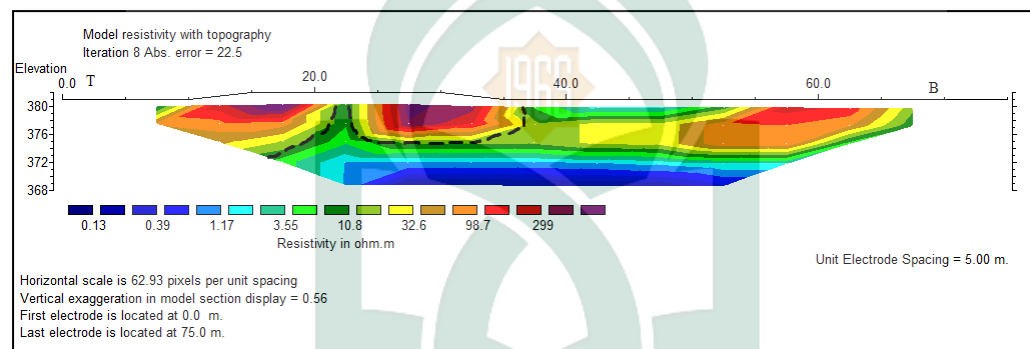
4.2 Pembahasan

Data hasil pengukuran berupa nilai resistivitas semu. Untuk mengetahui model penyebaran nilai resistivitas bawah permukaan daerah penelitian, maka dilakukan pengolahan data dengan menggunakan *software* Res2DINV dan menghasilkan model penampang 2 dimensi yang menunjukkan kedalaman dan

sebaran resistivitas sebenarnya. Hasil 2 dimensi ini didapatkan gambar penampang distribusi resistivitas bawah permukaan yang diteliti.

a. Analisis pada lintasan 1 (Pertama)

Hasil pengolahan untuk lintasan pertama, dengan lintasan sepanjang 75 meter, arah lintasan Barat-Timur. Pada titik 0 terletak pada koordinat $4^{\circ}54'37''$ LS dan $119^{\circ}51'21''$ BT, sedangkan pada titik 75 meter terletak pada koordinat $4^{\circ}54'39''$ LS dan $119^{\circ}51'19''$ BT. Hasil data topografi diperoleh dari GPS yang dimasukkan kedalam data file akan menghasilkan Gambar 4.6 sebagai berikut.



Gambar 4.6. Lintasan 1 Hasil Inversi Res2dinv dengan Topografi

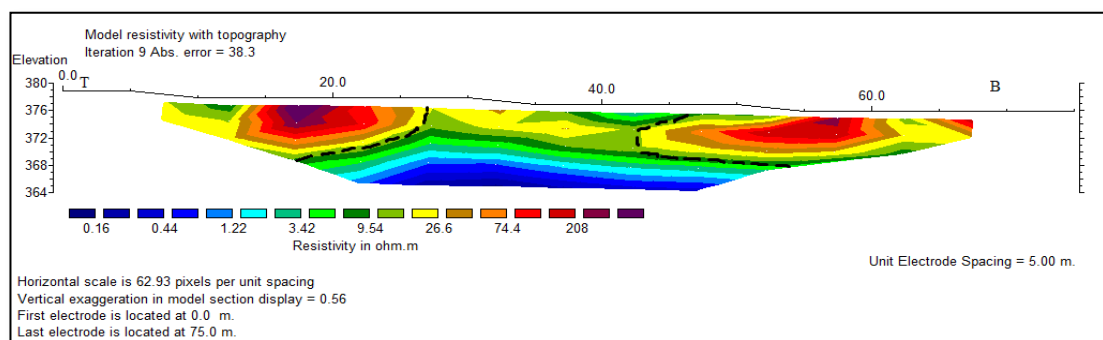
Pada nilai resistivitas antara $0.13 \Omega\text{m}$ - $1.17 \Omega\text{m}$ diinterpretasikan sebagai air tanah. Sedangkan pada nilai resistivitas antara $3.55 \Omega\text{m}$ - $10.8 \Omega\text{m}$ diinterpretasikan sebagai batuan lempung (*clay*) dan lanau. Pada nilai resistivitas antara $32.6 \Omega\text{m}$ - $98.7 \Omega\text{m}$ diinterpretasikan sebagai batuan aluvium dan kerikil dan nilai resistivitas $299 \Omega\text{m}$ sebagai endapan lava. Interpretasi ini merujuk dari tabel 2.2 resistivitas Telford tahun 1990.

Pada kedalaman 5 meter pada nilai resistivitas $3.55 \Omega\text{m}$ - $10.8 \Omega\text{m}$ diinterpretasikan sebagai batuan lempung (*clay*) yang diidentifikasi sebagai bidang gelincir. Batuan lempung memiliki ikat antara butirannya yang lemah.

Material tanah jenis lempung memiliki formasi renggang (*Unconsolidates material*) sehingga relatif tidak stabil dan apabila ada gangguan terhadap strukturnya maka ikatan antara butirnya mudah lepas. dimana batuan lempung memiliki nilai permeabilitas 0,0005 sangat mudah meloloskan air, sedangkan porositasnya memiliki nilai 45%. Tahanan jenis suatu bahan tergantung pada porositas batuan serta jenis fluida pengisi pori-pori batuan tersebut. Sebuah batuan yang bersifat *porous* mudah terisi cairan sehingga butirannya mudah lepas. Pada penampang 2 dimensi lintasan 1 (Gambar 4.6), dari nilai interpretasi di bawah permukaan terdapat air tanah dengan nilai resistivitas $0.13 \Omega\text{m} - 1.17 \Omega\text{m}$ pada kedalaman 8 meter yang diindikasikan daerah lemah karena berada di bawah permukaan dan berada di atas batuan yang memiliki nilai resistivitas tinggi yang memberatkan lapisan yang berada di bawah dan dapat menyebabkan terjadinya longsor sewaktu-waktu karena beban berat dari atas permukaan.

b. Analisis pada lintasan 2 (Kedua)

Hasil pengolahan untuk lintasan kedua, dengan lintasan sepanjang 75 meter, arah lintasan Barat-Timur. Pada titik 0 terletak pada koordinat $4^{\circ}54'39''$ LS dan $119^{\circ}51'21''$ BT, sedangkan pada titik 75 meter terletak pada koordinat $4^{\circ}54'40''$ LS dan $119^{\circ}51'19''$ BT. Hasil data topografi diperoleh dari GPS yang dimasukkan kedalam data file akan menghasilkan Gambar 4.7 sebagai berikut.



Gambar 4.7. Lintasan 2 Hasil Inversi Res2dinv dengan Topografi

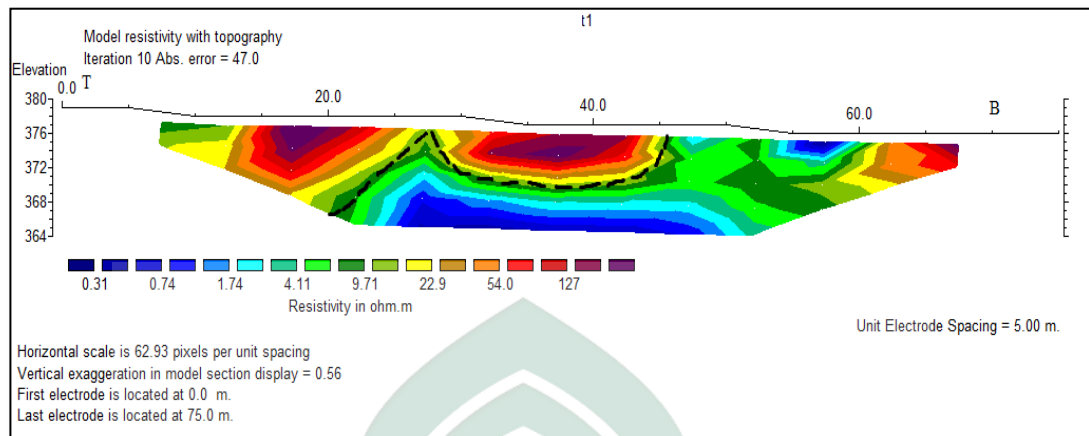
Pada nilai resistivitas $0.16 \Omega\text{m} - 1.22 \Omega\text{m}$ yang diinterpretasikan sebagai air tanah. Sedangkan nilai resistivitas $3.42 \Omega\text{m} - 9.54 \Omega\text{m}$ diinterpretasikan sebagai lempung (*clay*) pada kedalaman 5 meter - 8 meter yang diindikasikan sebagai zona bidang gelincir dibawah permukaan yang suatu waktu dapat merobohkan beban akibat tekanan gaya dari atas permukaan. Pada nilai resistivitas $26.6 \Omega\text{m} - 74.4 \Omega\text{m}$ diinterpretasikan sebagai batuan aluvium dan pasir sedangkan nilai resistivitas $208 \Omega\text{m}$ diinterpretasikan lava dan kerikil yang memberatkan lapisan yang berada di bawahnya yaitu batuan lempung. Jika batuan yang mempunyai nilai resistivitas rendah seperti batuan lempung (*clay*) tidak dapat lagi menahan beban dari atas permukaan maka sewaktu-waktu dapat menyebabkan longsor.

Pada penampang 2 dimensi pada lintasan 2 (Gambar 4.7) bidang gelincir ditandai dengan batuan lempung dimana bidang gelincir berada pada kedalaman 12 meter. Batuan lempung merupakan material dengan ikatan antara butiran yang lemah. Batuan lempung memiliki ikat antara butirannya yang lemah. Material tanah jenis lempung memiliki formasi renggang (*Unconsolidates material*) sehingga relatif tidak stabil dan apabila ada gangguan terhadap strukturnya maka ikatan antara butirnya mudah lepas.

c. Analisis pada lintasan 3 (Ketiga)

Hasil pengolahan untuk lintasan ketiga, dengan lintasan sepanjang 75 meter, arah lintasan Barat - Timur. Pada titik 0 terletak pada koordinat $4^{\circ}54'38''$ LS dan $119^{\circ}51'21''$ BT, sedangkan pada titik 75 meter terletak pada koordinat

4°54'37" LS dan 119°51'19" BT. Hasil data topografi diperoleh dari GPS yang dimasukkan kedalam data file akan menghasilkan Gambar 4.8 sebagai berikut.



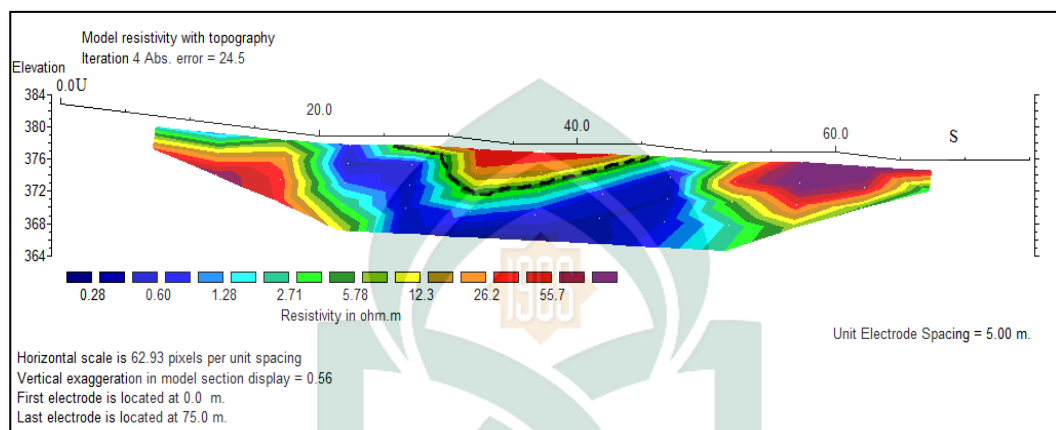
Gambar 4.8. Lintasan 3 Hasil Inversi Res2dinv dengan Topografi

Pada nilai interpretasi 0.31 Ω m - 1,74 Ω m diinterpretasikan sebagai air tanah. Sedangkan pada nilai resistivitas 4.11 Ω m - 9.71 Ω m diinterpretasikan sebagai batuan lempung (*clay*) dan lanau. Pada nilai resistivitas 22.9 Ω m – 54.0 Ω m diinterpretasikan sebagai batuan aluvium dan tufa vulkanik. Sedangkan pada nilai 127 diinterpretasikan sebagai endapan lava.

Pada penampang 2 dimensi lintasan 3 (Gambar 4.8), dari nilai interpretasi di bawah permukaan terdapat air tanah pada kedalam 11 meter yang merupakan zona lemah di bawah permukaan bidang longsor. Batuan lempung (*clay*) terdapat pada kedalaman 8 meter dimana diidentifikasi sebagai zona bidang gelincir yang sewaktu-waktu dapat mengalami longsor akibat gaya tekan yang sangat berat dari batuan yang berada di atasnya.

d. Analisis pada lintasan 4 (Keempat)

Hasil pengolahan untuk lintasan keempat, dengan lintasan sepanjang 75 meter, arah lintasan Barat-Timur. Pada titik 0 terletak pada koordinat $4^{\circ}54'39''$ LS dan $119^{\circ}51'39''$ BT, sedangkan pada titik 75 meter terletak pada koordinat $4^{\circ}54'40''$ LS dan $119^{\circ}51'20''$ BT. Hasil data topografi diperoleh dari GPS yang dimasukkan ke dalam data file akan dihasilkan gambar 4.9 sebagai berikut.



Gambar 4.9. Lintasan 4 Hasil Inversi Res2dinv dengan Topografi

Pendugaan bidang gelincir dengan metode geolistrik dapat digunakan untuk menentukan kedalaman bidang gelincir. Pada nilai resistivitas antara $0.28 \Omega\text{m} - 1.28 \Omega\text{m}$ diinterpretasikan sebagai air tanah yang merupakan zona lemah karena air tanah berada di dasar permukaan, di bawah batuan yang memiliki resistivitas tinggi. Pada nilai resistivitas antara $12.3 \Omega\text{m} - 26.2 \Omega\text{m}$ diinterpretasikan sebagai lapisan aluvium dan pasir. Sedangkan nilai resistivitas antara $2.71 \Omega\text{m} - 5.78 \Omega\text{m}$ diinterpretasikan sebagai batu lempung. Interpretasi ini merujuk dari tabel 2.2 resistivitas Telford, 1990.

Pada penampang 2 dimensi lintasan 4 (Gambar 4.9), terdapat lapisan lempung dengan nilai resistivitas antara $2.71 \Omega\text{m} - 5.78 \Omega\text{m}$ pada kedalaman 4 meter - 8 meter yang diduga sebagai zona lemah yang merupakan bidang gelincir,

karena material tanah jenis lempung memiliki formasi renggang (*Unconsolidates material*) sehingga relatif tidak stabil dan apabila ada gangguan terhadap strukturnya maka ikatan antara butirnya mudah lepas. Seperti pada tabel porositas dan permeabilitas batuan, dimana batuan lempung memiliki nilai permeabilitas 0,0005 sangat mudah meloloskan air, sedangkan porositasnya memiliki nilai 45%. Tahanan jenis suatu bahan tergantung pada porositas batuan serta jenis fluida pengisi pori-pori batuan tersebut. Batuan yang bersifat *porous* yang berisi air lebih konduktif dan memiliki nilai tahanan jenis yang rendah. Sebuah batuan yang bersifat *porous* tinggi mudah terisi cairan sehingga butirannya mudah lepas.

Jika intensitas hujan tinggi, maka air akan terakumulasi ke lapisan tersebut. Dan pada nilai resistivitas 55.7 Ωm diinterpretasikan sebagai lapisan lanau dan tufa vulkanik yang memberatkan batuan yang berada di bawah permukaan yaitu batuan lempung. Longsoran tipe ini yaitu longsoran rotasi karena dilihat dari penampang 2 dimensi pada gambar 4.2, zona longsoran berbentuk cekung, begitu pula pada lintasan 2 sampai lintasan 4, dimana longsoran rotasi adalah bergerak massa tanah dan batuan pada bidang gelincir berbentuk cekung.

Air tanah yang berada di lapisan dasar merupakan zona lemah karena air dapat mengakibatkan munculnya pori-pori atau rongga-rongga dalam tanah yang mengakibatkan air menguap. Kadar air yang meningkat dapat menurunkan kekuatan geser tanah, sehingga mempercepat terjadinya longsor. Lintasan pertama berada depan rumah warga, jika sewaktu-waktu terjadi gerakan tanah maka dapat menimpa rumah warga.

Dari hasil analisis dan interpretasi dari 4 lintasan, dimana dari empat lintasan mempunyai struktur batuan yang hampir sama, yaitu lintasan terdiri dari batuan lempung, lanau, kerikil batuan aluvium, tufa vulkanik, endapan lava dan terdapat air tanah di bawah permukaan dan bidang gelincir terdapat pada kedalaman 4 meter – 8 meter yang ditandai dengan batuan lempung (*clay*).



BAB V

PENUTUP

V.1 Kesimpulan

Berdasarkan hasil penelitian yang dilakukan maka dapat disimpulkan sebagai berikut:

1. Struktur batuan daerah rawan longsor kecamatan Camba, kabupaten Maros berdasarkan metode geolistrik konfigurasi wenner dari empat lintasan terdiri dari batuan lempung, lanau, kerikil batuan aluvium, tufa vulkanik, endapan lava dan terdapat air tanah di bawah permukaan.
2. Hasil interpretasi pada penampang 2 dimensi menunjukkan bahwa bidang gelincir pada lintasan satu ditandai pada lapisan lempung pada kedalaman 4 meter - 8 meter yang merupakan zona lemah. Pada lintasan kedua titik longsor yang merupakan bidang gelincir berada pada kedalaman 5 meter yang ditandai dengan batuan lempung (*clay*). Dan pada lintasan tiga dan empat batuan lempung (*clay*) berada pada kedalaman 5 meter sampai 8 meter yang merupakan bidang gelincir.

V.2 Saran

Saran pada penelitian ini adalah sebagai berikut;

1. Sebaiknya untuk penelitian selanjutnya, konfigurasi yang digunakan yaitu konfigurasi wenner-schlumberger sehingga kedalaman batuan dapat diketahui lebih dalam.
2. Sebaiknya membangun dinding penahan tanah pada bagian tebing lereng untuk mencegah terjadinya longsor.

DAFTAR PUSTAKA

- Abidin, Khuzainal. “ *Konsep Pemeliharaan Lingkungan Hidup Dalam Perspektif Islam (Studi Komparasi Antara Yusuf Al- Qardhawi dengan Mujiyono Abdillah)*” (Skripsi Sarjana Fisika Fakultas Ushuluddin Institut Islam Negeri Walisongo Semarang). Semarang, 2004), h.31-50
- Ambarsari Eka. 2013. *Aplikasi Metode Geolistrik Untuk Identifikasi Intrusi Air Laut Studi Kasus Semarang Utara*. Semarang: Universitas Negeri Semarang.
- Arif, Firman Nur. 2015. *Analisis Kerawanan Tanah Longsor untuk Menentukan Mitigasi Bencana di Kecamatan Kemiri Kabupaten Purworejo*. Semarang: Universitas Negeri Semarang.
- Azhar dan G. Handayani. 2004. Penerapan *Metode Geolistrik Konfigurasi Schlumberger untuk Penentuan Tahanan Jenis Batubara*. *Jurnal NaturIndonesia*, 6/2: 122-126. Pekanbaru: Universitas Riau.
- Badan Penanggulangan Bencana Daerah Maros. 2015. *Peta Rawan Longsor Kota Maros*.
- BPNP. 2009. *Angka Kejadian Longsor di Indonesia*. (online), (<http://www.bpn.go.id/uploads/pubs/559.pdf>). Diakses tanggal 20 Desember 2016.2009.
- Budiman. 2011. *Geologi Dan Studi Kestabilan Lereng Daerah Dlingo Dan Sekitarnya Kecamatan Dlingo Kabupaten Bantul Daerah Istimewa Yogyakarta*. Yogyakarta: Universitas Pembangunan Nasional “Veteran”.
- Darsono. 2012. *Jurnal Vol. 2 No.1. Identifikasi Bidang Gelincir Pemicu Bencana Tanah Longsor dengan Metode Resistivitas 2 D di Desa Pablengan Kecamatan Matesin Kabupaten Karanganyar*. Universitas Sebelas Maret Surakarta.
- Dinas Pertambangan dan Energi Kabupaten Maros. 2010
- Dona, Irepia Refa. 2015. *Identifikasi Bidang Gelincir Menggunakan Metode Geolistrik Tahanan Jenis Konfigurasi Schlumberger di Bukit Lantiak Kecamatan Padang Selatan*. Fakultas matematika dan ilmu pengetahuan alam : Universitas Negeri Padang.
- ESDM. 2007. *Pengenalan Gerakan Tanah*. www.esdm.go.id/publikasi/lainlain/doc_download/489.pengenalan-gerakan-tana.html. Diakses pada tanggal 23 Juli 2017 pukul 13.20 WIB.

- Gassing, A. Qadir. 2005. *Fiqih Lingkungan: Telaah Kritis Tentang Penerapan Hukum Taklifi Dalam Pengelolaan Lingkungan Hidup*. Pidato Pengukuhan Guru Besar UIN Alauddin di Makassar pada tanggal 18 Februari 2005, h.2-3
- Hudzaifi. 2016. *Al-Qur'an dan Terjemahannya*, Medika Departemen Agama RI: Bandung.
- Ibnu, S. 2013. Ringkasan Buku Van Zuidam.pdf. Diakses pada 16 juni 2017.
- Juandi. 2008. *Analisis Air Bawah Tanah Dengan Metode Geolistrik*. Fmipa. Universitas Riau.
- Keputusan Menteri Energi dan Sumber Daya Mineral No 1452 /MEM/2000 *Tentang Pedoman Teknis Pemetaan Zona Kerentanan Gerakan Tanah*.
- Linsley.R. k., Joseph. B. F., dan Djoko. S. (ed).1989. *Teknik Sumber Daya Air*. Jakarta: Erlangga.
- Loke. 1999. M.H. *RES2DINV Rapid 2D Resistivity & IP Inversion (Wenner, Dipole-Dipole, Pole-Pole, Pole-Dipole, Schlumberger, Rectangular Arrays) on Land Underwater and Cross-borehole Surveys;Software Manual Ver.3.3 for windows 3.1, 95 and NT*. Malaysia: Penang.
- M. Quraish Shihab. 2002. *Tafsir Al-Misbah*, Jakarta: Lentera Hati. hal 75-76
- Meric O, Garambois S, Jongmans D, Wathelet M, Chatelain JL, Vengeon JM. *Application of geophysical methods for the investigation of the large gravitational mass movement of Séchilienne. France. Can Geotech.* 42:1105–1115.2005.
- Mimin, I., Taufik R. R., dan Nanang D. A. 2011. *Identifikasi Bawah Permukaan di Wilayah Desa Kayuambon, Lembang, Kabupaten Bandung Barat*. Prosiding Simposium Nasional Inovasi Pembelajaran dan Sains: Bandung, Indonesia.
- Panissod C, Benderitter MD, Tabbagh Y. 2001. *On the Effectiveness of 2D Electrical Inversion Results: An Agriculture Case Study. Geophysical Prospecting.* 49:570-576. Park SG, Asano S, Matsuura S, Okamoto T, Kim JH. 2005. *Geoelectrical laboratory and field studies of groundwater occurrence in a landslide area: a case study from Japan. Exploration Geophysics.* 36:86–91.

- Perrone, A., Sabatino, P., and Vincenzo, L. 2012. *Electrical Resistivity Tomographies For Landslide Monitoring: a Review*, *Berichte Geol. B.-A.93*.ISSN 1017-8880.
- Prayogo S & Utama W. 2003. *Survei resistivitas 3-dimensi untuk menentukan distribusi tahanan jenis tanah bawah permukaan daerah rawan longsor di desa Lumbang Rejo. Prigen. Jawa Timur. The Proc Joint Convention HAGI-IAGI*. Jakarta. P 759.
- Qardhawi, Yusuf. 1999. *As – Sunnah Sebagai Sumber IPTEK dan Peradaban*, Jakarta: Gema Insani Press.
- Rosid, S. Dan J. Muhammad. 2008. *Pemetaan Hidrogeologi Dengan Menggunakan Metode Geolistrik. Prosiding*. Jakarta: Universitas Indonesia.
- Samsuddin. 2009. *Pengantar Geologi Dasar*. Makassar: Universitas Hasanuddin.
- Santoso, D. 2002. *Pengantar Teknik Geofisika*. Bandung:Departemen Teknik Geofisika ITB.
- Sri,C.W., dkk. 2011. *Aplikasi Metode Tahanan Jenis 2D Untuk Mengidentifikasi Potensi Daerah Rawan Longsor di Gunung Kupang*. Banjarbaru. *Jurnal Fisika FLUK*, Vol.8 No.2.hal 95-103.
- Supeno dkk. 2008. *Penentuan Struktur Bawah Permukaan Daerah Rawan Longsor Berdasarkan Interpretasi Data Resistivitas*. Jember: Universitas Jember.
- Telford, M. W., L. P. Geldard, R. E. Sheriff, dan A. Keys. 1982. *Applied Geophysic*.London: Cambridge University Press.
- Varnes, D. J. 1978. *Slope Movement and Typea of Processes in Landslides, Analysis and Control Transportation Research Board, National Academy of Sciences*, Washington D.C.
- Wahyono SC, Priyantari N, Jaya MS, Utama W. 2003. *Interpretasi bawah permukaan 2-d dengan metode geolistrik pada daerah rawan bencana erakan tanah di desa Lumbang Rejo. Prigen. Pasuruan. Prosid Sem Nas Pascasarjana III-2003*. Surabaya.
- Wesley, L.D. 1977. *Mekanika Tanah, Badan Penerbit Pekerjaan Umum*. Jakarta Selatan.
- Wijaya. 2015. *Aplikasi Metode Geolistrik Resistivitas Konfigurasi Wenner Untuk Menentukan Struktur Tanah di Halaman Belakang SCC ITS Surabaya*. Surabaya: Institut Teknologi Sepuluh November.

- Yuristina. 2015. *Pendugaan Persebaran Air Bawah Permukaan Metode Geolistrik Konfigurasi Wenner-Schlumberger Di Desa Tanggunharjo Kabupaten Grobogan*. Semarang: Universitas Negeri Semarang.
- Yusuf, Nanang Firman Safari. 2008. *Kajian Pemanfaatan Ruang Dalam Kaitanya Bencana Tanah Longsor di Kabupaten Sinjai Sulawesi Selatan*. Bogor: Institut Pertamina Bogor.
- Zulfiadi, Z. 2011 *Analisis Kestabilan Lereng Tanah*. Bandung: Universitas Padjajaran.



RIWAYAT HIDUP



Nur Janna lahir pada tanggal 15 April 1995 di Makale, Sulawesi Selatan. Merupakan anak kedua dari pasangan ayahanda Poko dan ibunda Nur Lina. Pada tahun 2001, penulis menempuh pendidikan SD di SDN 215 Makale, Tana Toraja. Selanjutnya pada tahun 2007, penulis menempuh pendidikan di SMP Kristen Makale dan menyelesaikan pada tahun 2010. Dan selanjutnya penulis menyelesaikan pendidikan di SMAN 1 Makale pada tahun 2013 dan pada tahun itu pula penulis terdaftar sebagai Mahasiswa Jurusan Fisika Fakultas Sains dan Teknologi, Universitas Islam Negeri Alauddin Makassar. Selama menjadi mahasiswa, penulis aktif diberbagai organisasi yaitu pada tahun 2014-2015 sebagai Koordinator Keilmuan Ldf (Lembaga Dakwah Fakultas) Ulil Albaab, pada tahun 2015 -2016 sebagai anggota LPPM (Lembaga Penelitian dan Penalaran Mahasiswa) Alkindi Uin Alauddin Makassar. Pada tahun 2016 sebagai Koordinator Media HMJ Fisika Uin Alauddin Makassar, pada tahun 2016 Sebagai bendahara Himpunan Mahasiswa Geofisika (HMGI) Wilayah V Indonesia Timur. Pada tahun 2016 sebagai anggota Komunitas Pemuda Pencinta Anak Panti. Selain itu, penulis juga aktif dalam bidang kepenulisan sastra dan telah menerbitkan buku.

LAMPIRAN 1

Hasil Penelitian



UNIVERSITAS ISLAM NEGERI
ALAUDDIN
M A K A S S A R

HASIL PENGUKURAN DI LAPANGAN

Lintasan 1

Datum	Depth	Axis	A	M	N	B	SP	I:AB	V:MN	Time
1	1	1	1	2	3	4	0.827	1.292	0.422	13:56:27
2	1	2	2	3	4	5	0.998	1.291	1.737	13:56:38
3	1	3	3	4	5	6	2.242	1.287	1.157	13:56:49
4	1	4	4	5	6	7	1.607	1.291	1.427	13:57:00
5	1	5	5	6	7	8	1.799	1.289	0.978	13:57:10
6	1	6	6	7	8	9	1.895	1.285	1.04	13:57:21
7	1	7	7	8	9	10	2.213	1.29	2.87	13:57:32
8	1	8	8	9	10	11	2.474	1.291	2.713	13:57:43
9	1	9	9	10	11	12	1.381	1.286	1.65	13:57:54
10	1	10	10	11	12	13	0.891	1.293	1.222	13:58:04
11	1	11	11	12	13	14	2.257	1.292	2.971	13:58:15
12	1	12	12	13	14	15	0.234	1.293	0.818	13:58:26
13	1	13	13	14	15	16	0.413	1.293	0.825	13:58:37
14	2	1	1	3	5	7	2.81	1.292	0.514	13:58:48
15	2	2	2	4	6	8	0.146	1.291	0.471	13:58:59
16	2	3	3	5	7	9	0.714	1.282	0.796	13:59:11
17	2	4	4	6	8	10	0.782	1.294	1.02	13:59:22
18	2	5	5	7	9	11	1.538	1.293	3.79	13:59:33
19	2	6	6	8	10	12	2.045	1.293	2.275	13:59:44
20	2	7	7	9	11	13	1.389	1.293	1.458	13:59:55
21	2	8	8	10	12	14	0.575	1.293	0.651	14:00:05
22	2	9	9	11	13	15	3.392	1.29	3.591	14:00:16
23	2	10	10	12	14	16	1.561	1.295	0.439	14:00:27
24	3	1	1	4	7	10	1.305	1.294	1.429	14:00:38
25	3	2	2	5	8	11	0.378	1.295	0.506	14:00:49
26	3	3	3	6	9	12	1.383	1.291	1.83	14:01:00
27	3	4	4	7	10	13	0.77	1.295	0.819	14:01:11
28	3	5	5	8	11	14	0.931	1.295	0.928	14:01:22
29	3	6	6	9	12	15	0.854	1.294	0.846	14:01:33
30	3	7	7	10	13	16	1.673	1.293	0.47	14:01:44
31	4	1	1	5	9	13	3.099	1.295	3.132	14:01:55
32	4	2	2	6	10	14	0.971	1.295	0.963	14:02:07
33	4	3	3	7	11	15	0.983	1.291	0.981	14:02:18

34	4	4	4	8	12	16	0.757	1.296	0.758	14:02:29
35	5	1	1	6	11	16	1	1.296	0.996	14:02:41

Lintasan 2

Datum	Depth	Axis	A	M	N	B	SP	I:AB	V:MN	Time
1	1	1	1	2	3	4	2.851	1.292	1.571	15:18:15
2	1	2	2	3	4	5	1.199	1.291	1.411	15:18:26
3	1	3	3	4	5	6	2.062	1.29	0.462	15:18:37
4	1	4	4	5	6	7	1.718	1.289	0.567	15:18:49
5	1	5	5	6	7	8	1.919	1.291	0.523	15:19:00
6	1	6	6	7	8	9	0.669	1.293	0.505	15:19:11
7	1	7	7	8	9	10	0.994	1.294	0.498	15:19:22
8	1	8	8	9	10	11	2.595	1.295	0.7	15:19:32
9	1	9	9	10	11	12	2.324	1.294	0.897	15:19:43
10	1	10	10	11	12	13	0.807	1.294	0.482	15:19:54
11	1	11	11	12	13	14	2.919	1.296	1.009	15:20:05
12	1	12	12	13	14	15	0.896	1.295	0.48	15:20:16
13	1	13	13	14	15	16	0.196	1.295	2.432	15:20:27
14	2	1	1	3	5	7	2.175	1.294	2.904	15:20:37
15	2	2	2	4	6	8	0.049	1.294	0.734	15:20:48
16	2	3	3	5	7	9	0.914	1.293	0.985	15:21:00
17	2	4	4	6	8	10	0.722	1.293	0.863	15:21:11
18	2	5	5	7	9	11	0.287	1.293	2.394	15:21:22
19	2	6	6	8	10	12	1.324	1.293	0.405	15:21:33
20	2	7	7	9	11	13	1.754	1.295	3.775	15:21:44
21	2	8	8	10	12	14	1.234	1.296	2.573	15:21:55
22	2	9	9	11	13	15	1.825	1.296	3.543	15:22:06
23	2	10	10	12	14	16	0.495	1.297	0.782	15:22:17
24	3	1	1	4	7	10	0.64	1.297	1.266	15:22:28
25	3	2	2	5	8	11	2.091	1.295	3.073	15:22:39
26	3	3	3	6	9	12	0.498	1.295	1.867	15:22:50
27	3	4	4	7	10	13	0.742	1.294	0.824	15:23:01
28	3	5	5	8	11	14	0.834	1.294	0.873	15:23:13
29	3	6	6	9	12	15	0.839	1.293	0.852	15:23:24
30	3	7	7	10	13	16	3.925	1.296	0.452	15:23:35
31	4	1	1	5	9	13	1.523	1.297	0.465	15:23:46

32	4	2	2	6	10	14	0.857	1.296	0.868	15:23:57
33	4	3	3	7	11	15	1.012	1.296	1.011	15:24:08
34	4	4	4	8	12	16	0.608	1.297	0.613	15:24:19
35	5	1	1	6	11	16	0.92	1.299	0.919	15:24:30

Lintasan 3

Datum	Depth	Axis	A	M	N	B	SP	I:AB	V:MN	Time
1	1	1	1	2	3	4	2.519	1.283	0.445	15:52:35
2	1	2	2	3	4	5	0.483	1.286	0.784	15:52:46
3	1	3	3	4	5	6	1.448	1.282	0.468	15:52:57
4	1	4	4	5	6	7	1.069	1.284	0.437	15:53:08
5	1	5	5	6	7	8	2.301	1.285	0.551	15:53:19
6	1	6	6	7	8	9	0.172	1.283	2.795	15:53:30
7	1	7	7	8	9	10	1.114	1.287	0.492	15:53:41
8	1	8	8	9	10	11	2.175	1.287	0.687	15:53:52
9	1	9	9	10	11	12	3.001	1.285	0.788	15:54:03
10	1	10	10	11	12	13	0.928	1.287	0.609	15:54:14
11	1	11	11	12	13	14	0.669	1.289	0.69	15:54:25
12	1	12	12	13	14	15	1.654	1.288	0.776	15:54:35
13	1	13	13	14	15	16	0.503	1.29	2.909	15:54:46
14	2	1	1	3	5	7	1.731	1.29	2.111	15:54:57
15	2	2	2	4	6	8	0.307	1.287	0.839	15:55:08
16	2	3	3	5	7	9	0.538	1.285	0.683	15:55:19
17	2	4	4	6	8	10	1.522	1.285	0.629	15:55:30
18	2	5	5	7	9	11	0.068	1.286	3.405	15:55:41
19	2	6	6	8	10	12	1.378	1.282	0.583	15:55:52
20	2	7	7	9	11	13	2.864	1.289	0.645	15:56:03
21	2	8	8	10	12	14	1.923	1.289	0.406	15:56:14
22	2	9	9	11	13	15	0.933	1.288	3.955	15:56:25
23	2	10	10	12	14	16	3.759	1.29	0.851	15:56:36
24	3	1	1	4	7	10	1.318	1.286	2.418	15:56:47
25	3	2	2	5	8	11	0.684	1.289	2.268	15:56:57
26	3	3	3	6	9	12	0.422	1.285	2.061	15:57:09
27	3	4	4	7	10	13	3.924	1.286	0.619	15:57:20
28	3	5	5	8	11	14	0.843	1.289	0.941	15:57:31
29	3	6	6	9	12	15	0.914	1.287	0.974	15:57:42

30	3	7	7	10	13	16	3.353	1.291	0.432	15:57:53
31	4	1	1	5	9	13	2.218	1.287	3.349	15:58:05
32	4	2	2	6	10	14	0.759	1.292	0.807	15:58:16
33	4	3	3	7	11	15	0.88	1.29	0.894	15:58:27
34	4	4	4	8	12	16	0.654	1.288	0.671	15:58:38
35	5	1	1	6	11	16	0.919	1.289	0.915	15:58:50

Lintasan 4

Depth	Axis	A	M	N	B	SP	I:AB	V:MN	Time
1	1	1	2	3	4	0.179	1.16	0.331	12:23:32
1	2	2	3	4	5	1.005	1.281	0.949	12:23:43
1	3	3	4	5	6	2.823	1.265	2.587	12:23:54
1	4	4	5	6	7	3.035	1.017	3.017	12:24:05
1	5	5	6	7	8	1.749	1.278	1.599	12:24:16
1	6	6	7	8	9	0.498	1.264	0.881	12:24:27
1	7	7	8	9	10	2.574	1.27	2.738	12:24:38
1	8	8	9	10	11	1.175	1.283	1.408	12:24:48
1	9	9	10	11	12	1.111	1.284	0.96	12:24:59
1	10	10	11	12	13	2.558	1.286	3.026	12:25:10
1	11	11	12	13	14	0.809	1.283	1.527	12:25:21
1	12	12	13	14	15	2.421	1.284	3.188	12:25:32
1	13	13	14	15	16	0.312	1.286	1.209	12:25:43
2	1	1	3	5	7	3.72	1.275	3.983	12:25:53
2	2	2	4	6	8	1.242	1.284	0.85	12:26:04
2	3	3	5	7	9	0.54	1.286	0.519	12:26:15
2	4	4	6	8	10	2.324	1.131	2.311	12:26:26
2	5	5	7	9	11	1.08	1.282	1.031	12:26:37
2	6	6	8	10	12	0.986	1.267	0.943	12:26:48
2	7	7	9	11	13	0.543	1.273	0.586	12:26:59
2	8	8	10	12	14	1.726	1.282	1.765	12:27:09
2	9	9	11	13	15	1.502	1.284	1.594	12:27:20
2	10	10	12	14	16	3.09	1.287	3.22	12:27:31
3	1	1	4	7	10	0.667	1.287	0.56	12:27:42
3	2	2	5	8	11	1.147	1.287	1.35	12:27:53
3	3	3	6	9	12	1.541	1.288	0.406	12:28:04
3	4	4	7	10	13	1.685	1.133	0.453	12:28:14
3	5	5	8	11	14	0.492	1.279	0.482	12:28:26

3	6	6	9	12	15	1.077	1.264	1.067	12:28:37
3	7	7	10	13	16	2.248	1.273	2.33	12:28:48
4	1	1	5	9	13	0.718	1.288	0.747	12:28:59
4	2	2	6	10	14	0.663	1.285	0.651	12:29:10
4	3	3	7	11	15	0.854	1.285	0.843	12:29:21
4	4	4	8	12	16	3.489	1.13	3.585	12:29:31
5	1	1	6	11	16	0.686	1.288	0.68	12:29:42



LAMPIRAN 2

Analisis Data



UNIVERSITAS ISLAM NEGERI
ALAUDDIN
M A K A S S A R

HASIL PENGOLAHAN DATA DI EXCEL

Lintasan 1

Spasi (m)	A (A)	M (V)	N (V)	B (A)	Datum point (m)	Spasi datum (m)	Faktor Geometri	Resistivity (Ω m)
5	0	5	10	15	7.5	5	31.41592654	9.847871708
5	5	10	15	20	12.5	5	31.41592654	17.98324532
5	10	15	20	25	17.5	5	31.41592654	26.48506627
5	15	20	25	30	22.5	5	31.41592654	4.380222135
5	20	25	30	35	27.5	5	31.41592654	20.00967858
5	25	30	35	40	32.5	5	31.41592654	20.90320404
5	30	35	40	45	37.5	5	31.41592654	16.00020445
5	35	40	45	50	42.5	5	31.41592654	5.815961613
5	40	45	50	55	47.5	5	31.41592654	6.571449641
5	45	50	55	60	52.5	5	31.41592654	8.042282818
5	50	55	60	65	57.5	5	31.41592654	17.36143309
5	55	60	65	70	62.5	5	31.41592654	14.18940533
5	60	65	70	75	67.5	5	31.41592654	10.0103339
5	0	10	20	30	15	10	62.83185307	111.6578442
5	5	15	25	35	20	10	62.83185307	15.81746882
5	10	20	30	40	25	10	62.83185307	4.018886078
5	15	25	35	45	30	10	62.83185307	11.55639956
5	20	30	40	50	35	10	62.83185307	109.4333589
5	25	35	45	55	40	10	62.83185307	11.17658639
5	30	40	50	60	45	10	62.83185307	3.352975918
5	35	45	55	65	50	10	62.83185307	3.693132895
5	40	50	60	70	55	10	62.83185307	9.692665706
5	45	55	65	75	60	10	62.83185307	54.43809973
5	0	15	30	45	22.5	15	94.24777961	9.031471925
5	5	20	35	50	27.5	15	94.24777961	9.315610648
5	10	25	40	55	32.5	15	94.24777961	32.63265491
5	15	30	45	60	37.5	15	94.24777961	3.566132201
5	20	35	50	65	42.5	15	94.24777961	0.218334625
5	25	40	55	70	47.5	15	94.24777961	0.582675608
5	30	45	60	75	52.5	15	94.24777961	87.68760933
5	0	20	40	60	30	20	125.6637061	3.20224116
5	5	25	45	65	35	20	125.6637061	0.776300887
5	10	30	50	70	40	20	125.6637061	0.194676539

5	15	35	55	75	45	20	125.6637061	0.096962736
5	0	25	50	75	37.5	25	157.0796327	0.484813681

Lintasan 2

Spasi (m)	A (A)	M (V)	N (V)	B (A)	Datum Point (m)	spasi datum (m)	Faktor Geometri	Resistivity (Ω m)
5	0	5	10	15	7.5	5	31.41592654	31.12413774
5	5	10	15	20	12.5	5	31.41592654	5.158928292
5	10	15	20	25	17.5	5	31.41592654	38.96549028
5	15	20	25	30	22.5	5	31.41592654	28.05254573
5	20	25	30	35	27.5	5	31.41592654	33.97105611
5	25	30	35	40	32.5	5	31.41592654	3.984696018
5	30	35	40	45	37.5	5	31.41592654	12.04196257
5	35	40	45	50	42.5	5	31.41592654	45.97156817
5	40	45	50	55	47.5	5	31.41592654	34.64492053
5	45	50	55	60	52.5	5	31.41592654	7.890398859
5	50	55	60	65	57.5	5	31.41592654	46.29970655
5	55	60	65	70	62.5	5	31.41592654	10.09191154
5	60	65	70	75	67.5	5	31.41592654	54.24402451
5	0	10	20	30	15	10	62.83185307	35.39754319
5	5	15	25	35	20	10	62.83185307	33.26106596
5	10	20	30	40	25	10	62.83185307	3.450163626
5	15	25	35	45	30	10	62.83185307	6.851733398
5	20	30	40	50	35	10	62.83185307	102.3872501
5	25	35	45	55	40	10	62.83185307	44.65775172
5	30	40	50	60	45	10	62.83185307	98.05650584
5	35	45	55	65	50	10	62.83185307	64.9165519
5	40	50	60	70	55	10	62.83185307	83.29099041
5	45	55	65	75	60	10	62.83185307	13.9034247
5	0	15	30	45	22.5	15	94.24777961	45.48890519
5	5	20	35	50	27.5	15	94.24777961	71.46820044
5	10	25	40	55	32.5	15	94.24777961	99.63336701
5	15	30	45	60	37.5	15	94.24777961	5.972424983
5	20	35	50	65	42.5	15	94.24777961	2.840543589
5	25	40	55	70	47.5	15	94.24777961	0.947580151
5	30	45	60	75	52.5	15	94.24777961	252.5636872
5	0	20	40	60	30	20	125.6637061	102.5074796

5	5	25	45	65	35	20	125.6637061	1.066590098
5	10	30	50	70	40	20	125.6637061	0.096962736
5	15	35	55	75	45	20	125.6637061	0.484439885
5	0	25	50	75	37.5	25	157.0796327	0.120923505

Lintasan 3

spasi	A (A)	M (V)	N (V)	B (A)	Datum point (m)	Spasi datum (m)	Faktor Geometri	Resistivity(Ω m)
5	0	5	10	15	7.5	5	31.41592654	50.78459208
5	5	10	15	20	12.5	5	31.41592654	7.353183427
5	10	15	20	25	17.5	5	31.41592654	24.01529486
5	15	20	25	30	22.5	5	31.41592654	15.46329094
5	20	25	30	35	27.5	5	31.41592654	42.78433575
5	25	30	35	40	32.5	5	31.41592654	64.22757233
5	30	35	40	45	37.5	5	31.41592654	15.18314398
5	35	40	45	50	42.5	5	31.41592654	36.3223766
5	40	45	50	55	47.5	5	31.41592654	54.10384858
5	45	50	55	60	52.5	5	31.41592654	7.786853586
5	50	55	60	65	57.5	5	31.41592654	0.511818819
5	55	60	65	70	62.5	5	31.41592654	21.41551514
5	60	65	70	75	67.5	5	31.41592654	58.594356
5	0	10	20	30	15	10	62.83185307	18.50860788
5	5	15	25	35	20	10	62.83185307	25.97245209
5	10	20	30	40	25	10	62.83185307	7.089975638
5	15	25	35	45	30	10	62.83185307	43.66447066
5	20	30	40	50	35	10	62.83185307	163.0403528
5	25	35	45	55	40	10	62.83185307	38.96359063
5	30	40	50	60	45	10	62.83185307	108.164377
5	35	45	55	65	50	10	62.83185307	73.94563313
5	40	50	60	70	55	10	62.83185307	147.4206987
5	45	55	65	75	60	10	62.83185307	141.6395572
5	0	15	30	45	22.5	15	94.24777961	80.61629671
5	5	20	35	50	27.5	15	94.24777961	115.817287
5	10	25	40	55	32.5	15	94.24777961	120.2117594
5	15	30	45	60	37.5	15	94.24777961	242.2153278
5	20	35	50	65	42.5	15	94.24777961	7.165463461
5	25	40	55	70	47.5	15	94.24777961	4.393835879

5	30	45	60	75	52.5	15	94.24777961	213.2438143
5	0	20	40	60	30	20	125.6637061	110.4317418
5	5	25	45	65	35	20	125.6637061	4.668620662
5	10	30	50	70	40	20	125.6637061	1.36379216
5	15	35	55	75	45	20	125.6637061	1.658604817
5	0	25	50	75	37.5	25	157.0796327	0.487446494

Lintasan 4

Spasi (m)	A (A)	M (V)	N (V)	B (A)	Datum point (m)	Datum level	Spasi (m)	Faktor geometri	Resistiviti (Ωm)
5	0	5	10	15	7.5	-1	5	31.41592654	4.1165697
5	5	10	15	20	12.5	-1	5	31.41592654	1.3733738
5	10	15	20	25	17.5	-1	5	31.41592654	5.860995
5	15	20	25	30	22.5	-1	5	31.41592654	0.5560341
5	20	25	30	35	27.5	-1	5	31.41592654	3.6873153
5	25	30	35	40	32.5	-1	5	31.41592654	9.5192246
5	30	35	40	45	37.5	-1	5	31.41592654	4.0568598
5	35	40	45	50	42.5	-1	5	31.41592654	5.7053086
5	40	45	50	55	47.5	-1	5	31.41592654	3.6945521
5	45	50	55	60	52.5	-1	5	31.41592654	11.432857
5	50	55	60	65	57.5	-1	5	31.41592654	17.581165
5	55	60	65	70	62.5	-1	5	31.41592654	18.766367
5	60	65	70	75	67.5	-1	5	31.41592654	21.912975
5	0	10	20	30	15	-2	10	62.83185307	12.96061
5	5	15	25	35	20	-2	10	62.83185307	19.18231
5	10	20	30	40	25	-2	10	62.83185307	1.0260256
5	15	25	35	45	30	-2	10	62.83185307	0.7222052
5	20	30	40	50	35	-2	10	62.83185307	2.4015295
5	25	35	45	55	40	-2	10	62.83185307	2.1324149
5	30	40	50	60	45	-2	10	62.83185307	2.1223642
5	35	45	55	65	50	-2	10	62.83185307	1.9114214
5	40	50	60	70	55	-2	10	62.83185307	4.5019708
5	45	55	65	75	60	-2	10	62.83185307	6.3466518
5	0	15	30	45	22.5	-3	15	94.24777961	7.835674
5	5	20	35	50	27.5	-3	15	94.24777961	14.865811
5	10	25	40	55	32.5	-3	15	94.24777961	83.052197
5	15	30	45	60	37.5	-3	15	94.24777961	102.48302

5	20	35	50	65	42.5	-3	15	94.24777961	0.7368865
5	25	40	55	70	47.5	-3	15	94.24777961	0.7456312
5	30	45	60	75	52.5	-3	15	94.24777961	6.0709489
5	0	20	40	60	30	-4	20	125.6637061	2.8293847
5	5	25	45	65	35	-4	20	125.6637061	1.1735132
5	10	30	50	70	40	-4	20	125.6637061	1.0757204
5	15	35	55	75	45	-4	20	125.6637061	10.675855
5	0	25	50	75	37.5	-5	25	157.0796327	0.7317374

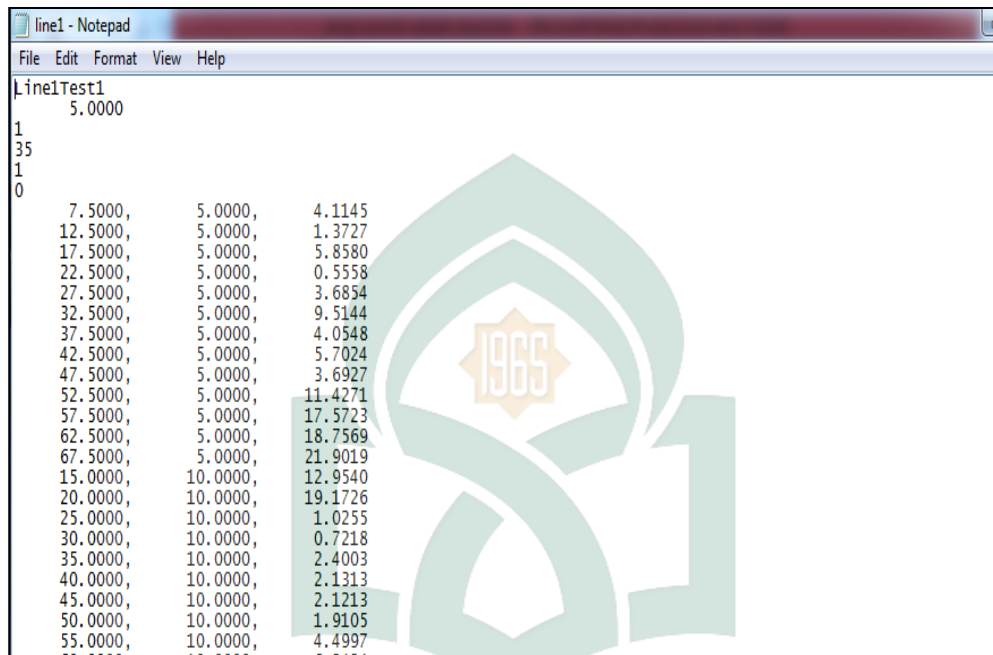
ELEVASI LINTASAN

line	Elektroda	Longitude			Latitude			Jarak	elevasi
		Derajat	Menit	Detik	Derajat	Menit	Detik		
2	1	4	54	39.71	119	51	21.61	0	383
	2	4	54	39.72	119	51	22.67	5	382
	3	4	54	39.82	119	51	22.34	10	381
	4	4	54	39.9	119	51	22.17	15	380
	5	4	54	39.93	119	51	22.05	20	379
	6	4	54	39.95	119	51	21.88	25	379
	7	4	54	40	119	51	21.72	30	379
	8	4	54	40.08	119	51	21.58	35	378
	9	4	54	40.17	119	51	21.45	40	378
	10	4	54	40.29	119	51	21.32	45	378
	11	4	54	40.41	119	51	21.22	50	377
	12	4	54	40.54	119	51	21.1	55	377
	13	4	54	40.66	119	51	21	60	377
	14	4	54	40.79	119	51	20.88	65	376
	15	4	54	40.86	119	51	20.76	70	376
	16	4	54	40.96	119	51	20.62	75	376
2	1	4	54	39.38	119	51	21.5	0	381
	2	4	54	39.43	119	51	21.34	5	381
	3	4	54	39.45	119	51	21.19	10	381
	4	4	54	39.44	119	51	21.02	15	382
	5	4	54	39.49	119	51	20.87	20	382
	6	4	54	39.52	119	51	20.7	25	382
	7	4	54	39.56	119	51	20.52	30	382
	8	4	54	39.56	119	51	20.31	35	381
	9	4	54	39.57	119	51	20.14	40	381
	10	4	54	39.65	119	51	19.98	45	381

	11	4	54	39.68	119	51	19.81	50	381
	12	4	54	39.75	119	51	19.71	55	381
	13	4	54	39.81	119	51	19.6	60	381
	14	4	54	39.86	119	51	19.48	65	381
	15	4	54	39.93	119	51	19.37	70	381
	16	4	54	40	119	51	19.28	75	381
3	1	4	54	39.63	119	51	21.24	0	379
	2	4	54	39.72	119	51	21.13	5	379
	3	4	54	39.83	119	51	21	10	378
	4	4	54	39.94	119	51	20.89	15	378
	5	4	54	40.06	119	51	20.77	20	378
	6	4	54	40.16	119	51	20.65	25	378
	7	4	54	40.27	119	51	20.53	30	378
	8	4	54	40.38	119	51	20.41	35	377
	9	4	54	40.49	119	51	20.28	40	377
	10	4	54	40.6	119	51	20.16	45	377
	11	4	54	40.71	119	51	20.05	50	377
	12	4	54	40.83	119	51	19.93	55	376
	13	4	54	40.93	119	51	19.81	60	376
	14	4	54	41.04	119	51	19.69	65	376
	15	4	54	41.15	119	51	19.57	70	376
	16	4	54	41.26	119	51	19.45	75	376
4	1	4	54	40.01	119	51	21.22	0	379
	2	4	54	40.12	119	51	21.1	5	379
	3	4	54	40.22	119	51	20.97	10	378
	4	4	54	40.33	119	51	20.85	15	378
	5	4	54	40.46	119	51	20.73	20	378
	6	4	54	40.54	119	51	20.62	25	378
	7	4	54	40.68	119	51	20.49	30	378
	8	4	54	40.78	119	51	20.37	35	377
	9	4	54	40.87	119	51	20.25	40	377
	10	4	54	41	119	51	20.1	45	377
	11	4	54	41.08	119	51	20.01	50	377
	12	4	54	41.19	119	51	19.88	55	376
	13	4	54	41.3	119	51	19.76	60	376
	14	4	54	41.41	119	51	19.64	65	376
	15	4	54	41.52	119	51	19.51	70	376
	16	4	54	41.62	119	51	19.39	75	376

PENGOLAHAN DATA DI NOTEPAD

1. Lintasan 1



```
line1 - Notepad
File Edit Format View Help
line1Test1
5.0000
1
35
1
0
7.5000, 5.0000, 4.1145
12.5000, 5.0000, 1.3727
17.5000, 5.0000, 5.8580
22.5000, 5.0000, 0.5558
27.5000, 5.0000, 3.6854
32.5000, 5.0000, 9.5144
37.5000, 5.0000, 4.0548
42.5000, 5.0000, 5.7024
47.5000, 5.0000, 3.6927
52.5000, 5.0000, 11.4271
57.5000, 5.0000, 17.5723
62.5000, 5.0000, 18.7569
67.5000, 5.0000, 21.9019
15.0000, 10.0000, 12.9540
20.0000, 10.0000, 19.1726
25.0000, 10.0000, 1.0255
30.0000, 10.0000, 0.7218
35.0000, 10.0000, 2.4003
40.0000, 10.0000, 2.1313
45.0000, 10.0000, 2.1213
50.0000, 10.0000, 1.9105
55.0000, 10.0000, 4.4997
```

2. Lintasan 2

```

line2
5
1
35
1
0
7.5 5 9.847871708
12.5 5 17.98324532
17.5 5 26.48506627
22.5 5 4.380222135
27.5 5 20.00967858
32.5 5 20.90320404
37.5 5 16.00020445
42.5 5 5.815961613
47.5 5 6.571449641
52.5 5 8.042282818
57.5 5 17.36143309
62.5 5 14.18940533
67.5 5 10.0103339
15 10 111.6578442
20 10 15.81746882
25 10 4.018886078
30 10 11.55639956
35 10 109.4333589
40 10 11.17658639
45 10 3.352975918
50 10 3.693132895
55 10 9.692665706
60 10 54.43800973

```

3. Lintasan 3

```

line3
5
1
35
1
0
7.5 5 26.72916826
12.5 5 5.276703057
17.5 5 36.84342513
22.5 5 28.5065917
27.5 5 29.12314929
32.5 5 17.33376803
37.5 5 10.02480264
42.5 5 36.38402655
47.5 5 35.43424272
52.5 5 3.241519185
57.5 5 48.41462167
62.5 5 5.430815207
67.5 5 54.08897119
15 10 35.6534236
20 10 16.03698965
25 10 3.607104055
30 10 6.829549247
35 10 102.8512102

```

4. Lintasan 4

line4test1 - Notepad

File Edit Format View Help

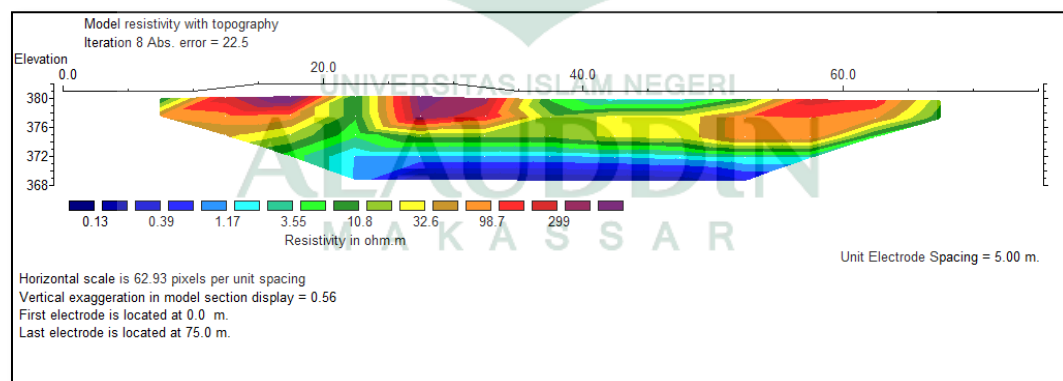
```

line4test1
5
1
35
1
0
7.5 5 50.78459208
12.5 5 7.353183427
17.5 5 24.01529486
22.5 5 15.46329094
27.5 5 42.78433575
32.5 5 64.22757233
37.5 5 15.18314398
42.5 5 36.3223766
47.5 5 54.10384858
52.5 5 7.786853586
57.5 5 0.511818819
62.5 5 21.41551514
67.5 5 58.594356
15 10 18.50860788
20 10 25.97245209
25 10 7.089975638
30 10 43.66447066
35 10 163.0403528

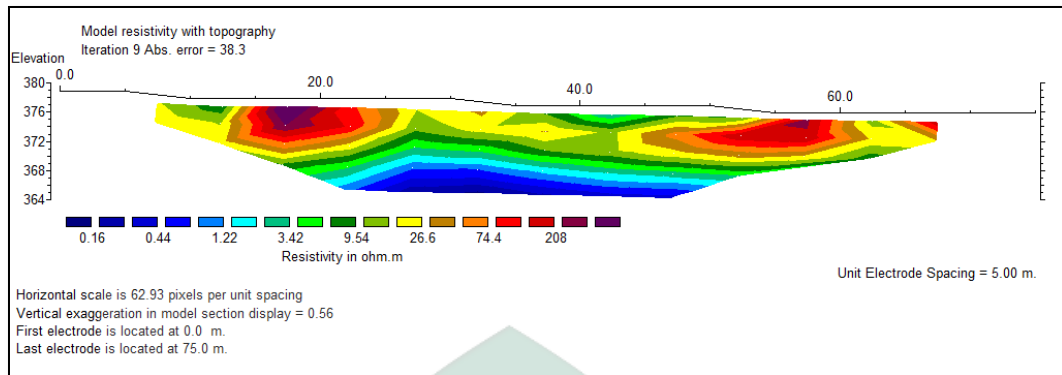
```

HASIL RES2DINV

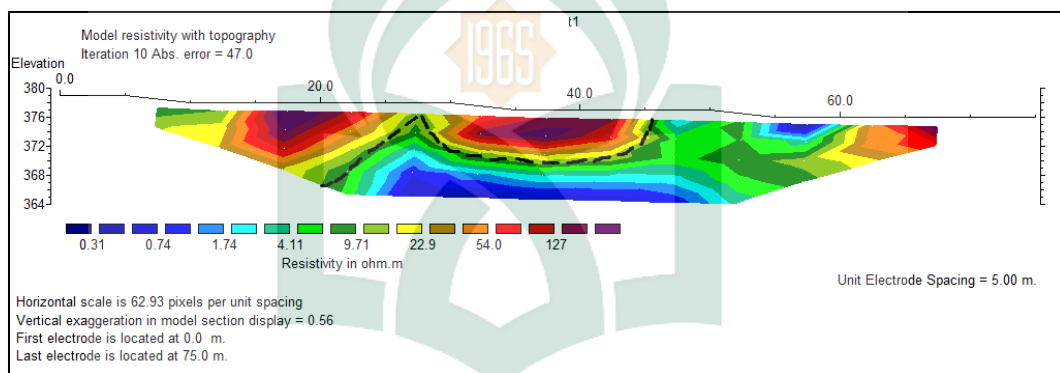
1. Lintasan 1



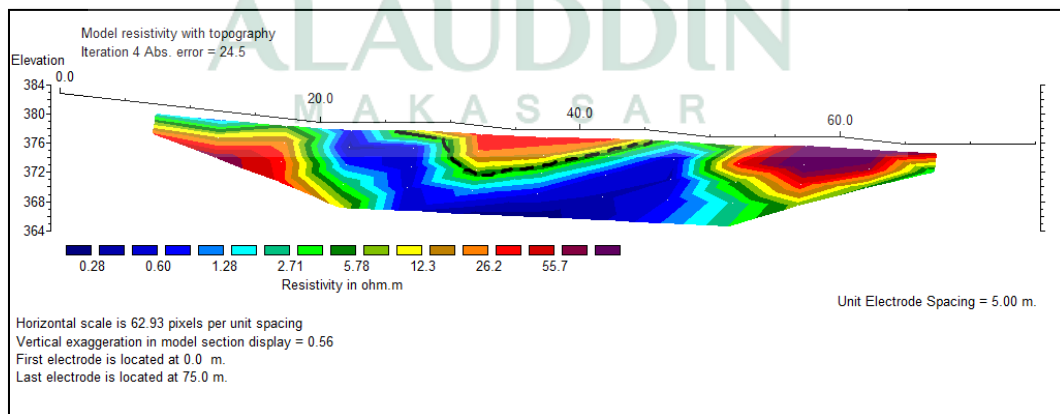
2. Lintasan 2



3. Lintasan 3



4. Lintasan 4



LAMPIRAN 3

Peta Daerah Penelitian

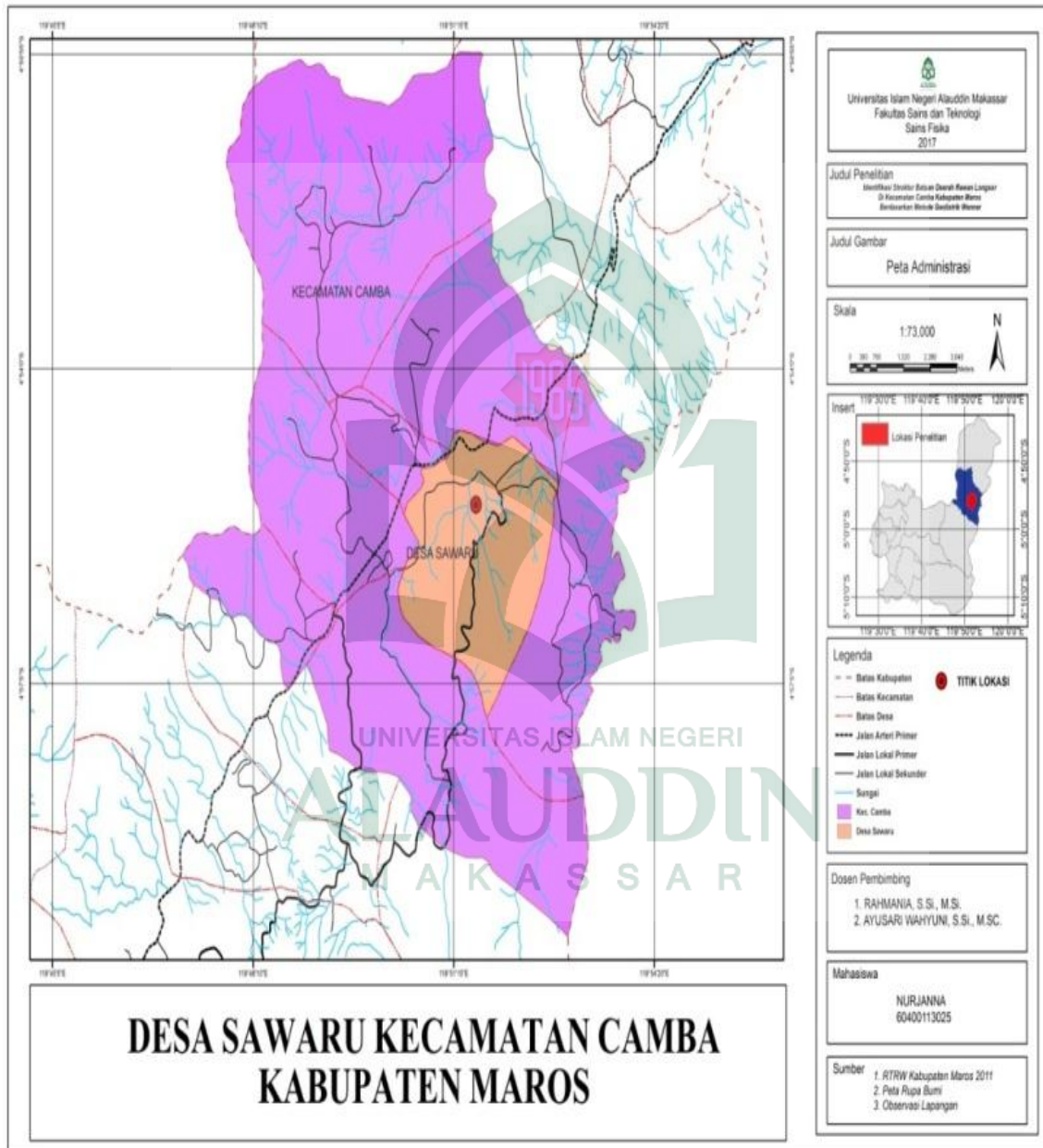
Peta Geologi Daerah Penelitian

Peta Lintasan Penelitian



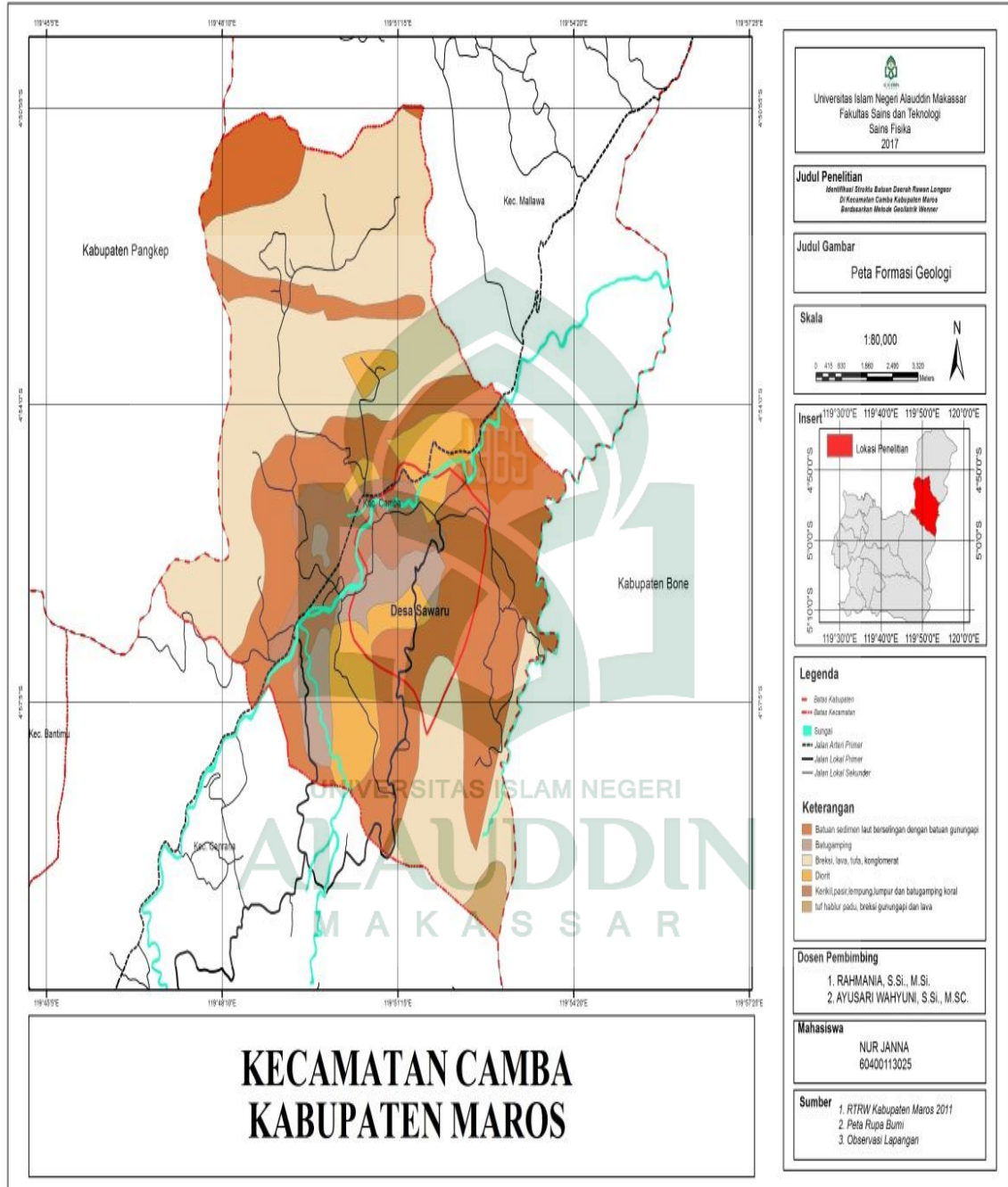
PETA LOKASI KABUPATEN MAROS

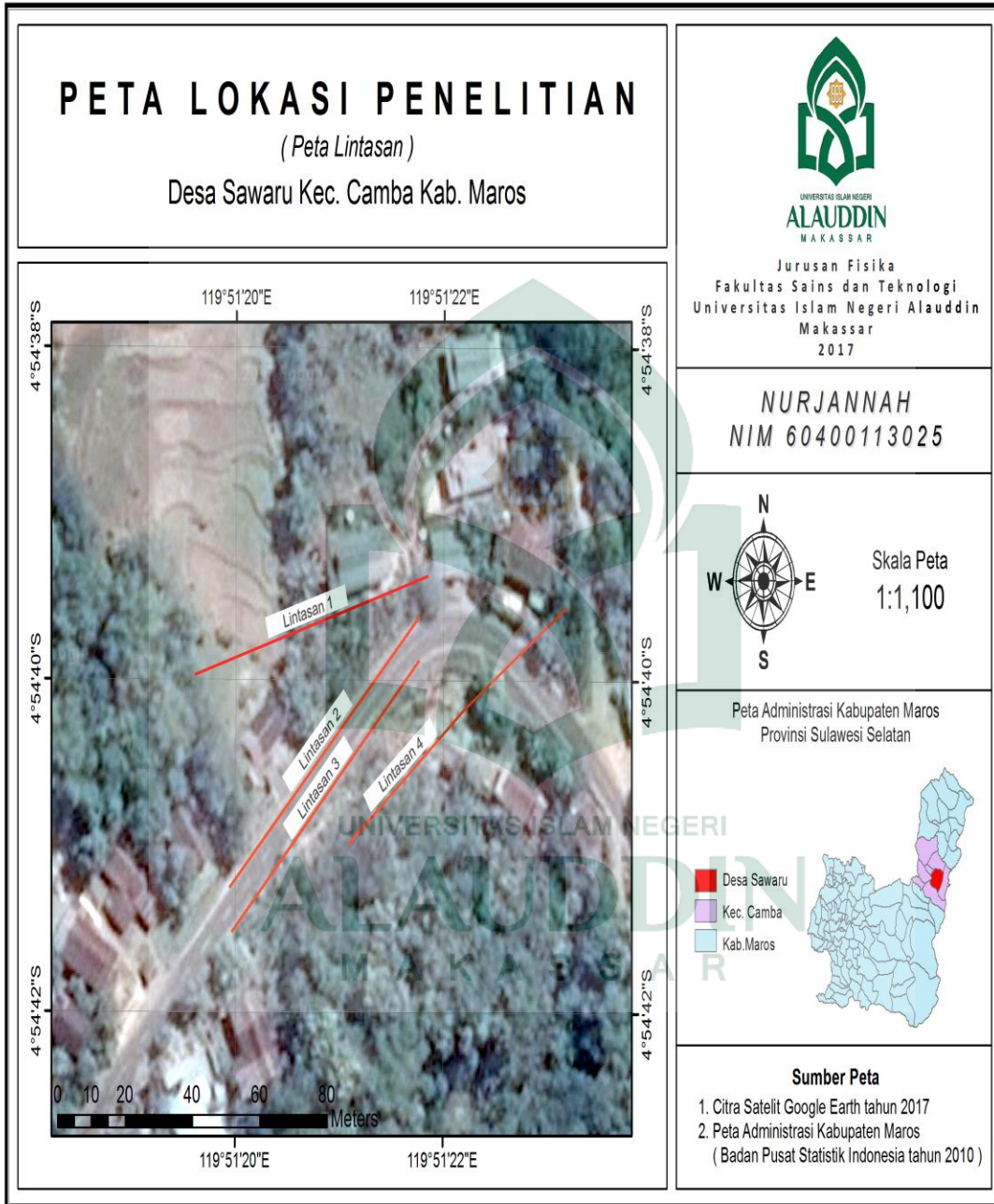
DESA SAWARU, KECAMATAN CAMBA



Sumber : Dokumen Pribadi. Foto peta penelitian, 2017

PETA GEOLOGI KECAMATAN CAMBA





LAMPIRAN 4

Tabel Nilai Resistivitas Batuan (Telfoard, 1990)



Material Resistivitas	Resistivitas (Ωm)
Pirit (<i>Pyrite</i>)	0,01 – 100
Kwarsa (<i>Quartz</i>)	500 – 800.000
Kalsit (<i>Calcite</i>)	$1 \times 10^{12} - 1 \times 10^{13}$
Garam Batu (<i>Rock Salt</i>)	$30 - 1 \times 10^{13}$
Granit (<i>Granite</i>)	200 – 100.000
Andesit (<i>Andesite</i>)	$1,7 \times 10^2 - 45 \times 10^4$
Basal (<i>Basalt</i>)	200 – 100.000
Gamping (<i>Limestones</i>)	500 – 10.000
Batu Pasir (<i>Sandstones</i>)	200 – 8.000
Batu Tulis (<i>Shales</i>)	20 – 2.000
Pasir (<i>Sand</i>)	1 – 1.000
Lempung (<i>Clay</i>)	1 – 100
Air Tanah (<i>Ground Water</i>)	0.5 – 300
Air Asin (<i>Sea Water</i>)	0.2
Magnetit (<i>Magnetite</i>)	0.01 – 1.000
Kerikil Kering (<i>Dry Gravel</i>)	600 – 10.000
Aluvium (<i>Alluvium</i>)	10 – 800
Kerikil (<i>Gravel</i>)	100 – 600
Breksi	75 – 200
Batu Lumpur (<i>Marls</i>)	3 – 70

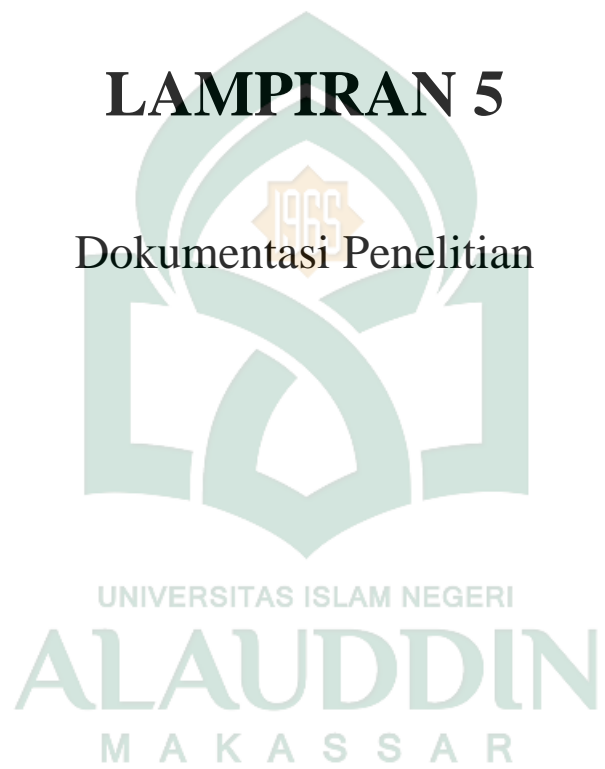
Konglomerat	$2 \times 10^3 - 10^4$
Lanau (<i>Silt</i>)	10-200
Tufa Vulkanik	20-100
Lava	$100 - 500 \times 10^4$

Sumber: Telford, 1990.



LAMPIRAN 5

Dokumentasi Penelitian



1. Alat dan Bahan Penelitian



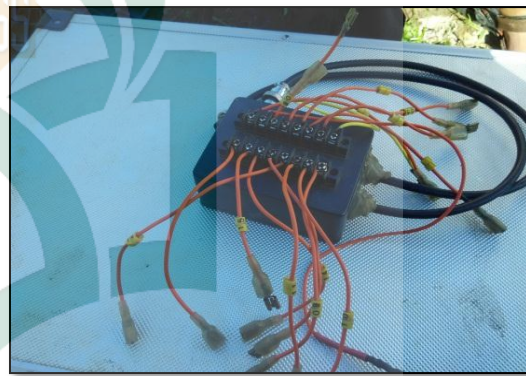
Laptop



Connector ke Resistivimeter



Resistiviti meter multichannel



Connector elektroda ke Resistivitymeter



AKI 12 Volt



Rol Meter



Elektroda



Palu



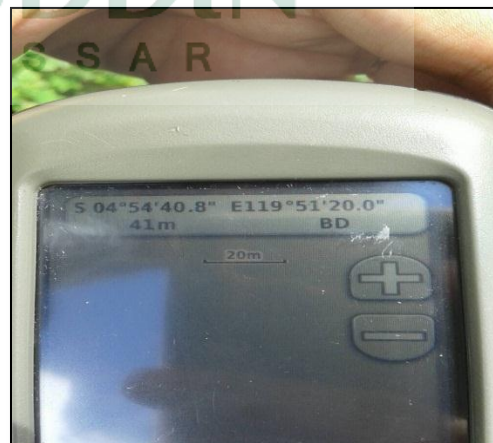
Connector kabel multichannel ke elektroda



Kabel



Connector ke aki



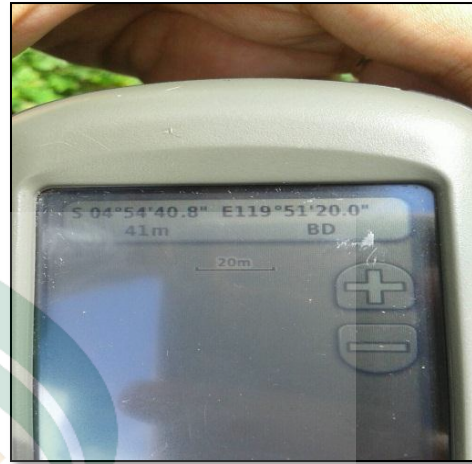
GPS

2. Survey Lokasi Penelitian

Penentuan Lokasi Penelitian



Penentuan titik koordinat



3. Pengambilan Data



Pengukuran panjang lintasan



Menancapkan elektroda



Membentangkan kabel



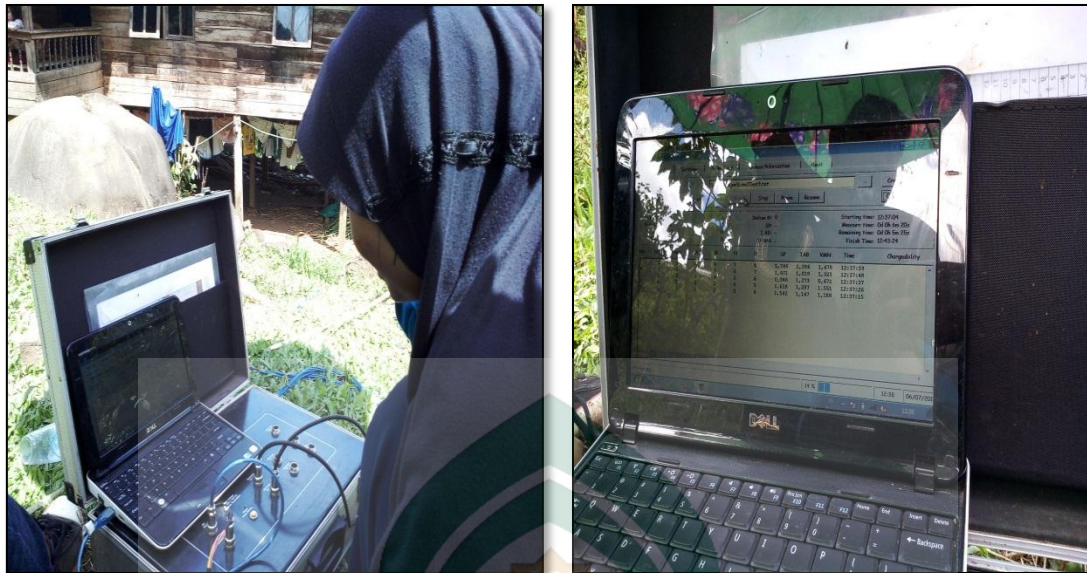
Memasang connector ke elektroda



Menghubungkan kabel elektroda



Menginjeksikan arus dan tegangan



Menunggu Datum

Menyimpan Data

LAMPIRAN 6

Persuratan Izin Penelitian



SURAT KETERANGAN

Berdasarkan permohonan ijin untuk melaksanakan penelitian dalam rangka penyusunan skripsi sebagai salah satu syarat penyelesaian studi akhir Sarjana/S1

Bahwa benar Mahasiswa yang tersebut dibawah ini telah melaksanakan penelitian di Desa Sawaru, Kecamatan Maros, Kabupaten Maros pada Tanggal 5 dan 12 Juli 2016.

1. Nama : Nur Janna
Nim/Semester : 60400113025/VIII
2. Nama : Nirmayanti
Nim/Semester : 60400113049/VIII
3. Nama : Reskiwijaya
Nim/Semester : 60400113019 /VIII

Demikian surat keterangan ini kami buat dan dapat digunakan sebagaimana mestinya.

Sawaru, 15 Agustus 2017

Sekretaris Desa



UNIVERSITAS ISLAM NEGERI
ALAUDDIN
M A K A S S A R

LAMPIRAN 7

Surat Keputusan Pembimbing

Surat Keputusan Ujian Draft Skripsi

Surat Keputusan Ujian Hasil

Surat Keputusan Ujian Komprehensif

Surat Keputusan Ujian Munaqasah





KEPUTUSAN DEKAN FAKULTAS SAINS & TEKNOLOGI
UIN ALAUDDIN MAKASSAR
NOMOR : 099 TAHUN 2017

TENTANG

PEMBIMBING/PEMBANTU PEMBIMBING DALAM PENELITIAN DAN PENYUSUNAN SKRIPSI MAHASISWA
JURUSAN FISIKA FAKULTAS SAINS & TEKNOLOGI UIN ALAUDDIN MAKASSAR

DEKAN FAKULTAS SAINS & TEKNOLOGI UIN ALAUDDIN MAKASSAR

- Membaca : Surat Permohonan Jurusan Fisika Fakultas Sains & Teknologi UIN Alauddin Makassar, Nama **NUR JANNAH** NIM : 60400113025 tertanggal 19 Januari 2017 untuk mendapatkan Pembimbing Skripsi dengan Judul : "Identifikasi Struktur Bantuan Daerah Rawan Longsor Kecamatan Camba Kabupaten Maros Berdasarkan Metode Geolistrik Wenner - Schlumberger"
- Menimbang : a. Bahwa untuk membantu penelitian dan penyusunan skripsi mahasiswa tersebut, dipandang perlu untuk menetapkan pembimbing/pembantu pembimbing penyusunan skripsi mahasiswa tersebut diatas.
b. Bahwa mereka yang ditetapkan dalam surat keputusan ini dipandang cakap dan memenuhi syarat untuk diserahi tugas sebagai pembimbing/pembantu pembimbing penyusunan skripsi mahasiswa tersebut diatas.
- Mengingat : 1. Undang-undang No. 20 Tahun 2003 tentang Sistem Pendidikan Nasional;
2. Undang-undang No. 12 Tahun 2012 tentang Pendidikan Tinggi;
3. Peraturan Presiden Nomor 53 Tahun 2010 Tentang Perubahan Kedua Atas Keputusan Presiden Nomor 42 Tahun 2002 Tentang Pedoman Pelaksanaan Anggaran Pendapatan dan Belanja Negara;
4. Keputusan Menteri Agama RI. No. 492 Tahun 2003 tentang Pemberian Kuasa Pendelegasian Wewenang Pengangkatan, Pemindahan dan Pemberhentian PNS ditingkat Depag;
5. Keputusan Menteri Keuangan Nomor: 330/KMK/05/ Tahun 2008 Tentang Penetapan UIN Alauddin Makassar pada Depag Sebagai Institusi Pemerintah yang Menerapkan Pengelolaan Badan Layanan Umum (BLU);
6. Keputusan Menteri Agama RI. Nomor 25 Tahun 2013 tentang Organisasi dan Tata Kerja UIN Alauddin Makassar;
7. Surat Menteri Agama RI. Nomor 20 Tahun 2014 Tentang Statuta UIN Alauddin Makassar;
8. Surat Keputusan Rektor UIN Alauddin Nomor 200 Tahun 2016 Tentang Pedoman Edukasi UIN Alauddin.

MEMUTUSKAN

- Pertama : Mengangkat/ Menunjuk saudara :
1. **Rahmanlah, S.Si., M.Si.** sebagai Pembimbing Pertama,
2. **Ayusari Wahyuni, S.Si., M.Sc.** sebagai Pembimbing Kedua.
- Kedua : Tugas Pembimbing/ Pembantu Pembimbing dalam penelitian dan penyusunan skripsi mahasiswa adalah memeriksa draft skripsi dan naskah skripsi, memberi bimbingan, petunjuk-petunjuk, perbaikan mengenai materi, metode, bahasa dan kemampuan menguasai masalah,
- Ketiga : Segala biaya yang timbul akibat dikeluarkannya surat keputusan ini dibebankan kepada Anggaran Belanja Fakultas Sains & Teknologi UIN Alauddin Makassar,
- Keempat : Surat Keputusan ini mulai berlaku sejak tanggal ditetapkan dan apabila dikemudian hari terdapat kekeliruan didalamnya akan diperbaiki sebagaimana mestinya,
- Kelima : Surat Keputusan ini disampaikan kepada masing-masing yang bersangkutan untuk diketahui dan dilaksanakan dengan penuh tanggungjawab.

Ditetapkan di : Makassar
Pada tanggal : 19 Januari 2017



Prof. Dr. H. Arifuddin, M.Ag.
NIP. 19691205 199303 1 001



KEPUTUSAN DEKAN FAKULTAS SAINS & TEKNOLOGI
UIN ALAUDDIN MAKASSAR
NOMOR : 340 TAHUN 2017

TENTANG

PANITIA SEMINAR DRAFT PENELITIAN DAN PENYUSUNAN SKRIPSI MAHASISWA
JURUSAN FISIKA FAKULTAS SAINS & TEKNOLOGI UIN ALAUDDIN MAKASSAR
DEKAN FAKULTAS SAINS & TEKNOLOGI UIN ALAUDDIN MAKASSAR

- Membaca : Surat Permohonan Ketua Jurusan Fakultas Sains & Teknologi UIN Alauddin Makassar, **Nurjanna NIM 60400113025 tertanggal 16 Februari 2017**, untuk melaksanakan seminar draft .
- Menimbang : ~~Bahwa untuk pelaksanaan dan kelancaran seminar draft/hasil, perlu dibentuk panitia seminar draft dan penyusunan skripsi~~
- Mengingat : 1. Undang-undang No. 20 Tahun 2003 tentang Sistem Pendidikan Nasional;
2. Undang-undang Nomor 17 Tahun 2003 tentang Keuangan Negara;
3. Undang-undang Nomor 12 Tahun 2012 tentang Pendidikan Tinggi;
4. Peraturan Menteri Agama RI No. 1 Tahun 2012 tentang Perubahan Ketiga atas Peraturan Menteri Agama No. 2 Tahun 2006 tentang Mekanisme Pelaksanaan Pembayaran atas Beban Anggaran Pendapatan dan Belanja Negara di Lingkungan Kementerian Agama;
5. Peraturan Menteri Agama RI Nomor 25 Tahun 2013 jo Peraturan Menteri Agama Nomor 85 Tahun 2013 tentang Organisasi dan Tata Kerja UIN Alauddin Makassar;
6. Peraturan Menteri Agama RI. Nomor 20 Tahun 2014 jo Peraturan Menteri Agama Nomor 8 Tahun 2016 tentang Statuta UIN Alauddin Makassar;
7. Keputusan Menteri Agama Nomor 289 Tahun 1993 jo Nomor 202 B Tahun 1998 tentang Pemberian Kuasa dan Pendelegasian Wewenang Menandatangani Surat Keputusan;
8. Keputusan Menteri Keuangan No.330/05/2008 tentang penetapan UIN Alauddin Makassar pada Dep.Agama sebagai Instansi Pemerintah yang Menerapkan Pengelolaan Badan Layanan Umum (BLU);

MEMUTUSKAN

- Menetapkan
Pertama : Membentuk Panitia Seminar draft, Jurusan Fisika Fakultas Sains dan Teknologi UIN Alauddin Makassar dengan komposisi :

Ketua : Sahara, S.Si., M.Sc., Ph.D
Sekretaris : Ihsan, S.Pd., M.Si
Anggota Penguji : Rahmanlah, S.Si., M.Si
: Ayusari Wahyuni, S.Si, M.Sc
: Muh. Sald. L, S.Si., M.Pd
: Dr. M. Thahr Maloko., M.Th.I
Pelaksana : Nurman Najlb, S.Ag., M.M.

- Kedua : 1. Panitia bertugas melaksanakan seminar draft/hasil, memberi bimbingan, petunjuk-petunjuk, perbaikan mengenai materi, metode, bahasa dan kemampuan menguasai masalah penyusunan skripsi
2. ~~Biaya pelaksanaan seminar draft penelitian dibebankan kepada~~ anggaran Fakultas Sains dan Teknologi UIN Alauddin Makassar
3. Apabila dikemudian hari ternyata terdapat kekeliruan dalam surat keputusan ini akan diubah dan diperbaiki sebagaimana mestinya

Surat Keputusan ini disampaikan kepada yang bersangkutan untuk diketahui dan dilaksanakan dengan penuh tanggungjawab.

Ditetapkan di : Makassar
pada tanggal : 16 Februari 2017



Dr. H. Arluffudin, M.Ag.



KEPUTUSAN DEKAN FAKULTAS SAINS & TEKNOLOGI
UIN ALAUDDIN MAKASSAR
NOMOR : 1414 TAHUN 2017

TENTANG

PANITIA UJIAN KUALIFIKASI HASIL PENELITIAN DALAM PENYUSUNAN SKRIPSI MAHASISWA
SAINS & TEKNOLOGI UIN ALAUDDIN MAKASSAR

DEKAN FAKULTAS SAINS & TEKNOLOGI UIN ALAUDDIN MAKASSAR

- Membaca : Surat Permohonan NUR JANNA, NIM 60400113025, tertanggal 08 Agustus 2017, untuk melaksanakan seminar Hasil.
- Menimbang : Bahwa untuk pelaksanaan dan kelancaran seminar draft/hasil, perlu dibentuk panitia seminar Hasil dan penyusunan skripsi
- Mengingat : 1. Undang-Undang No. 20 Tahun 2003 tentang Sistem Pendidikan Nasional;
2. Undang-Undang Nomor 17 Tahun 2003 tentang Keuangan Negara;
3. Undang-Undang Nomor 12 Tahun 2012 tentang Pendidikan Tinggi;
4. Peraturan Menteri Agama RI No.1 Tahun 2012 tentang Perubahan ketiga atas Peraturan Menteri Agama Nomor 2 Tahun 2006 tentang Mekanisme Pelaksanaan Pembayaran atas Beban Anggaran Pendapatan dan Belanja Negara di Lingkungan Kementerian Agama;
5. Peraturan Menteri Agama RI Nomor 25 Tahun 2013 jo Peraturan Menteri Agama Nomor 85 Tahun 2013 tentang Organisasi dan Tata Kerja UIN Alauddin Makassar;
6. Peraturan Menteri Agama RI. Nomor 20 Tahun 2014 jo Peraturan Menteri Agama Nomor 8 Tahun 2016 tentang Statuta UIN Alauddin Makassar;
7. Keputusan Menteri Agama Nomor 289 Tahun 1993 jo Nomor 202 B Tahun 1998 tentang Pemberian Kuasa dan Pendelegasian Wewenang Menandatangani Surat Keputusan;
8. Keputusan Menteri Keuangan No.330/05/2008 tentang penetapan UIN Alauddin Makassar pada Dep.Agama sebagai Instansi Pemerintah yang Menerapkan Pengelolaan Badan Layanan Umum (BLU);
9. Keputusan Rektor UIN Alauddin No.200 tahun 2016 tentang Pedoman Edukasi UIN Alauddin Makassar;

MEMUTUSKAN

Menetapkan
Pertama

Membentuk Dewan Penguji Seminar Hasil, Jurusan Fisika Fakultas Sains dan Teknologi UIN Alauddin Makassar dengan komposisi :

Ketua : Sahara, S.Si., M.Si., Ph.D.
Sekertaris : Ihsan, S.Pd., M.Si.
Anggota Penguji : Rahmanlah, S.Si., M.Si.
: Ayusari Wahyuni, S.Si., M.Sc.
: Muh.Said I, S.Si., M.Pd.
: Dr.Muh.Thahir Maloko, M.Hi.
Pelaksana : Risnawati Salam, S.Sos.

Kedua

1. Panitia berugas melaksanakan seminar draft/hasil, memberi bimbingan, petunjuk-petunjuk, perbaikan mengenai materi, metode, bahasa dan kemampuan menguasai masalah penyusunan skripsi
2. Biaya pelaksanaan seminar draft penelitian dibebankan kepada anggaran Fakultas Sains dan Teknologi UIN Alauddin Makassar
3. Apabila dikemudian hari ternyata terdapat kekeliruan dalam surat keputusan ini akan diubah dan diperbaiki sebagaimana mestinya

Surat Keputusan ini disampaikan kepada yang bersangkutan untuk diketahui dan dilaksanakan dengan penuh tanggungjawab.

Ditetapkan di : Makassar
Pada tanggal : 08 Agustus 2017



Prof. Dr. H. Arifuddin, M.Ag.
NIP. 19691205 199303 1 001



UIN
ALAUDDIN
MAKASSAR

KEPUTUSAN DEKAN FAKULTAS SAINS & TEKNOLOGI
UIN ALAUDDIN MAKASSAR
NOMOR : 1567 TAHUN 2017
TENTANG

PANITIA UJIAN KOMPREHENSIF
JURUSAN FISIKA FAKULTAS SAINS DAN TEKNOLOGI

DEKAN FAKULTAS SAINS & TEKNOLOGI UIN ALAUDDIN MAKASSAR

Membaca : Surat permohonan Ujian Komprehensif : NUR JANNA, NIM: 60400113025
Menimbang : Bahwa untuk pelaksanaan dan kelancaran ujian komprehensif perlu dibentuk panitia ujian

Mengingat : 1. Undang-Undang No. 20 Tahun 2003 tentang Sistem Pendidikan Nasional;
2. Undang-Undang Nomor 17 Tahun 2003 tentang Keuangan Negara;
3. Undang-Undang Nomor 12 Tahun 2012 tentang Pendidikan Tinggi;
4. Peraturan Menteri Agama RI No.1 Tahun 2012 tentang Perubahan ketiga atas Peraturan Menteri Agama Nomor 2 Tahun 2006 tentang Mekanisme Pelaksanaan Pembayaran atas Beban Anggaran Pendapatan dan Belanja Negara di Lingkungan Kementerian Agama;
5. Peraturan Menteri Agama RI Nomor 25 Tahun 2013 Jo Peraturan Menteri Agama Nomor 85 Tahun 2013 tentang Organisasi dan Tata Kerja UIN Alauddin Makassar
6. Peraturan Menteri Agama RI. Nomor 20 Tahun 2014 Jo Peraturan Menteri Agama Nomor 8 Tahun 2016 tentang Statuta UIN Alauddin Makassar;
7. Keputusan Menteri Agama Nomor: 289 Tahun 1993 Jo Nomor: 202 B Tahun 1998 tentang Pemberian Kuasa dan Pendelegasian Wewenang Menandatangani Surat Keputusan;
8. Keputusan Menteri Keuangan No.330/05/2008 tentang penetapan UIN Alauddin Makassar pada Dep.Agama sebagai Instansi Pemerintah yang Menerapkan Pengelolaan Badan Layanan Umum (BLU);
9. Keputusan Rektor UIN Alauddin No.200 tahun 2016 tentang Pedoman Edukasi UIN Alauddin Makassar;

MEMUTUSKAN

Menetapkan : 1. Membentuk Panitia Ujian Komprehensif, Jurusan Fisika Fakultas Sains dan Teknologi UIN Alauddin Makassar dengan komposisi:
Ketua : Dr.IIj.Wasillah,S.T., M.T.
Sekertaris : Nurman Najib,S.Ag., M.M.
Anggota Penguji : Dr.Muh.Thahlr Maloko,M.HI.
: Rahmanlah,S.SI., M.SI.
: Ayusarl Wahyuni, S.SI., M.Sc.
Pelaksana : Rlsnawati Salam, S.Sos.
2. Panitia bertugas menyiapkan perlengkapan administrasi dan melaksanakan ujian
3. Biaya pelaksanaan ujian dibebankan kepada anggaran Fakultas Sains dan Teknologi UIN Alauddin Makassar.
4. Tugas Panitia dianggap selesai setelah seluruh rangkaian kegiatan ujian berakhir.
5. Apabila dikemudian hari ternyata terdapat kekeliruan dalam surat keputusan ini akan diubah dan diperbaiki sebagaimana mestinya.

Surat keputusan ini disampaikan kepada yang bersangkutan untuk diketahui dan dilaksanakan dengan penuh rasa tanggung jawab.

Ditetapkan di : Makassar
pada tanggal : 15 Agustus 2107

Dekan
Prof. Dr. H. Arifuddin, M.Ag.
NIP. 19691205 19933 1 001





ALAUDDIN

KEPUTUSAN DEKAN FAKULTAS SAINS & TEKNOLOGI
UIN ALAUDDIN MAKASSAR
NOMOR :1644 TAHUN 2017

TENTANG

PANITIA UJIAN MUNAQASYAH
JURUSAN FISIKA FAKULTAS SAINS & TEKNOLOGI

DEKAN FAKULTAS SAINS & TEKNOLOGI UIN ALAUDDIN MAKASSAR

- Membaca : Surat permohonan : NUR JANNA
NIM : 60400113025
Tanggal : 21 Agustus 2107
Mahasiswa Jurusan : FISIKA
Untuk Ujian Skripsi/ Munaqasyah yang berjudul " Identifikasi Struktur Batuan Daerah Rawan Longsor di Kecamatan Camba Kabupaten Maros Berdasarkan Metode Geolistrik Konfigurasi Wenner"
- Menimbang : 1. Bahwa saudara tersebut diatas telah memenuhi persyaratan Ujian Skripsi/ Munaqasyah
2. Bahwa untuk pelaksanaan dan kelancaran ujian/ Munaqasyah perlu dibentuk panitia ujian.
- Mengingat : 1. Undang-Undang No. 20 Tahun 2003 Tentang Sistem Pendidikan Nasional;
2. Undang-Undang Nomor 17 Tahun 2003 tentang Keuangan Negara;
3. Undang-Undang Nomor 12 Tahun 2012 tentang Pendidikan Tinggi;
4. Peraturan Menteri Agama RI No.1 Tahun 2012 tentang Perubahan ketiga atas Peraturan Menteri Agama Nomor 2 Tahun 2006 tentang Mekanisme Pelaksanaan Pembayaran atas Beban Anggaran Pendapatan dan Belanja Negara di Lingkungan Kementerian Agama;
5. Peraturan Menteri Agama RI Nomor 25 Tahun 2013 jo Peraturan Menteri Agama Nomor 85 Tahun 2013 tentang Organisasi dan Tata Kerja UIN Alauddin Makassar
6. Peraturan Menteri Agama RI. Nomor 20 Tahun 2014 jo Peraturan Menteri Agama Nomor 8 Tahun 2016 tentang Statuta UIN Alauddin Makassar;
7. Keputusan Menteri Agama Nomor 289 Tahun 1993 jo Nomor 202 B Tahun 1998 tentang Pemberian Kuasa dan Pendelegasian Wewenang Menandatangani Surat Keputusan
8. Keputusan Menteri Keuangan No.330/05/2008 tentang penetapan UIN Alauddin Makassar pada Dep.Agama sebagai Instansi Pemerintah yang Menerapkan Pengelolaan Badan Layanan Umum (BLU)
9. Keputusan Rektor UIN Alauddin No.200 tahun 2016 tentang Pedoman Edukasi UIN Alauddin Makassar

MEMUTUSKAN

- Menetapkan : 1. Membentuk Dewan Penguji Skripsi/ Munaqasyah Fakultas Sains dan Teknologi UIN Alauddin Makassar dengan komposisi :

Ketua : Dr.Waslah,S.T., M.T.
Sekertaris : Ihsan, S.Pd.,M.Si.
Anggota Penguji : Rahmanlah, S. Si., M.Si
: Ayusari Wahyuni, S.Si., M.Sc.
: Muh.Said L.S.Si., M.Pd.
: Dr,Muh.Thahlr Maloko, M.HI.
Pelaksana : Rlsnawall Salam,S.Sos.

MAKASSAR

Keputusan ini disampaikan kepada yang bersangkutan untuk diketahui dan dilaksanakan dengan penuh rasa tanggung jawab.

Ditetapkan di Makassar
Pada tanggal, 21 Agustus 2107





PEMERINTAH KABUPATEN MAROS
BADAN KESATUAN BANGSA DAN POLITIK
Jln. Jendral Sudirman Kompleks Kantor Bupati Kab. Maros Kode Pos 90516
e-mail : bkppm@maroskab.go.id Web : kesbangpol.maroskab.go.id

Maros, 03 Juli 2017

Nomor : 070 / 538 / KesbangPol
Lampiran : -
Perihal : **Rekomendasi Penelitian**

Kepada
Yth. Kepala Desa Sawaru Kec. Camba
Kab. Maros
Di -

Maros

Berdasarkan Surat dari Dinas Penanaman Modal dan Pelayanan Terpadu Satu Pintu (DPMPST) Nomor : 8625/S.01P/P2T/06/2017 tanggal 14 Juni 2017 perihal tersebut diatas, Mahasiswa/peneliti dibawah ini :

Nama : **Nur Janna**
Tempat, tanggal lahir : Makale, 15 April 1995
Alamat / Hp : Makale / 085299077571
Jenis Kelamin : Perempuan
No.KTP / SIM : 7318055504950004
Pekerjaan : Mahasiswa (S1)
Program Studi : Fisika
No.Pokok : 60400113025
Bermaksud melakukan izin penelitian /Pengambilan Data di daerah /kantor Saudara dalam rangka Penyusunan *Skripsi* dengan judul :

"IDENTIFIKASI STRUKTUR BATUAN DAERAH RAWAN LONGSOR DI KECAMATAN CAMBA KABUPATEN MAROS"

Yang di Laksanakan : Tgl 05 Juli s/d 05 Agustus 2017
Pengikut : -

Pada prinsipnya kami dapat menyetujui kegiatan tersebut di atas dengan ketentuan sebagai berikut:

1. Sebelum melaksanakan kegiatan tersebut melaporkan diri kepada Bupati Maros Cq.Kepala Badan Kesbangpol Kab.Maros;
2. Penelitian /Pengambilan Data dimaksud tidak menyimpang dari ketentuan yang berlaku dan semata-mata untuk kepentingan ilmiah;
3. Mentaati semua ketentuan yang berlaku dan mengindahkan Adat Istiadat setempat;
4. Menyerahkan 1 (satu) rangkap Draft Proposal Penelitian /Pengambilan Data di maksud kepada Bupati Maros Cq.Kepala Badan Kesbangpol Kab.Maros;
5. Segala biaya yang berhubungan dengan kegiatan tersebut ditanggung oleh bersangkutan;
6. Peneliti wajib memberikan laporan hasil penelitian kepada Badan Kesbangpol selambatnya 6 (enam) bulan setelah penelitian dilaksanakan.

Demikian Rekomendasi Penelitian/Pengambilan Data ini untuk dipergunakan sebagaimana Mestinya

KEPALA
Kadiv Pengem. & Pend. Politik Kesbang
U. SYAFRUDDIN, S.Pt
Pangkat : Pembina
Nip : 19590901 198003 1 012

Tembusan Kepada Yth

1. Bupati Maros (sebagai laporan) ;
2. Kepala Inspektorat Kab.Maros di Maros ;
3. Ka.Badan Penelitian Dan Pengembangan Daerah Kab. Maros di Maros ;
4. Camat Camba Kab. Maros di Maros;
5. Dekan Fak. Sains dan Teknologi UIN Alauddin Makassar di Makassar;
6. Arsip.

LAMPIRAN 8

Jadwal kegiatan Penelitian



